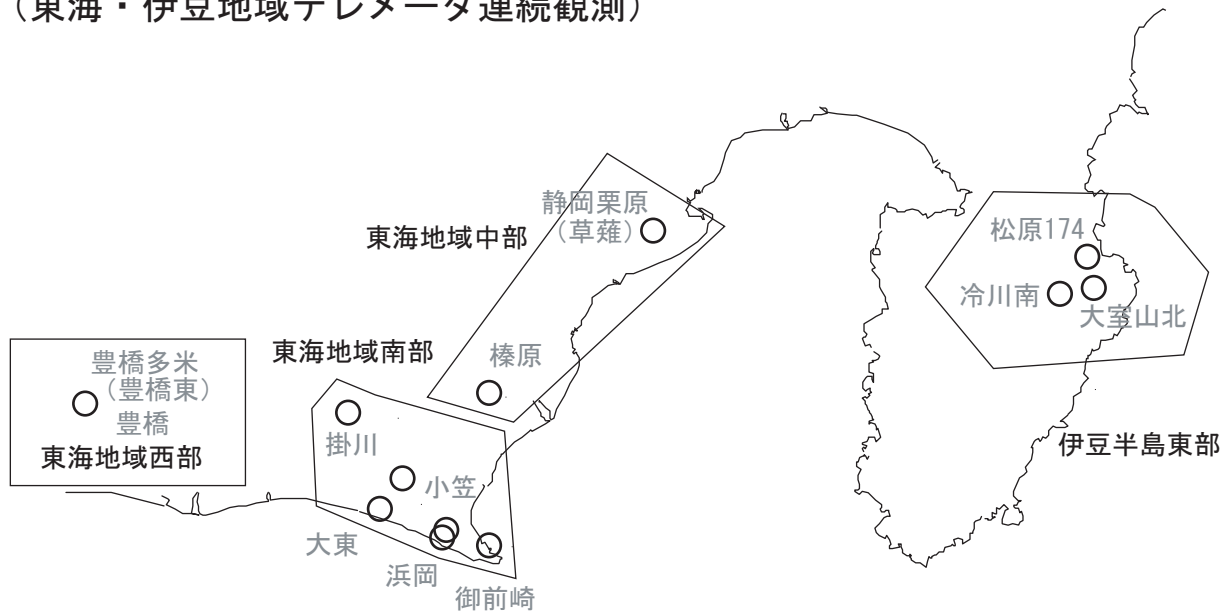


## 東海・伊豆地域等の地下水観測結果

産業技術総合研究所地下水観測井配置図  
(東海・伊豆地域テレメータ連続観測)



# 【資料目次】

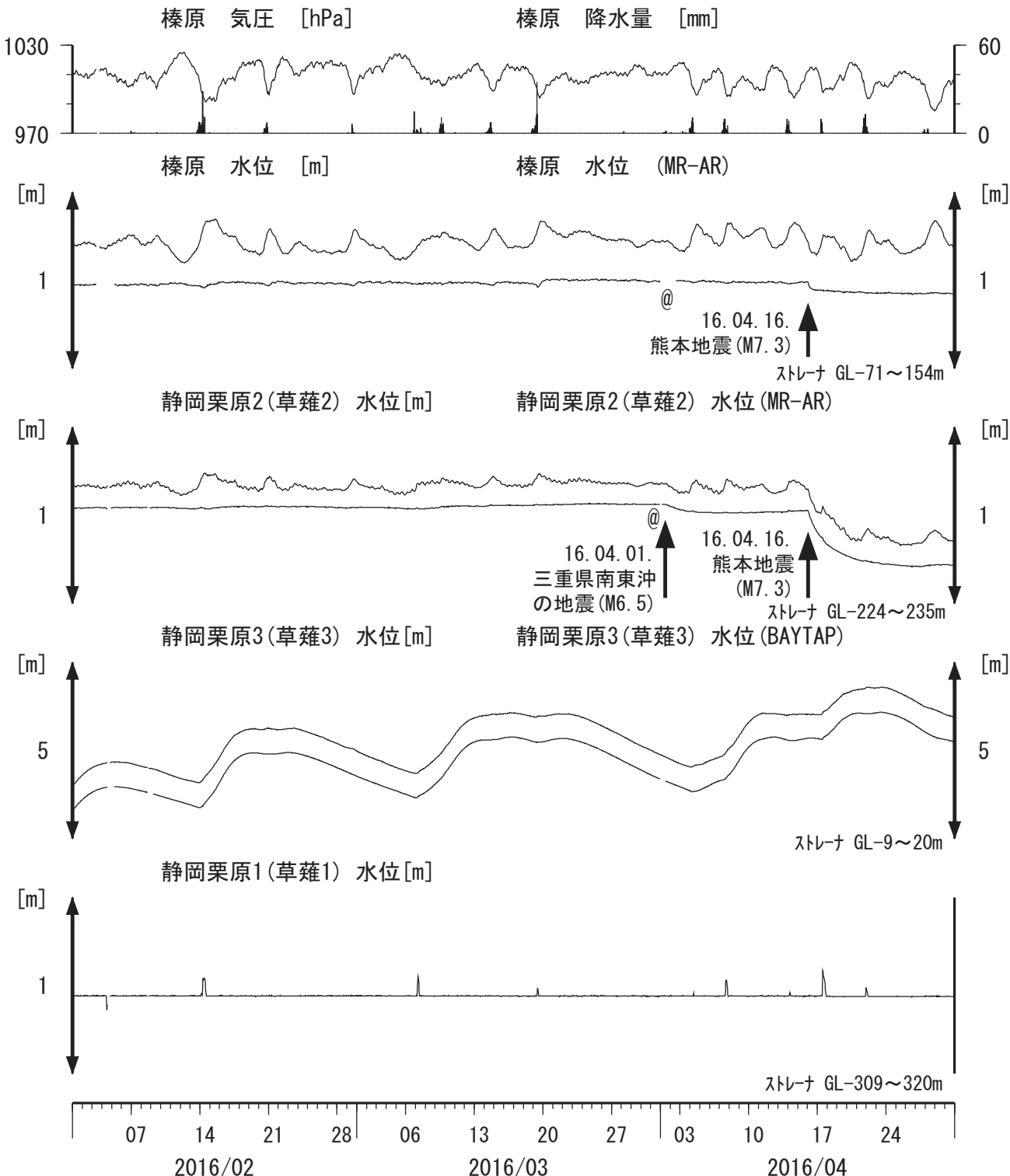
## 表紙

1. 東海地域中部 [榛原, 静岡栗原(草薙)] 地下水; 中期
2. 東海地域中部 [榛原, 静岡栗原(草薙)] 地下水; 長期
3. 東海地域南部 [大東, 小笠, 浜岡, 御前崎] 地下水; 中期
4. 東海地域南部 [大東, 小笠, 浜岡, 御前崎] 地下水; 長期
- 4-b. 東海地域南部 [浜岡] 地下水・沈下; 長期
- 4-c. 東海地域南部 [掛川] 地下水・沈下; 長期
5. 東海地域西部 [豊橋, 豊橋多米(豊橋東)] 地下水・歪・傾斜; 中期
- 5-b. 東海地域西部 [豊橋多米(豊橋東)] 歪等; 中期
6. 東海地域西部 [豊橋・豊橋多米(豊橋東)] 地下水・歪・傾斜; 長期
- 6-b. 東海地域西部 [豊橋多米(豊橋東)] 歪等; 長期
7. 伊豆半島東部 [松原174, 大室山北, 冷川南] 地下水; 中期
8. 伊豆半島東部 [松原174, 大室山北, 冷川南] 地下水; 長期
9. 関東地域 [つくば1] 地下水; 中期
10. 関東地域 [つくば1] 地下水; 長期

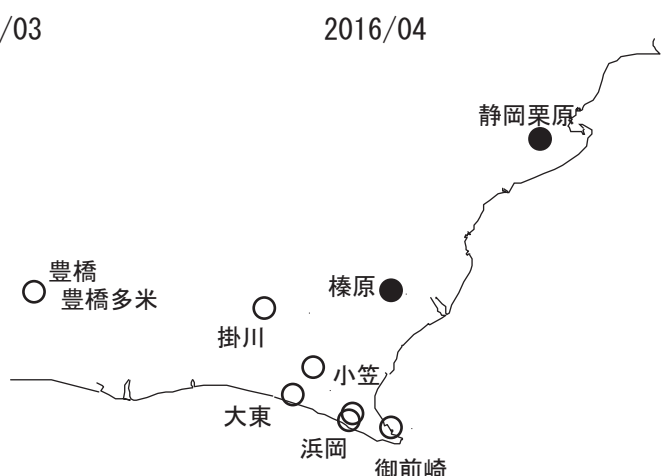
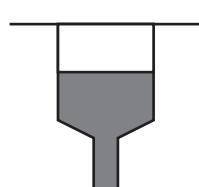
## 別紙

・榛原・浜岡の降雨グラフ

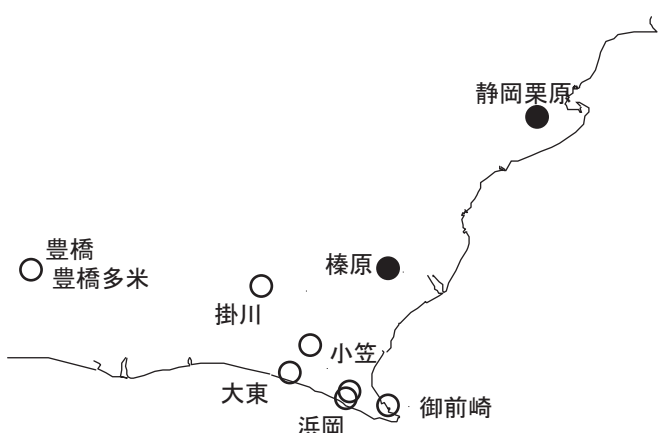
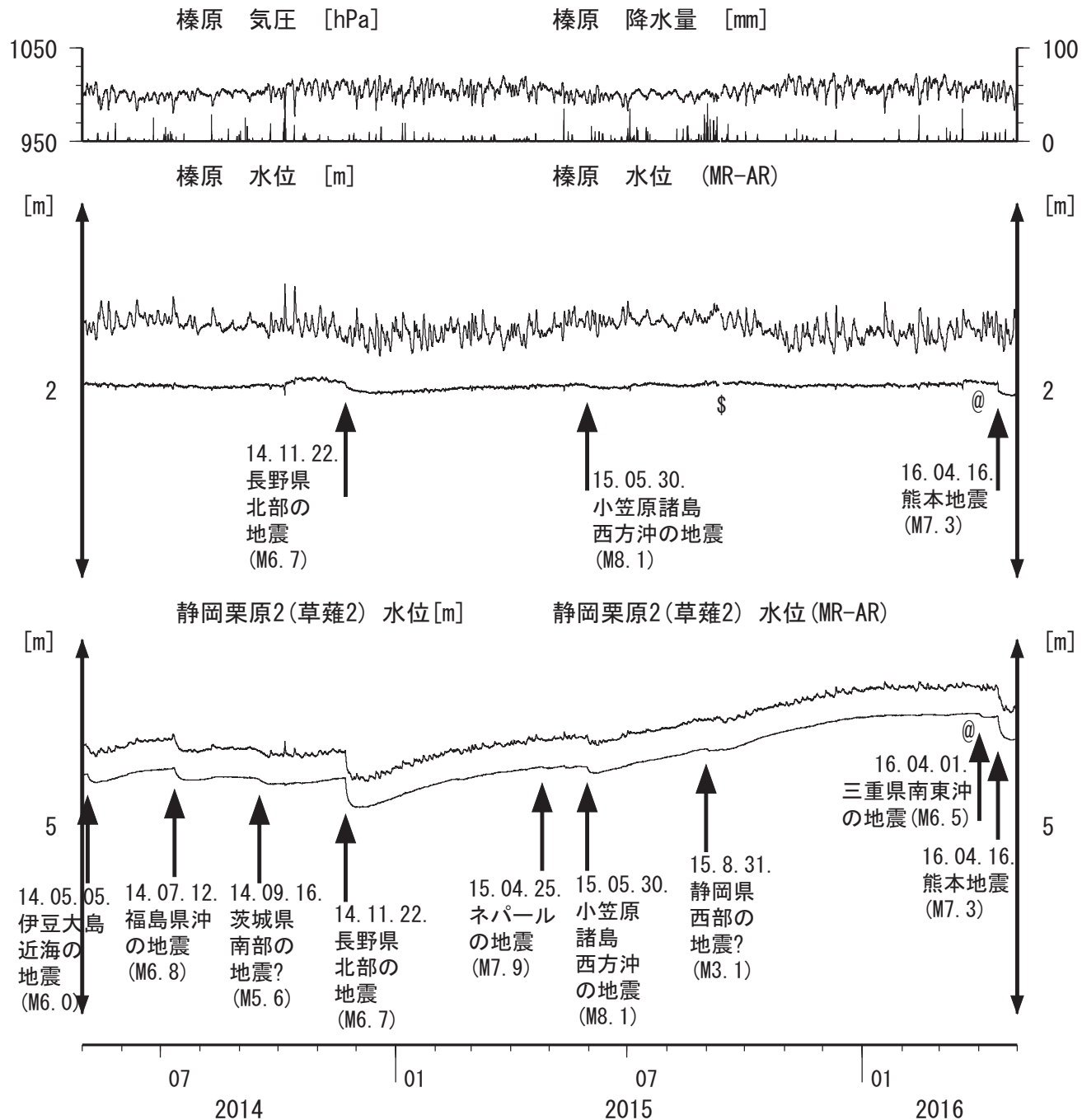
東海地域中部（榛原・草薙）中期（時間値）  
 (2016/02/01 00:00 - 2016/05/01 00:00 (JST))



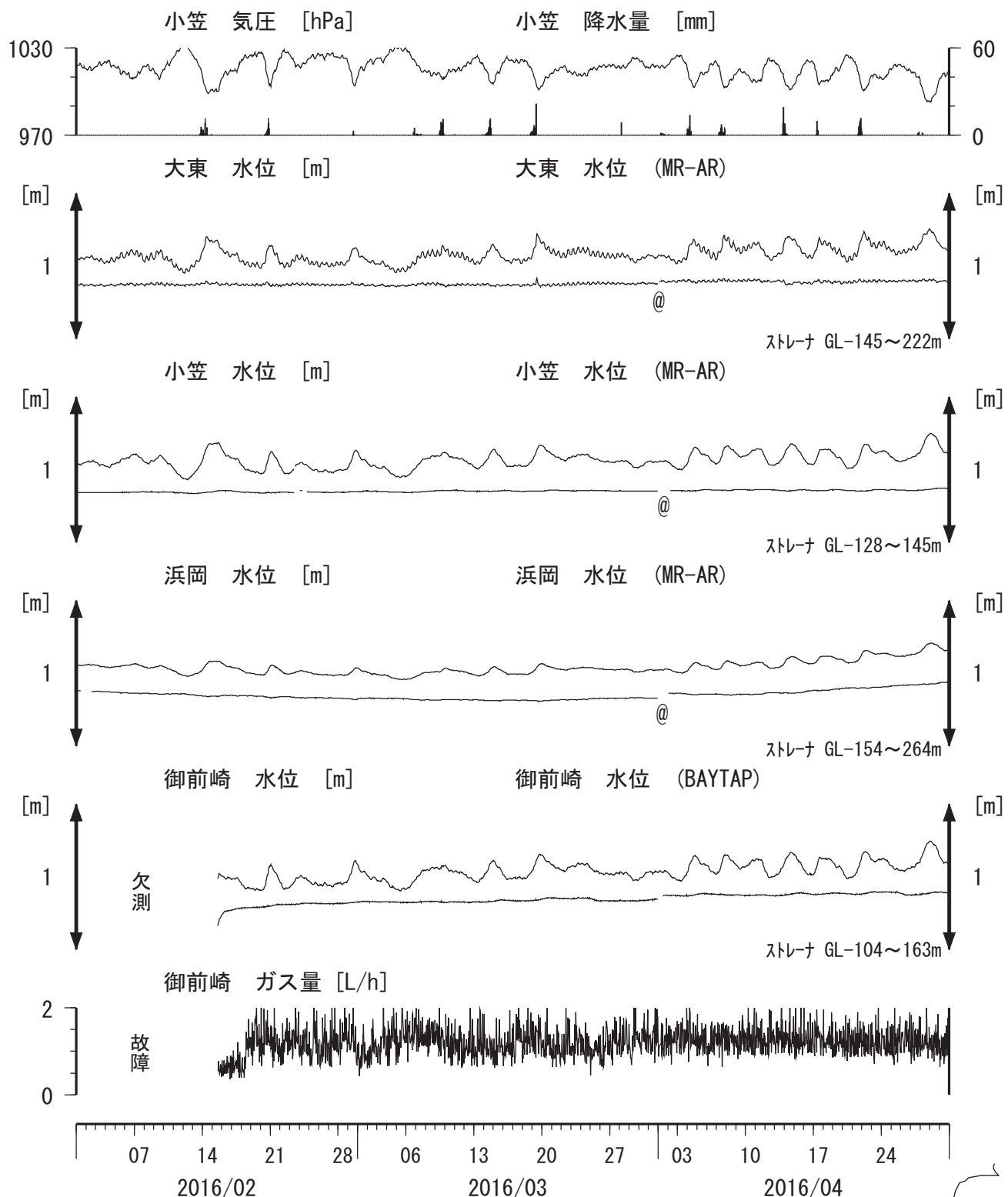
コメント : \*; 雨量補正不十分. \$; 保守.  
 @; 月初めの補正值のギャップは、  
 解析プログラムの見かけ上のものである。  
 2015年4月中旬に静岡栗原1の水位が  
 井戸管の広い部分まで上昇したので  
 それ以降の水位変化が  
 小さくなっている。



東海地域中部（榛原・草薙）長期 (時間値)  
(2014/05/01 00:00 – 2016/05/01 00:00 (JST))

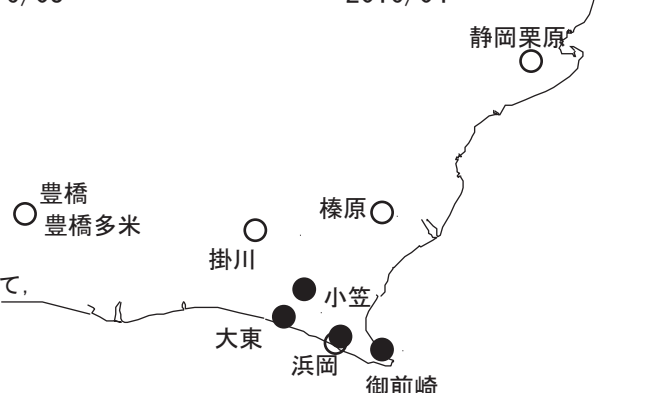


東海地域南部 地下水観測結果 中期 (時間値)  
 (2016/02/01 00:00 – 2016/05/01 00:00 (JST))

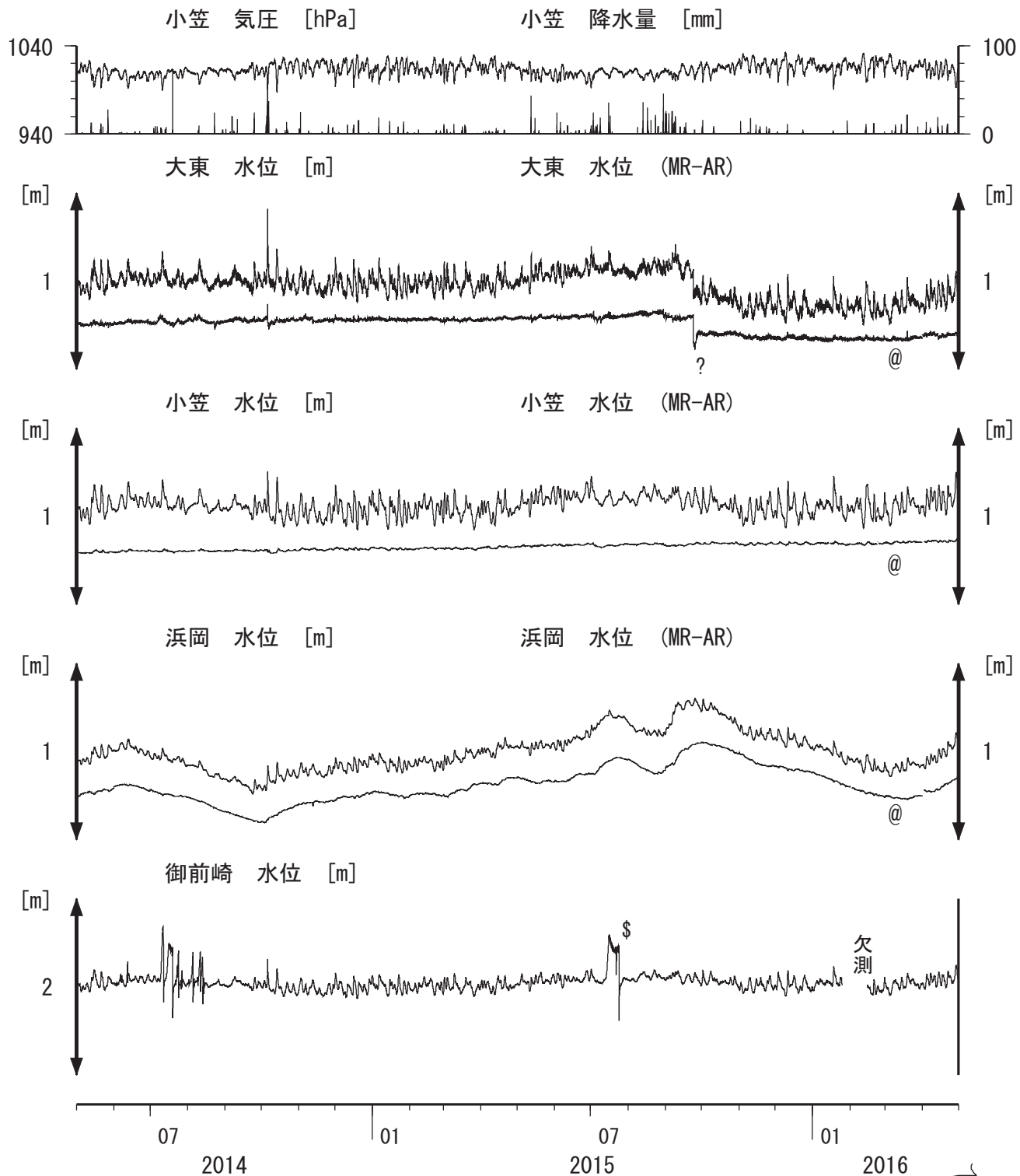


コメント :

\*:雨量補正不十分, \$:保守, ?:不明.  
 @:月初めの補正值のギャップは、  
 解析プログラムの見かけ上のものである。  
 2015年3月13日以降、ガス流量計の分解能は0.006L/h、  
 測定上限は約100L/hになった。  
 2015年7月中旬に御前崎のガス流量計が故障し、ガスが  
 たまって見かけ上水位も上昇しているように見えるが、  
 7月24日に保守を行ったらほぼ元へ戻った。  
 9月4日の保守点検の結果、ガス流量計の感度が変わっていて、  
 ガス量の増加が見かけ上であることを確認し、  
 ガス流量計の感度を調整したが、  
 ガス量が見かけ上増加したままである。  
 観測システムの更新を検討中。



# 東海地域南部 地下水観測結果 長期 (時間値) (2014/05/01 00:00 – 2016/05/01 00:00 (JST))



コメント：

\*; 雨量補正不十分. \$; 保守.

@; 月初めの補正值のギャップは、

解析プログラムの見かけ上のものである。

2011年9月21日に大東・小笠の井戸口の管を延長した。

2014年6月前半からガス量が変化してそれが

豊橋  
○ 豊橋市

2014年12月12日と2015年3月13日

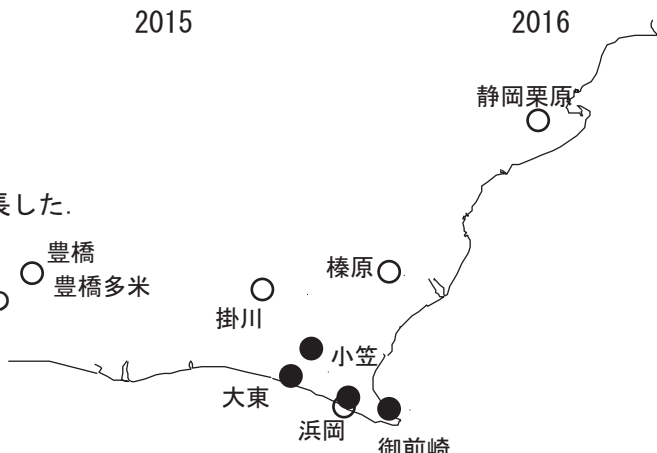
2011年12月12日と2013年6月10日に方入流量計の  
調整を行ったが、2015年7月中旬から

調整を行ったが、2010年7月半旬から再びガス流量計の故障に起因すると想

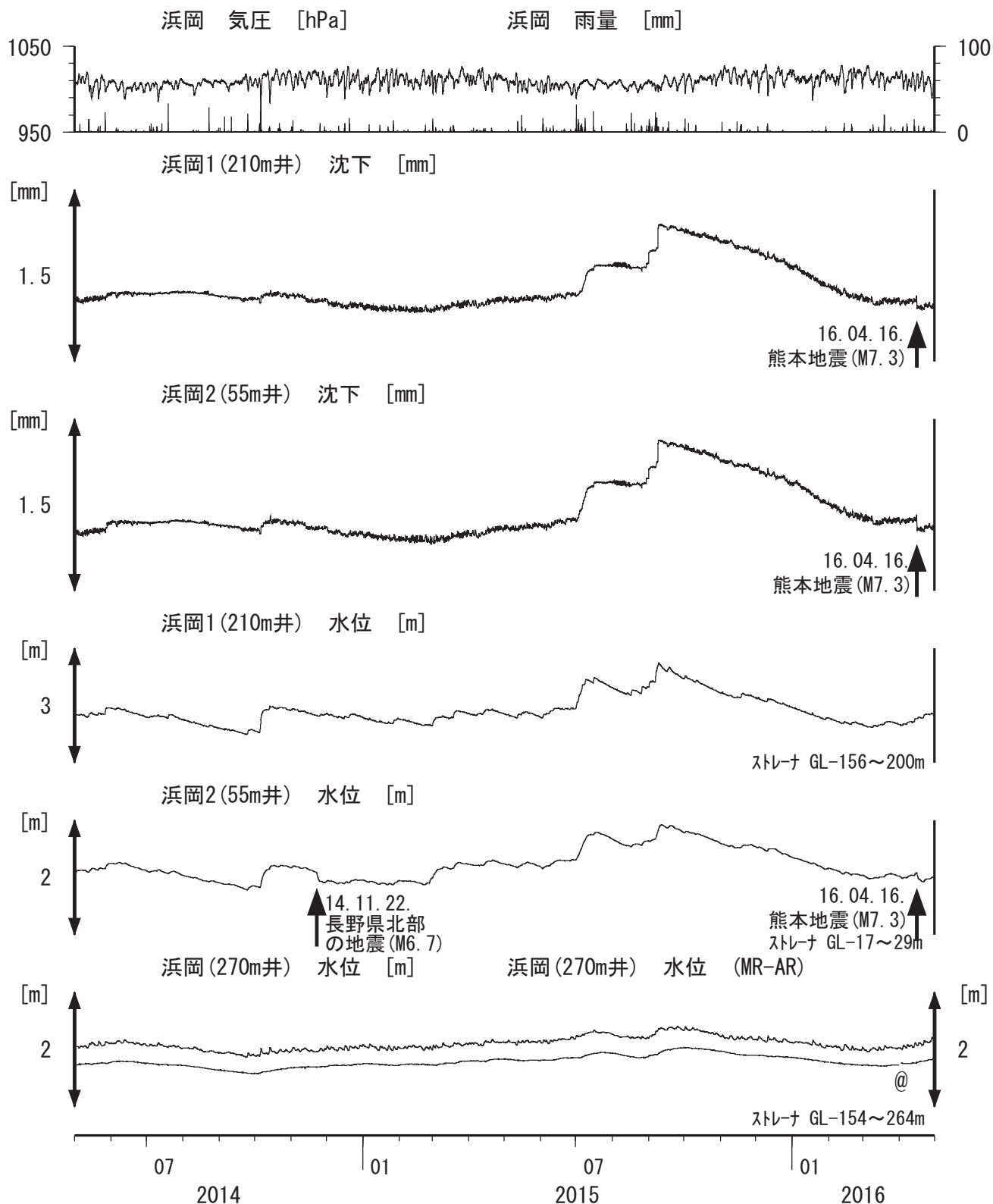
再び分入流量計の故障に起因すると想われる水位増加があったが、2015年7月21日に保守を

水位増加があったが、2019年7月24日に保守を行ったらほぼ元に戻った

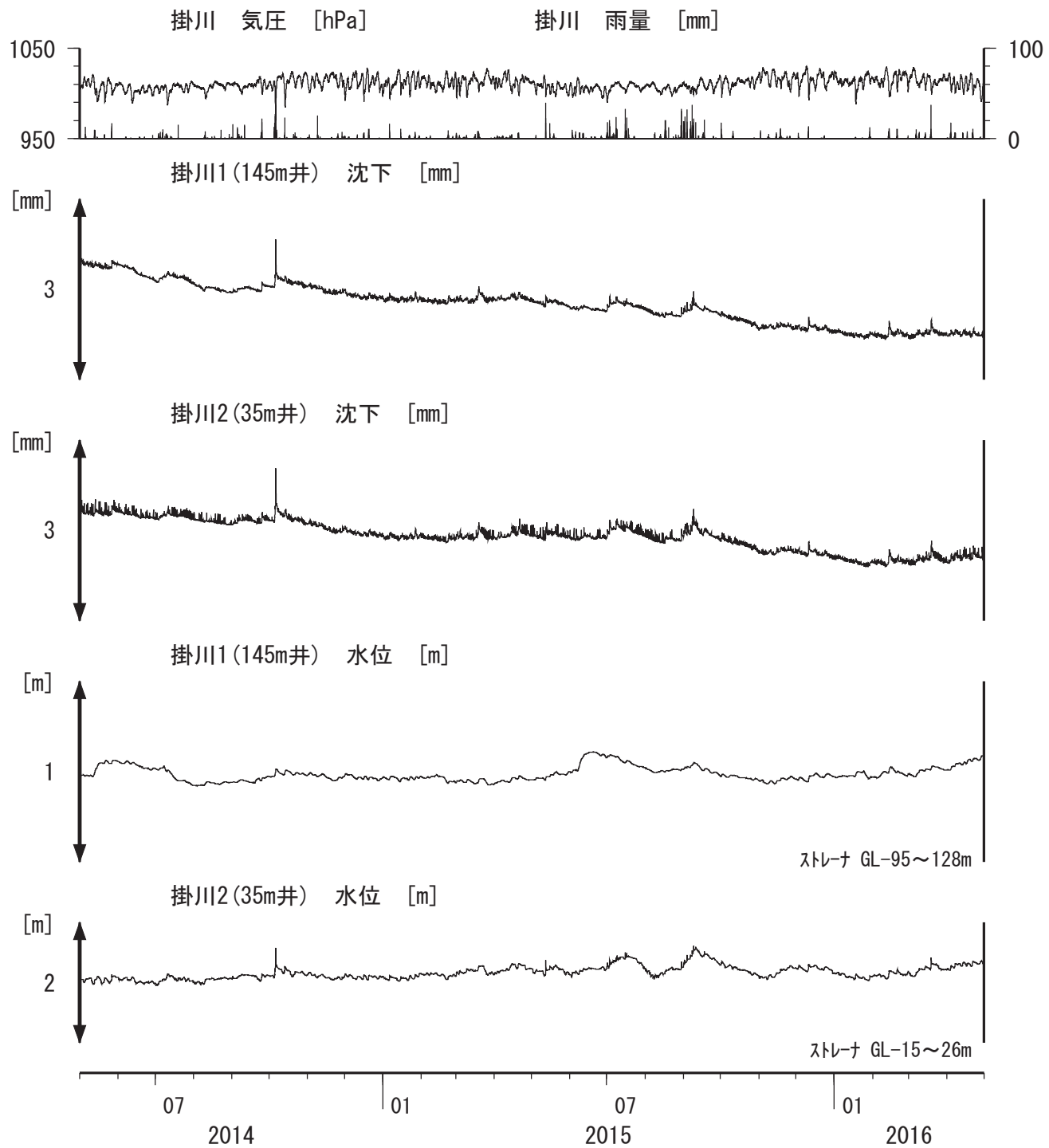
行つたらははるに戻つた。



浜岡沈下・水位 (時間値)  
(2014/05/01 00:00 – 2016/05/01 00:00 (JST))



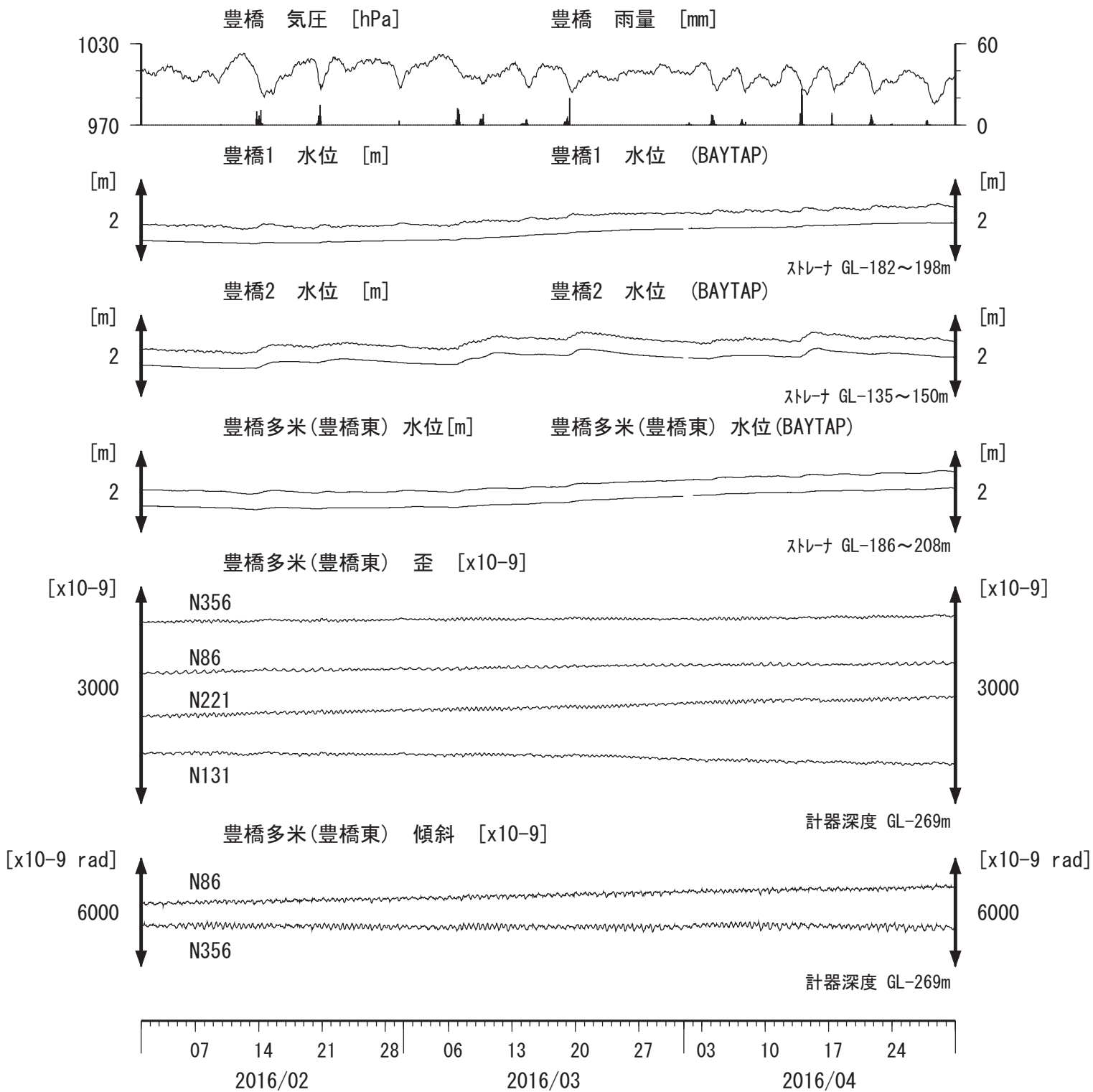
掛川沈下・水位 (時間値)  
(2014/05/01 00:00 – 2016/05/01 00:00 (JST))



コメント : \$;保守.  
?:原因不明.



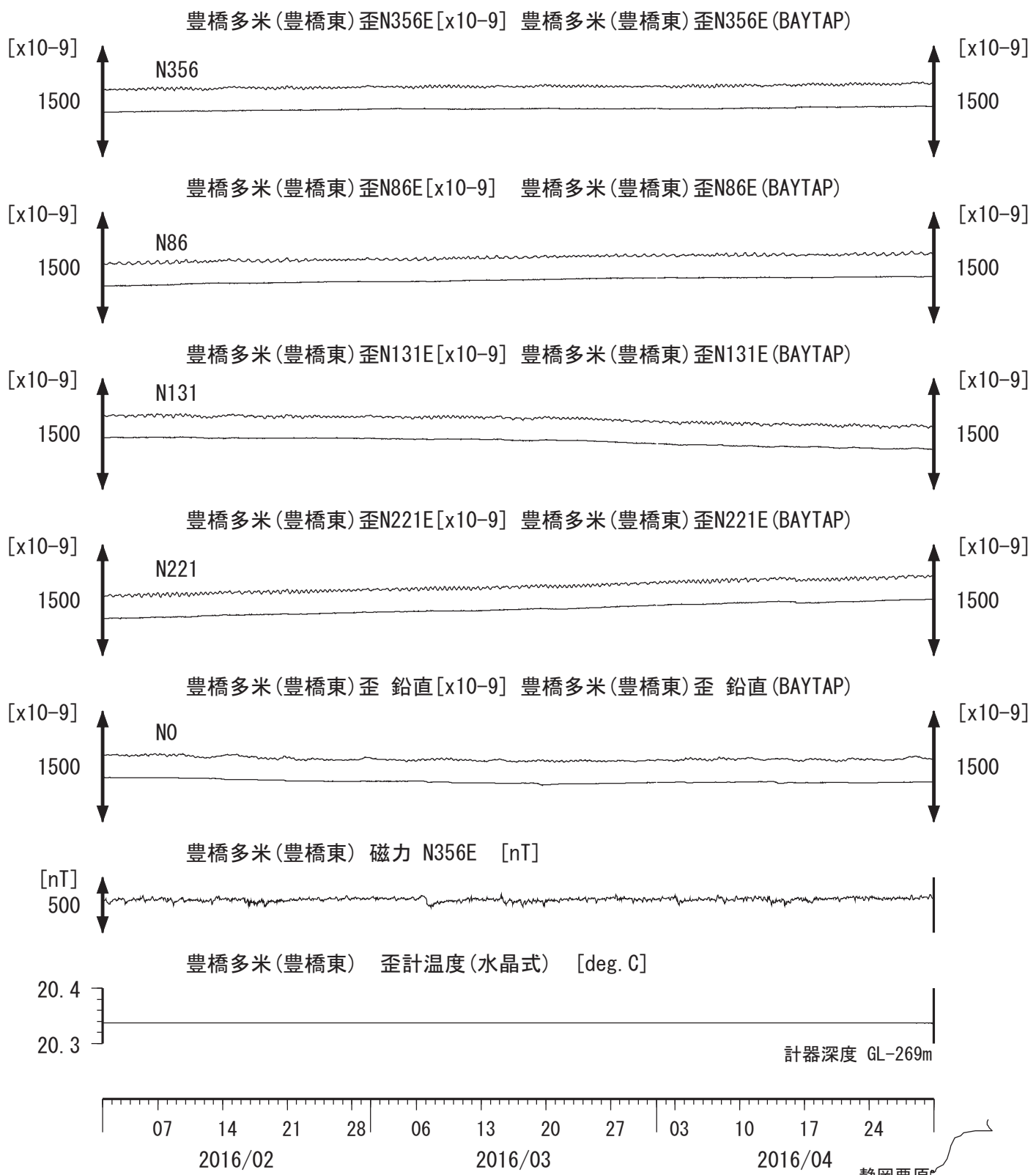
東海地域西部（豊橋・豊橋多米）中期（時間値）  
 (2016/02/01 00:00 - 2016/05/01 00:00 (JST))



コメント : \$;保守. ?;原因不明.



東海地域西部（豊橋多米　歪）中期（時間値）  
 (2016/02/01 00:00 - 2016/05/01 00:00 (JST))



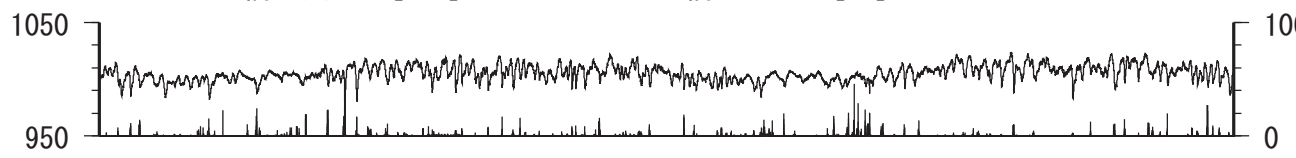
コメント : \$;保守. ?;原因不明.



東海地域西部（豊橋・豊橋多米）長期（時間値）  
 (2014/05/01 00:00 - 2016/05/01 00:00 (JST))

豊橋 気圧 [hPa]

豊橋 雨量 [mm]



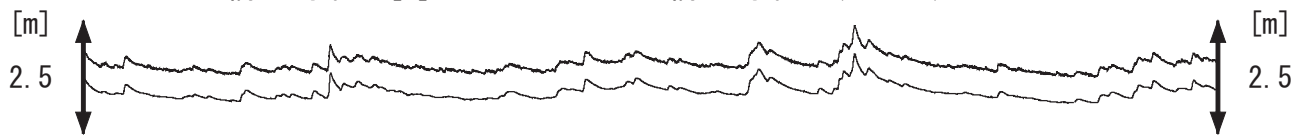
豊橋1 水位 [m]

豊橋1 水位 (BAYTAP)



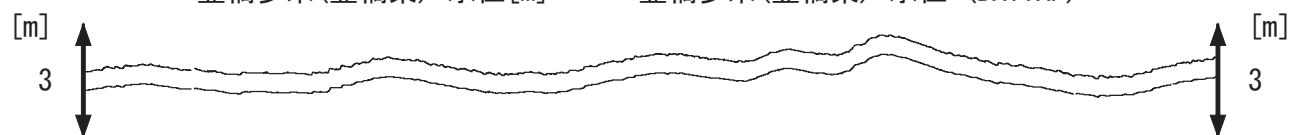
豊橋2 水位 [m]

豊橋2 水位 (BAYTAP)

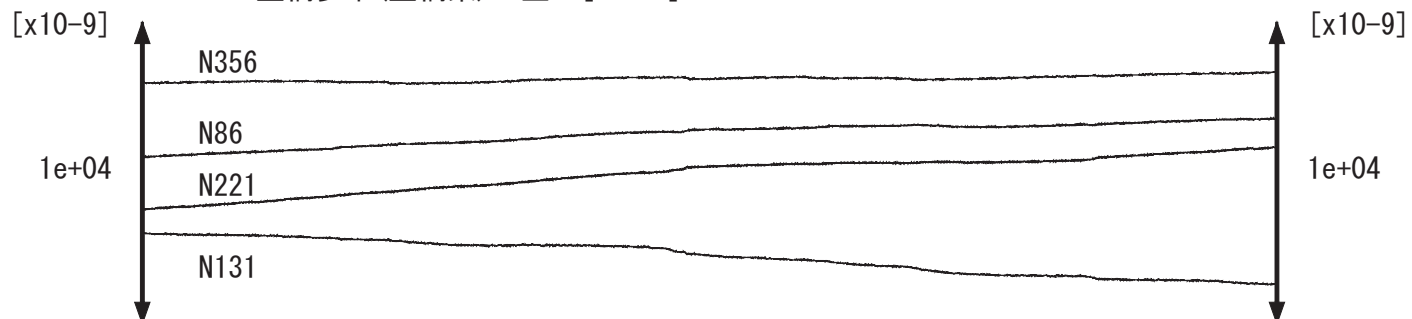


豊橋多米(豊橋東) 水位 [m]

豊橋多米(豊橋東) 水位 (BAYTAP)



豊橋多米(豊橋東) 歪 [ $\times 10^{-9}$ ]



豊橋多米(豊橋東) 傾斜 [ $\times 10^{-9}$ ]



14. 09. 16.  
茨城県南部の  
地震 (M5. 6)

14. 11. 22.  
長野県北部の  
地震 (M6. 7)

15. 11. 14.  
薩摩半島西方沖  
の地震 (M7. 0)

07 2014

01

07 2015

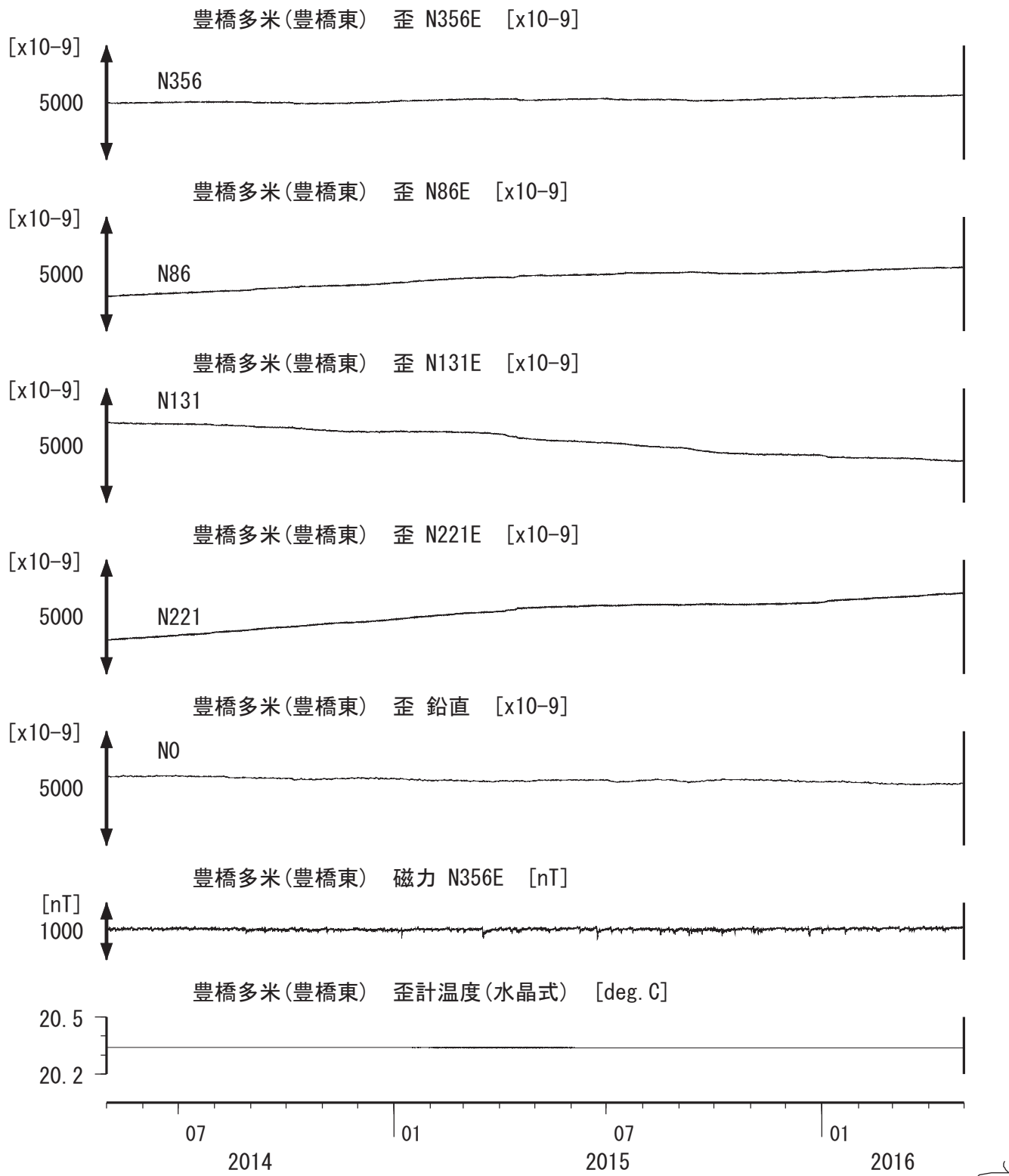
01

2016

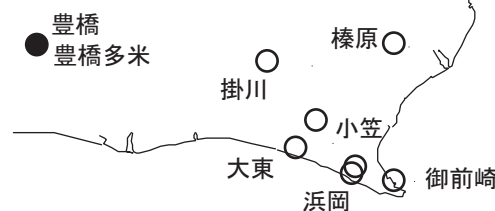
コメント : \$;保守. ?;原因不明.



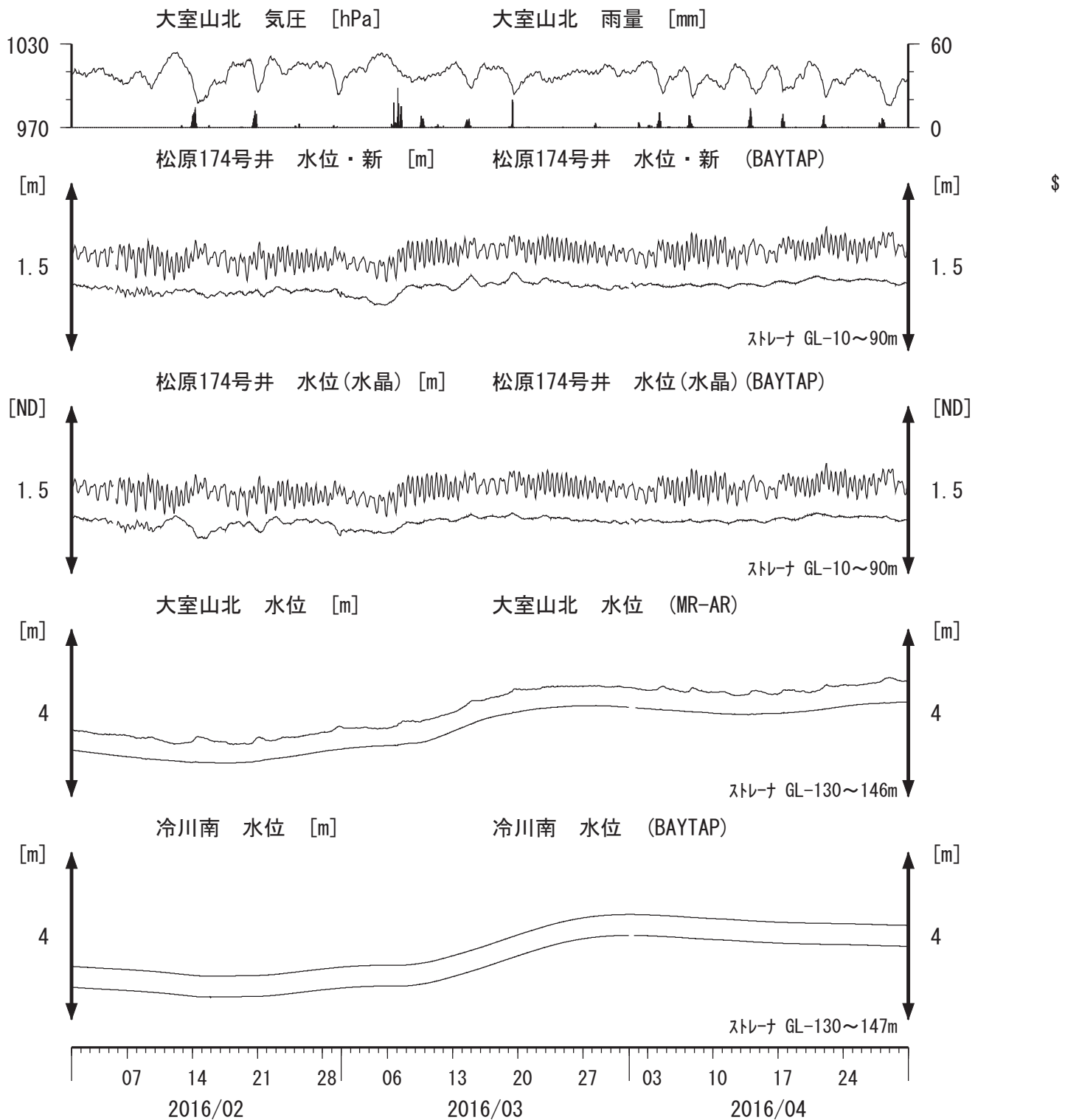
東海地域西部（豊橋多米　歪）長期（時間値）  
 (2014/05/01 00:00 – 2016/05/01 00:00 (JST))



コメント : \$;保守. ?:原因不明.



伊豆半島東部 地下水位 中期 (時間値)  
(2016/02/01 00:00 - 2016/05/01 00:00 (JST))

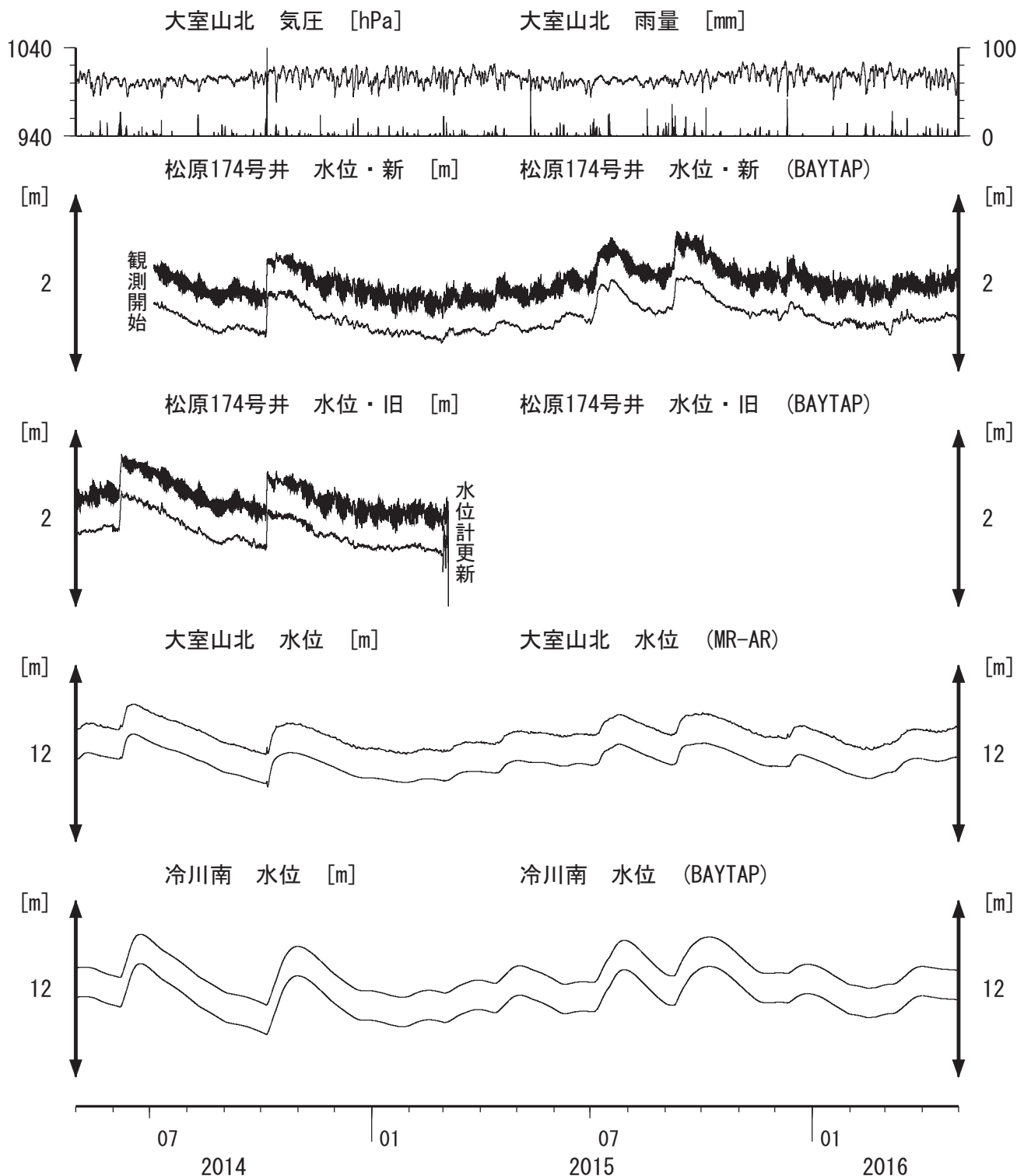


コメント : \$;保守, ?:原因不明.

松原174号井は静岡県による観測.  
松原174の水位計が長期的にドリフトしていることが  
分かったので、2014年7月4日に新たに水位計を  
設置して平行観測している。2015年3月5日に  
旧水位計を新しい水晶式水位計に更新した。



伊豆半島東部 地下水位 長期 (時間値)  
(2014/05/01 00:00 - 2016/05/01 00:00 (JST))

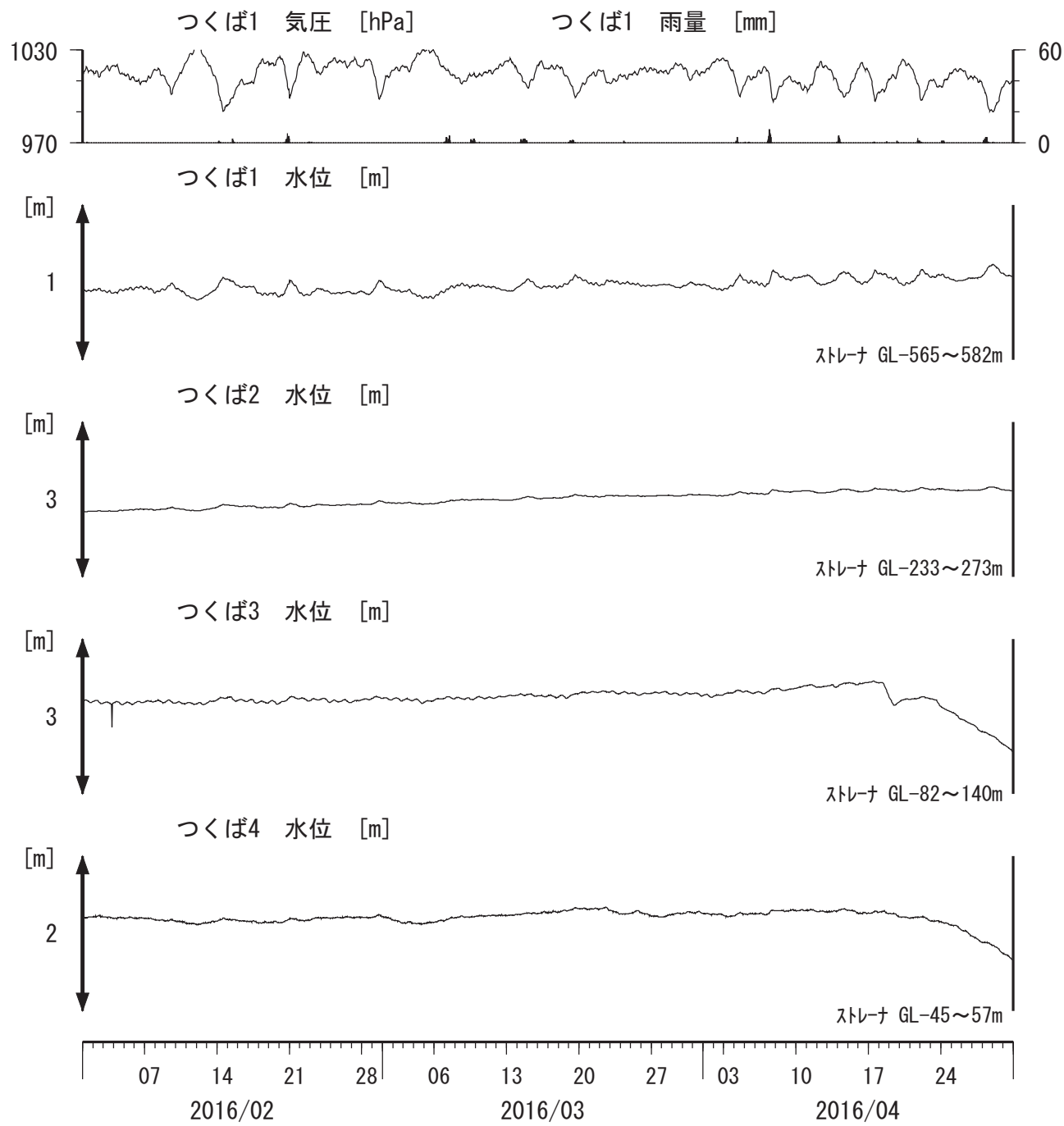


コメント : \$;保守, ?;原因不明.

松原174号井は静岡県による観測.  
松原174の水位計が長期的にドリフトしていることが  
分かったので、2014年7月4日に新たに水位計を  
設置して平行観測している。2015年3月5日に  
旧水位計を新しい水晶式水位計に更新した。  
観測データが蓄積した時点で  
新水晶式水位計のデータを表示する。



関東地域 地下水観測結果 中期 (時間値)  
 (2016/02/01 00:00 – 2016/05/01 00:00 (JST))



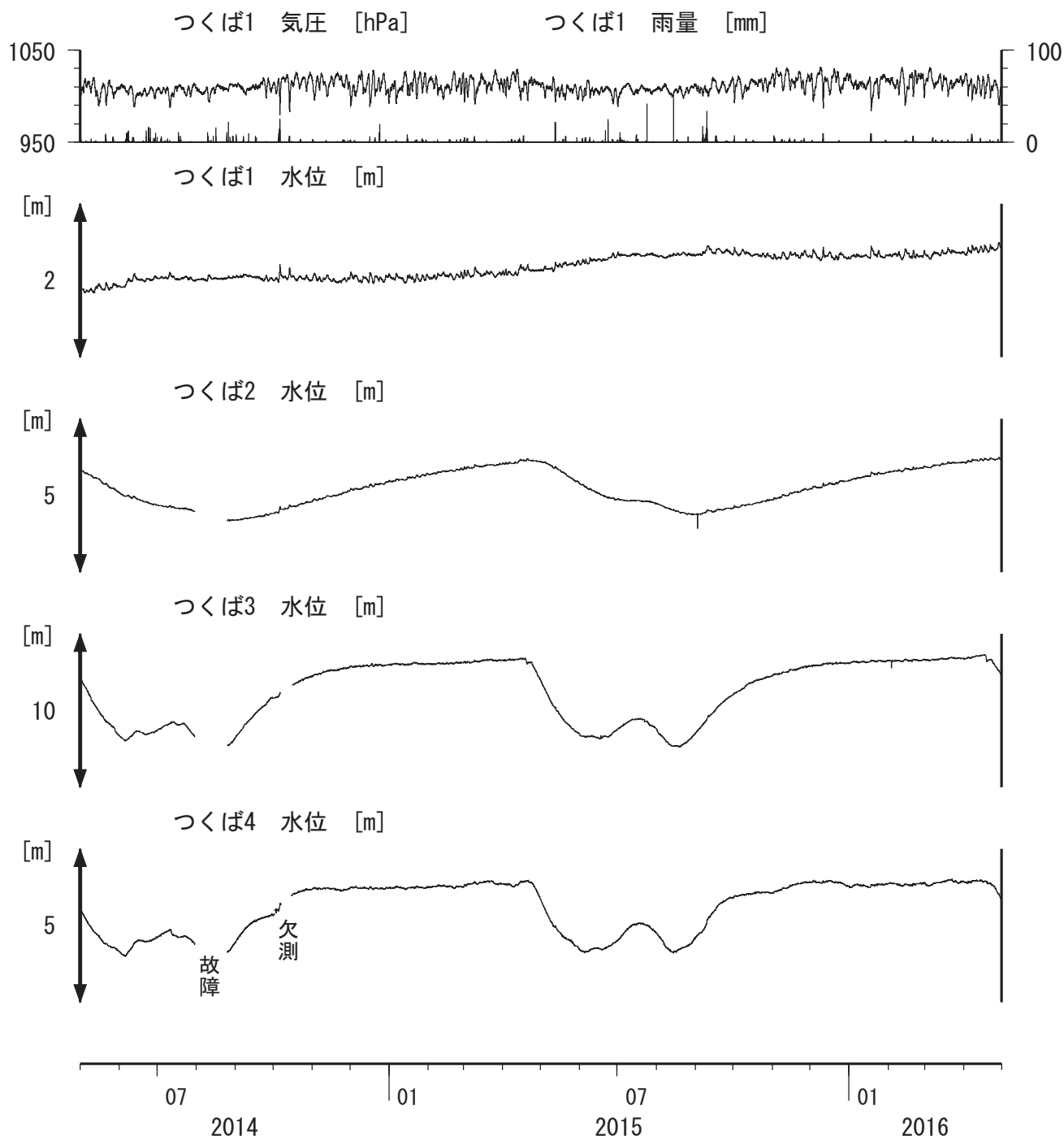
コメント : \$;保守.

つくば2~4の水位が、例年春~秋に低下するのは、  
周囲の揚水によると考えられる。

つくば3の水位が2014年10月7~16日に異常なのは、  
データロガーの不良のためと考えられる。



関東地域 地下水観測結果 長期 (時間値)  
 (2014/05/01 00:00 – 2016/05/01 00:00 (JST))



コメント : \$;保守.

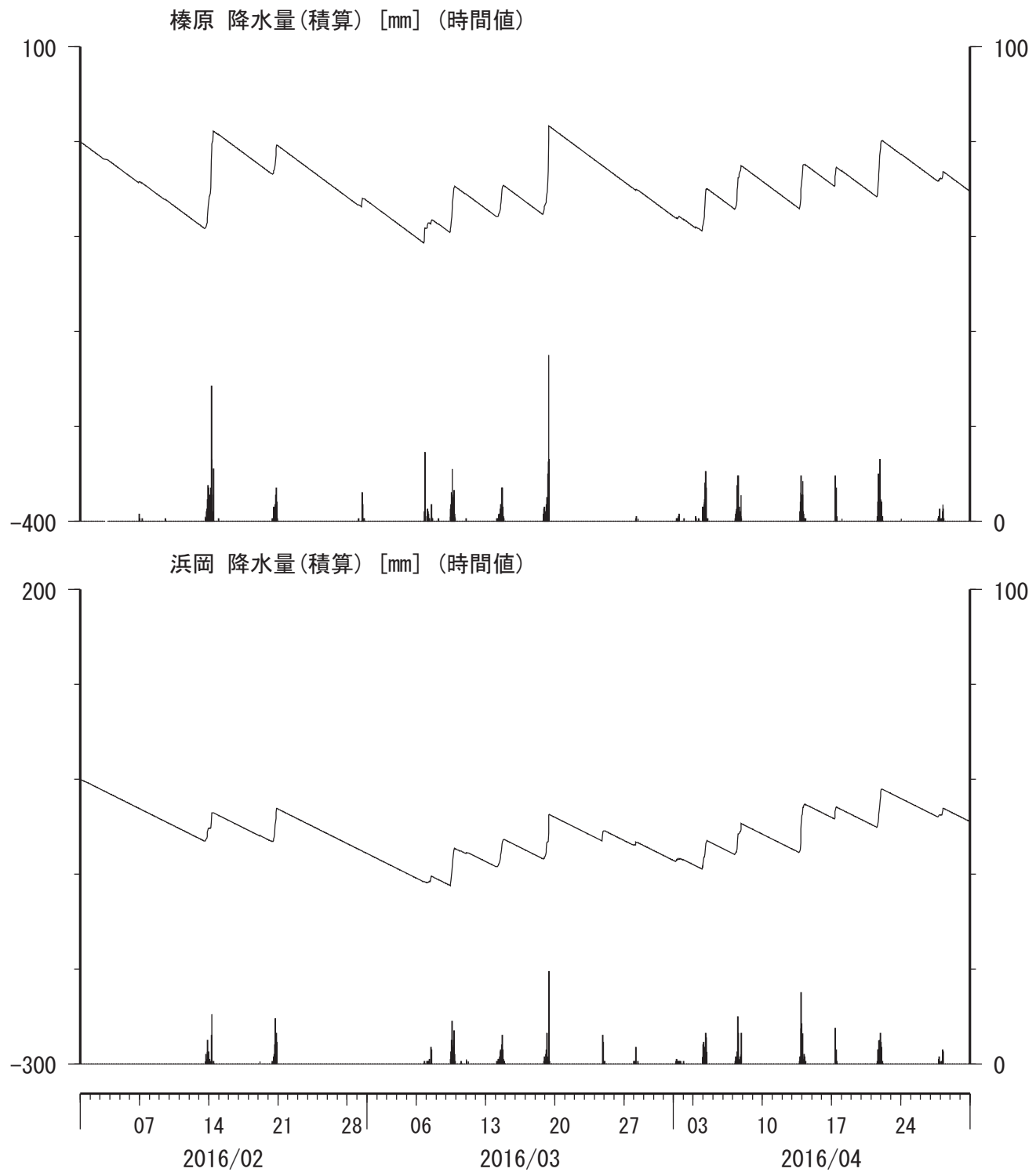
つくば2~4の水位が、例年春~秋に低下するのは、  
周囲の揚水によると考えられる。

2012年7月頃から不調だった孔4水位計は  
2013年3月13日に交換した。

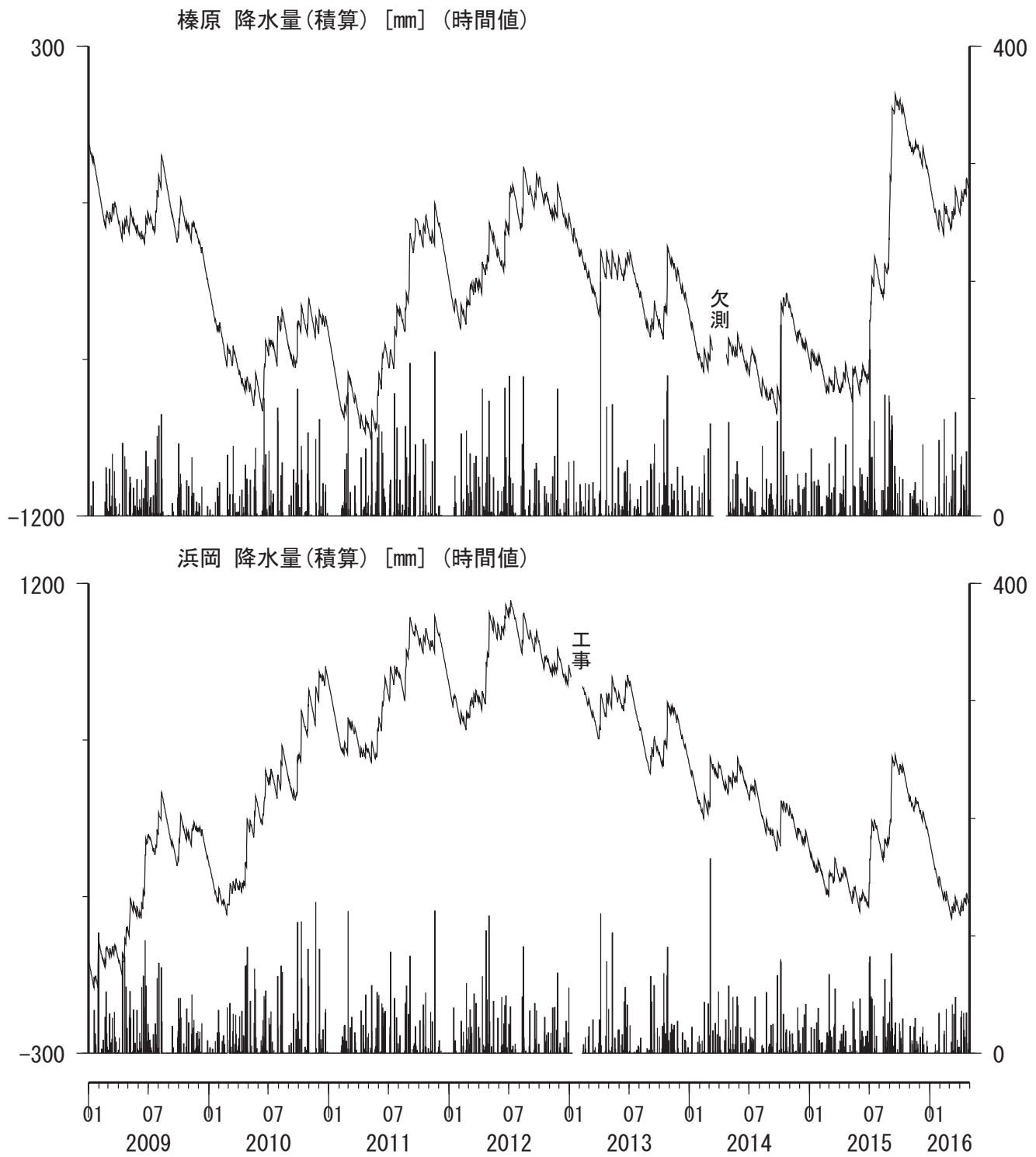
つくば3の水位が2014年10月7~16日に異常なのは、  
データロガーの不良のためと考えられる。



榛原・浜岡観測井 直近3ヶ月の積算降雨量トレンド除去グラフ [mm]  
(2016/02/01 00:00 – 2016/05/01 00:00 (JST))



## 榛原・浜岡観測井 降雨量の積算からトレンド除去後のグラフ [mm] (2009/01/01 00:00 – 2016/05/01 00:00 (JST))



コメント：トレンドは、グラフに示している期間で求めている。

紀伊半島～四国の地下水・歪観測結果(2016年2月～2016年4月)

東海・紀伊半島・四国における短期的スロースリップイベント(2016年2月～2016年4月)

産業技術総合研究所

産業技術総合研究所(産総研)では、東海・紀伊半島・四国の地下水等総合観測施設20点において、歪・地下水等の観測を行っている。観測点配置図を第1図に示す。

第2～38図には、2015年11月～2016年4月における歪・傾斜・地下水位の1時間値の生データ(上線)と補正値(下線)を示す。歪・傾斜の図において「N120E」などと示してあるのは、歪・傾斜の測定方向が北から120度東方向に回転していることを示す。補正値は、潮汐解析プログラムBAYTAP-G[Tamura *et al.*, 1991]によって、気圧・潮汐・不規則ノイズの影響を除去した結果である。歪・傾斜のグラフについては、直線トレンド(1次トレンド)を除去している。第39～44図には、産総研で決定した、エンベロープ相関法による深部低周波微動の震源の時空間分布および個数を示す。微動の地域分けについては、第39図(RT0～3)、第41図(RK0～4)、第43図(RS0～6)に示している。

2015年8月の資料から、深部低周波微動解析のアルゴリズム・パラメータを変更したカタログ(ver3.07j)を用いて、第39～43図を作成した。従来のカタログ(ver2.1)に比べて、カタログver3.07jでは微動の検出個数が大幅に増加している。カタログの変更に合わせて、微動活動の活発化を判断する基準を次の段落に記した数値に変更した。基準の数値は、微動が活発化した期間の検出数が従来のカタログでの検出数と同じ程度になるよう設定した。

東海全体(RT0～3)で微動の発生回数が125個/日以上の日を含む期間(その期間については、回数が50個/日以上で活動開始、50個/日未満で活動終了と判断する)については、第2～8図および第39～40図に灰色網掛けにてその期間を主な活動地域(RT0～3)と共に表示した。紀伊半島全体(RK0～4)で微動の発生回数が150個/日以上の日を含む期間(その期間については、回数が60個/日以上で活動開始、60個/日未満で活動終了と判断する)については、第8～21図および第41～42図に灰色網掛けにてその期間を主な活動地域(RK0～4)と共に表示した。四国東部(RS4～6)の合計で微動の発生回数が150個/日以上の日を含む期間(その期間については、回数が60個/日以上で活動開始、60個/日未満で活動終了と判断する)については、第22～30図、第37～38図および第43～44図に灰色網掛けにてその期間を主な活動地域(RS4～6)と共に表示した。四国西部(RS0～3)の合計で微動の発生回数が300個/日以上の日を含む期間(その期間については、回数が60個/日以上で活動開始、60個/日未満で活動終了と判断する)については、第27～38図および第43～44図に灰色網掛けにてその期間を主な活動地域(RS0～3)と共に表示した。

歪・傾斜・地下水の変化から短期的SSEの断層モデルを推定したイベントについて、その解析結果を報告する。断層モデル推定手法については、解析結果の後に示す。

2016年2月9-25日頃にかけて断続的に四国西部で微動活動が観測された(第45図)。第46図は同時期の微動活動領域周辺の産総研・防災科研の観測点における多成分歪・傾斜の観測結果である。これらの結果はBAYTAP-Gにより気圧応答成分、潮汐成分およびホワイトノイズ成分を取り除き、さらに2016年1月31日から2月8日までのデータを用いて1次トレンドを除去したものである。

第47-49図は順に第46図[A]-[C]の変化を説明する短期的SSEの推定結果(順にMw 5.7, 5.5, 5.4)である。今回の活動域付近における最近の短期的SSEの活動は、2015年10月29日頃から11月19日頃(順にMw 5.8, 5.9, 5.9, 5.8; 第47-49図の灰色矩形1-4)である。

2016年3月30-31日頃にかけて奈良県南部で微動活動が観測された(第50図)。第51図は微動活動周辺の産総研・防災科研の観測点における多成分歪・傾斜の観測結果である。これらの結果はBAYTAP-Gにより気圧応答成分、潮汐成分およびホワイトノイズ成分を取り除き、2016年3月20-29日のデータを用いて1次トレンドを除去したものである。

第52図は第51図[A]の変化を説明する短期的SSEの推定結果(Mw 5.5)である。今回の活動域付近における最近の短期的SSEの活動は、2015年7月18-25日頃(順にMw 5.5, 5.6; 第52図の灰色矩形1, 2), 2015年10月25-27日頃(Mw 5.8; 同3), 2015年11月3-5日(Mw 5.4; 同4), および2016年1月9-12日(Mw 5.7; 同5)

である。

2016年4月1-4日頃にかけて三重県中部で微動活動が観測された(第53図)。第54図は微動活動周辺の産総研・気象庁・防災科研の観測点における多成分歪・体積歪・傾斜・地下水の観測結果である。これらの結果はBAYTAP-Gにより気圧応答成分、潮汐成分およびホワイトノイズ成分を取り除き、2016年3月20-29日のデータを用いて1次トレンドを除去したものである。

第55, 56図は順に図2[A], [B]の変化を説明する短期的SSEの推定結果(順にMw 5.3, 5.6)である。今回の活動域付近における最近の短期的SSEの活動は、2015年7月18-25日頃(順にMw 5.5, 5.6; 第55, 56図の灰色矩形1, 2), 2015年10月25-27日頃(Mw 5.8; 同3), 2015年12月30日-2016年1月12日(順にMw 5.7, 5.7, 5.6, 5.7, 5.4, 5.7; 同4-9), および2016年3月30-31日(Mw 5.5; 同10)である。

2016年4月5-8日頃にかけて四国中部で微動活動が観測された(第57図)。第58図は微動活動周辺の産総研・防災科研の観測点における多成分歪・傾斜の観測結果である。これらの結果はBAYTAP-Gにより気圧応答成分、潮汐成分およびホワイトノイズ成分を取り除き、2016年3月27日-4月3日のデータを用いて1次トレンドを除去したものである。

第59図は第58図[A]の変化を説明する短期的SSEの推定結果(Mw 5.6)である。今回の活動域付近における最近の短期的SSEの活動は、2015年10月29日頃から11月19日頃の活動(順にMw 5.8, 5.9, 5.9, 5.8; 第59図の灰色矩形1-4), 2016年2月9-11日頃(Mw 5.7; 同5), 2016年2月20-21日頃(Mw 5.5; 同6), および2016年2月24-25日頃(Mw 5.4; 同7)である。

2016年4月18-22日頃にかけて四国西部～中部で微動活動が観測された(第60図)。第61図は微動活動周辺の産総研・防災科研の観測点における多成分歪・傾斜の観測結果である。これらの結果はBAYTAP-Gにより気圧応答成分、潮汐成分およびホワイトノイズ成分を取り除き、2016年4月8-15日のデータを用いて1次トレンドを除去したものである。

第62-64図は順に第61図[A]-[C]の変化を説明する短期的SSEの推定結果(順にMw 5.9, 5.4, 5.7)である。今回の活動域付近における最近の短期的SSEの活動は、2016年2月9-11日頃(Mw 5.7; 第62-64図の灰色矩形1), 2016年2月20-21日頃(Mw 5.5; 同2), 2016年2月24-25日頃(Mw 5.4; 同3), および2016年4月5-8日頃(Mw 5.6; 同4)である。

## 解析方法

短期的SSEの断層面推定には、それぞれの観測点の水平歪4成分(一部の気象庁観測点では8成分)・体積歪・地下水圧・傾斜2成分の記録を用いる。地下水圧は、O1およびM2分潮の振幅をBAYTAP-G [Tamura et al., 1991]により計算し、GOTIC2 [Matsumoto et al., 2001]により推定した地球固体潮汐および海洋荷重潮汐(O1およびM2分潮)との振幅比を用いて、体積歪に変換する。歪・地下水・傾斜ともに、観測波形からBAYTAP-Gにより、気圧応答成分、潮汐成分およびホワイトノイズ成分を取り除く。また、イベント直前の期間を用いて1次トレンドも取り除く。微動活動も参考にして、数時間～半日単位で活動開始・終了時期を判断し、その期間の変化量を短期的SSEによる変化量とする。その際、歪についてはMatsumoto et al. [2010]の手法で理論潮汐歪を用いてキャリブレーションを行っている。

断層面の推定は、計算時間の短縮と、推定された結果の一意性を確認するために2段階で行う。断層面推定は板場ほか[2012]の手法を用いた。フィリピン海プレート境界面上[弘瀬ほか, 2007]に多数の断層面を仮定してグリッドサーチにより推定する。仮定した断層面上のすべりによって各観測点で期待される歪変化の計算にはOkada [1992]のプログラムを用いる。1段階目には、断層面のサイズは固定(幅・長さ共に20km), 断層面の位置(0.1°間隔)およびすべり量(1～100mmの間で1mm間隔)のみ可変として広範囲で計算を行う。1段階目の結果を示す図では、それぞれの断層面において最適なすべり量を与えたときの、観測値と計算値(期待値)との残差分布を示している。これにより、短期的SSEが生じている可能性が高い領域を絞り込むとともに、推定された結果の任意性を確認することが出来る。2段階目には、1段階目で絞り込んだ領域(=残差が小さい領域)付近で、位置及びすべり量に加えて、断層面の長さを10～80km, 幅を10～50km, それぞれ1km間隔で可変として計算を行なう。その結果、観測値との残差が最小となる断層面が1つ計算されるが、計算に使用している観測点数が少ない場合や、断層面と観測点配置の関係によっては任意性が高くなるので注意が必要である。な

お、異種観測値を統合して解析するため、観測点ごとに残差をノイズレベルによって規格化している。ノイズレベルは、気圧応答、潮汐成分およびホワイトノイズ成分を取り除いた後(微動活動が活発な期間および周辺の日雨量50mmを超える時期を除く)の24時間階差の $2\sigma$ とした。

深部低周波微動の検出・震源決定には、エンベロープ相関法を用いている。

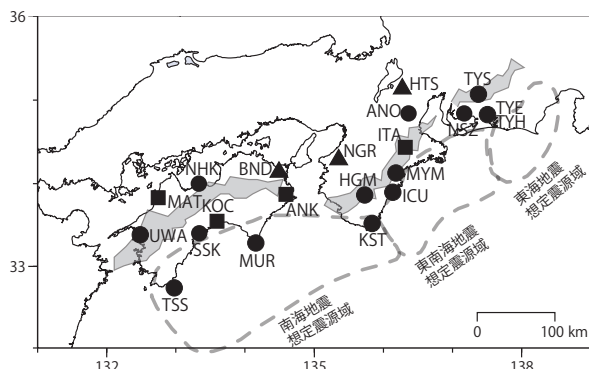
## 謝辞

短期的SSEの断層モデル推定には、防災科研Hi-net高感度加速度計(傾斜計)および気象庁、静岡県の多成分歪計および体積歪計の記録を使用しました。気象庁の歪計データを解析する際には、気象庁によるキャリブレーション係数を使用しました。微動の解析には、防災科研Hi-net、気象庁、東京大学、京都大学、名古屋大学、高知大学、九州大学の地震波形記録を使用しました。低周波地震の震央位置表示には、気象庁の一元化カタログを使用しました。ここに記して感謝します。

(落唯史・北川有一・板場智史・武田直人・松本則夫・木口努)

## 参考文献

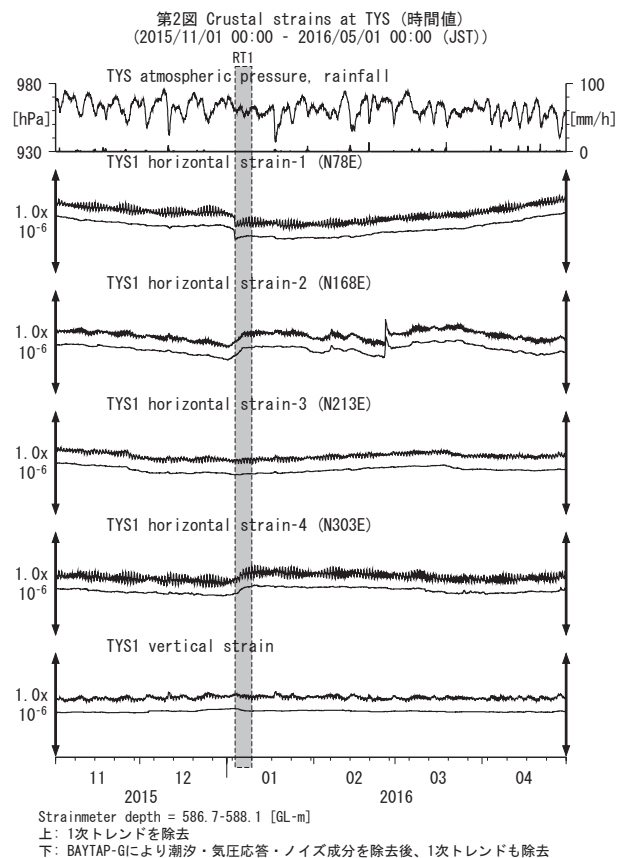
- 弘瀬冬樹、中島淳一、長谷川昭 (2007), Double-Difference Tomography法による西南日本の3次元地震波速度構造およびフィリピン海プレートの形状の推定, *地震*, **60**, 1-20.
- Itaba, S., and R. Ando, A slow slip event triggered by teleseismic surface waves, *Geophys. Res. Lett.*, **38**, L21306, doi:10.1029/2011GL049593, 2011.
- 板場智史、松本則夫、北川有一、小泉尚嗣、松澤孝紀、歪・傾斜・地下水統合解析による短期的スロースリップイベントのモニタリング、日本地球惑星連合2012年大会、千葉、5月、2012。
- Matsumoto, K., T. Sato, T. Takanezawa, and M. Ooe, GOTIC2: A Program for Computation of Oceanic Tidal Loading Effect, *J. Geod. Soc. Japan*, **47**, 243-248, 2001.
- Matsumoto, N., O. Kamigaichi, Y. Kitagawa, S. Itaba, and N. Koizumi (2010), In-situ Calibration of Borehole Strainmeter Using Green's Functions for Surface Point Load at a Depth of Deployment, *Eos, Trans. AGU*, Abstract G11A-0626.
- Okada, Y. (1992), Internal deformation due to shear and tensile faults in a half-space, *Bull. Seismol. Soc. Am.*, **82**, 1018-1040.
- Tamura, Y., T. Sato, M. Ooe and M. Ishiguro (1991), A procedure for tidal analysis with a Bayesian information criterion, *Geophys. J. Int.*, **104**, 507-516.



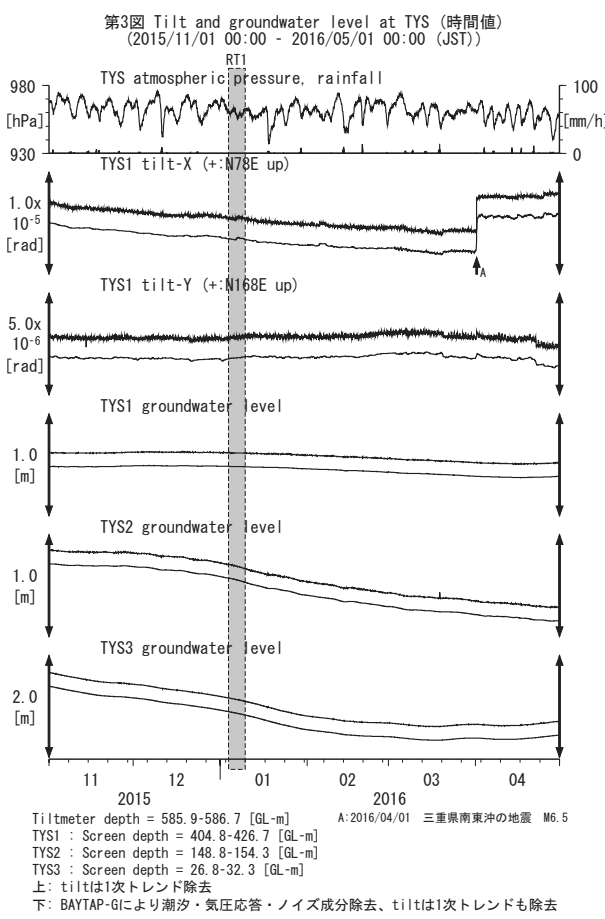
第1図: 地下水位観測点の分布図 (●・■・▲)。●はデジタル方式の石井式歪計・傾斜計をしている新規観測点、■はGladwin式歪計・ミツトヨ式傾斜計を併設している新規観測点、▲はアナログ方式の石井式歪計を併設している既存の観測点。灰色の領域は短期的SSE及び深部低周波微動が定期的に発生していると考えられる地域。

第1表: 産総研観測点の新名称。平成23年1月17日から「市町村名」+「町・字名等」を基本とする名称に変更している。なお、3文字コードは変更していない。

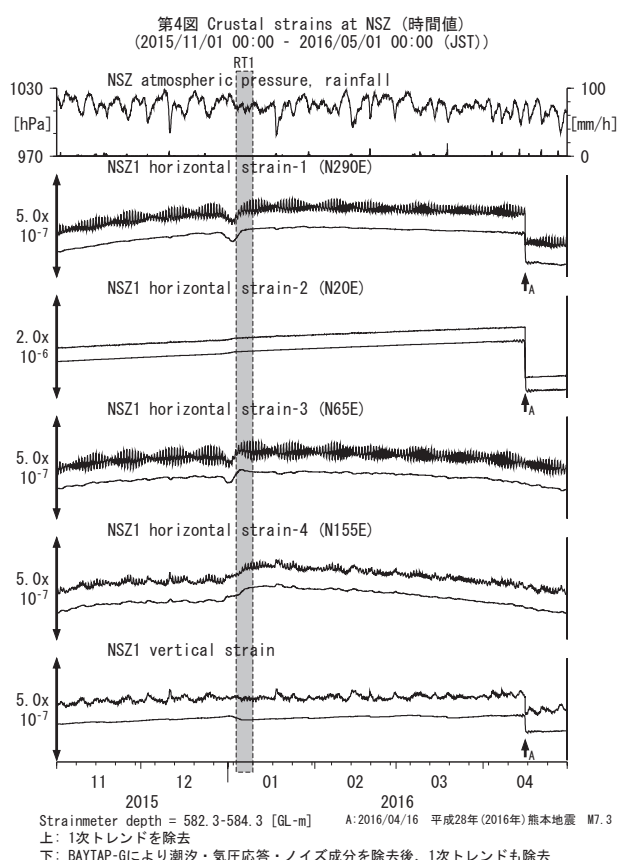
3文字コード (変更無し)	旧名称	新名称	新名称ふりがな	市区町村	図	
TYS	豊田下山	→	豊田神殿	とよたかんどの	愛知県豊田市	2,3
NSZ	西尾善明	変更無し	にしおぜんみょう	愛知県西尾市	4,5	
TYE	豊橋東	→	豊橋多米	とよはしまつめ	愛知県豊橋市	6,7
HTS	秦荘	→	愛荘香之庄	あいしょうこうのしょう	滋賀県愛知郡愛荘町	8
ANO	安濃	→	津安濃	つあのう	三重県津市	9,10
ITA	飯高赤桶	→	松阪飯高	まつさかいたいた	三重県松阪市	11,12
MYM	海山	→	紀北海山	きほくみやま	三重県北牟婁郡紀北町	13,14
ICU	井内浦	→	熊野磯崎	くまのいそざき	三重県熊野市	15,16
HGM	本宮三越	→	田辺本宮	たなべほんぐう	和歌山県田辺市	17,18
KST	串本津荷	変更無し	串本津荷	くしもとつが	和歌山県東牟婁郡串本町	19,20
NGR	根来	→	岩出東坂本	いわでひがしさかもと	和歌山県岩出市	21
BND	板東	→	鳴門大麻	なるとおあさ	徳島県鳴門市	22
ANK	阿南桑野	変更無し	阿南桑野	あなんくわの	徳島県阿南市	23,24
MUR	室戸	→	室戸岬	むろとみさき	高知県室戸市	25,26
KOC	高知市	→	高知五台山	こうちごだいさん	高知県高知市	27,28
SSK	須崎	→	須崎大谷	すさきおおたに	高知県須崎市	29,30
TSS	土佐清水	→	土佐清水松尾	とさしみずまつお	高知県土佐清水市	31,32
UWA	宇和	→	西予宇和	せいようわ	愛媛県西予市	33,34
MAT	松山	→	松山南江戸	まつやまみなみえど	愛媛県松山市	35,36
NHK	新居浜黒島	変更無し	新居浜黒島	にいはまくろしま	愛媛県新居浜市	37,38



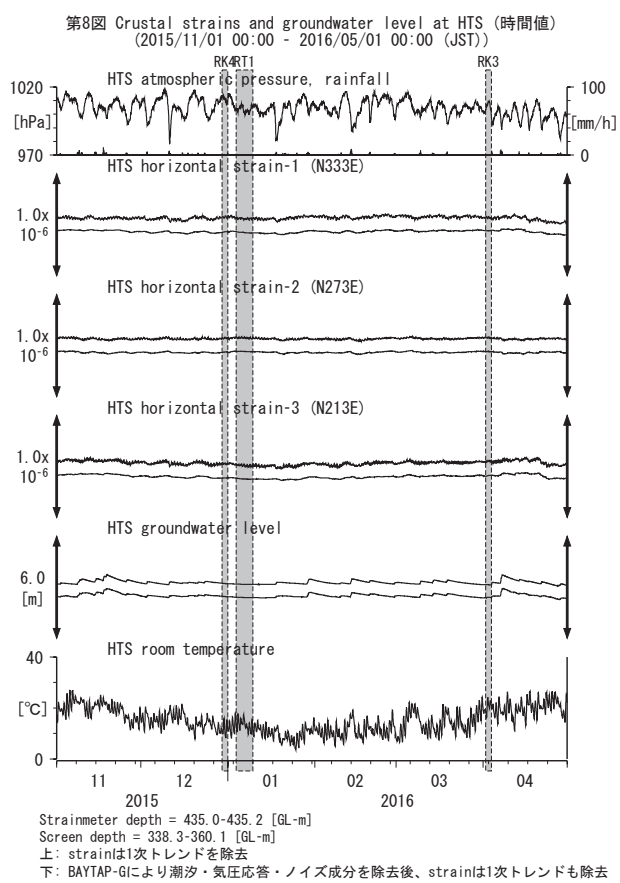
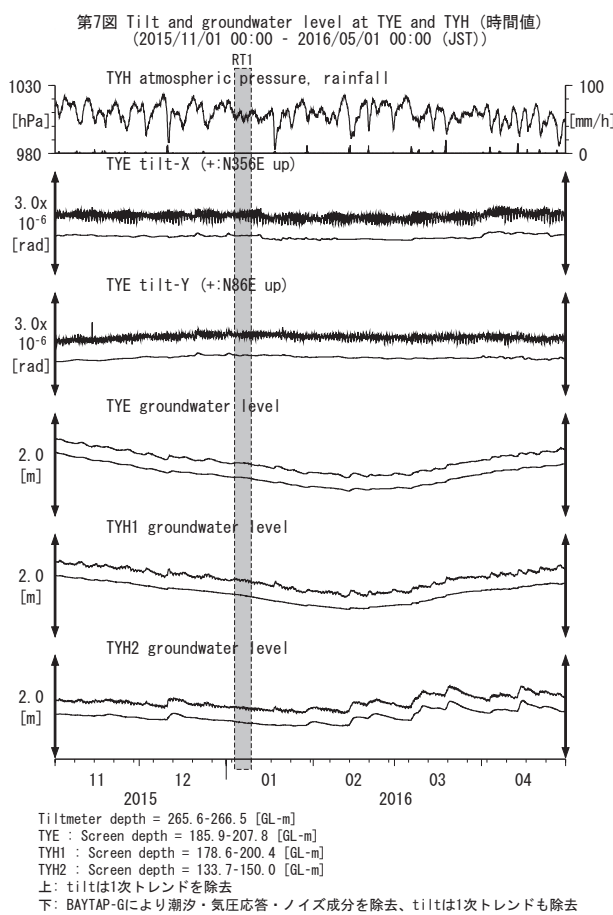
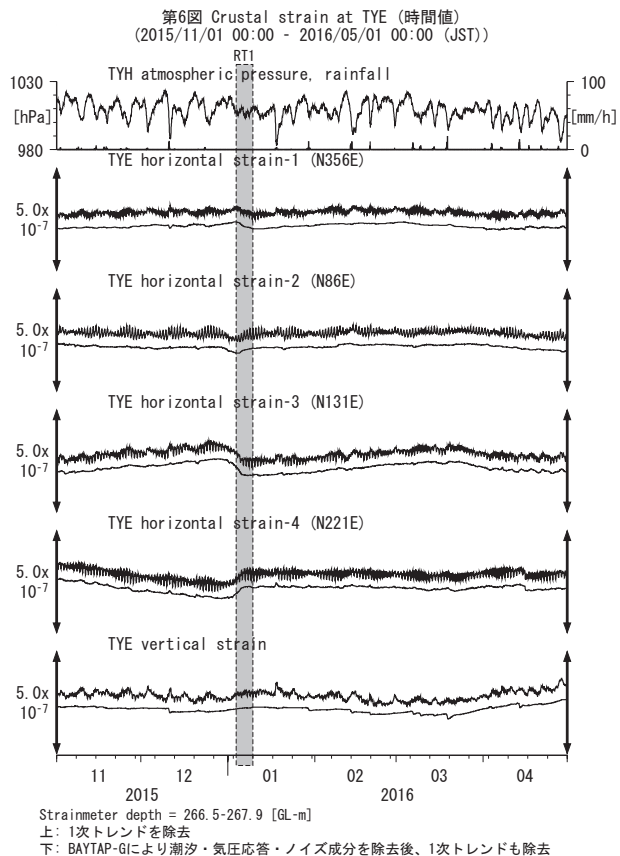
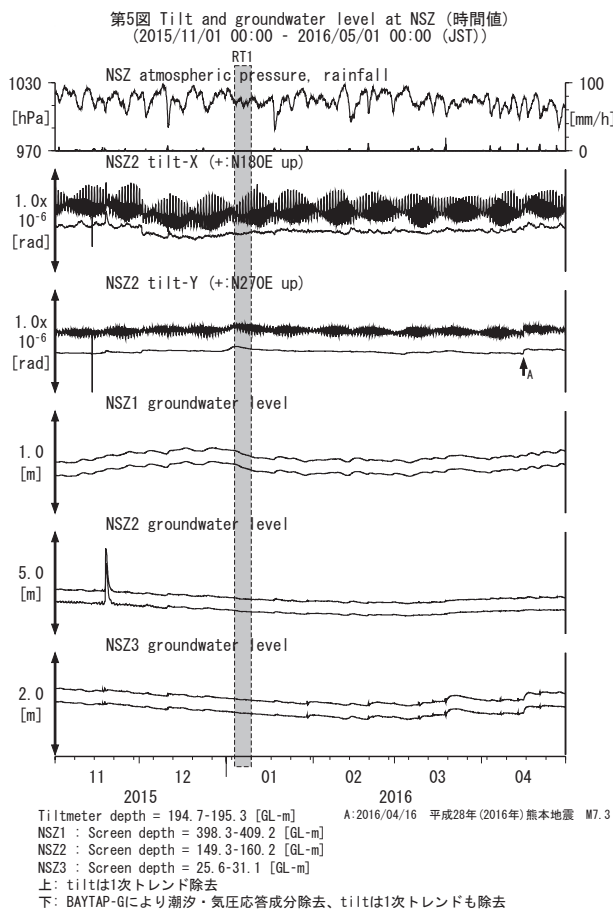
上: 1次トレンドを除去  
下: BAYTAP-Gにより潮汐・気圧応答・ノイズ成分を除去後、1次トレンドも除去

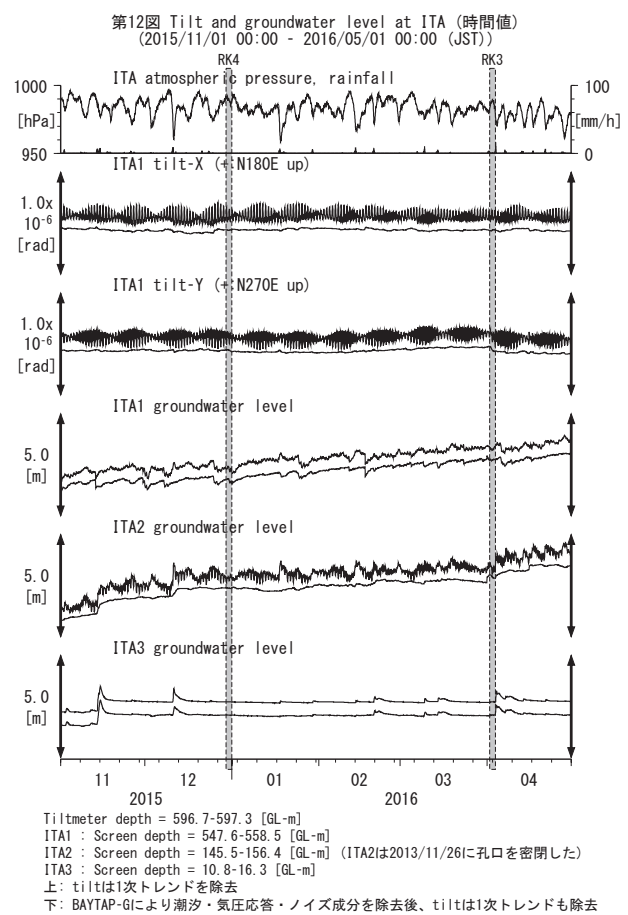
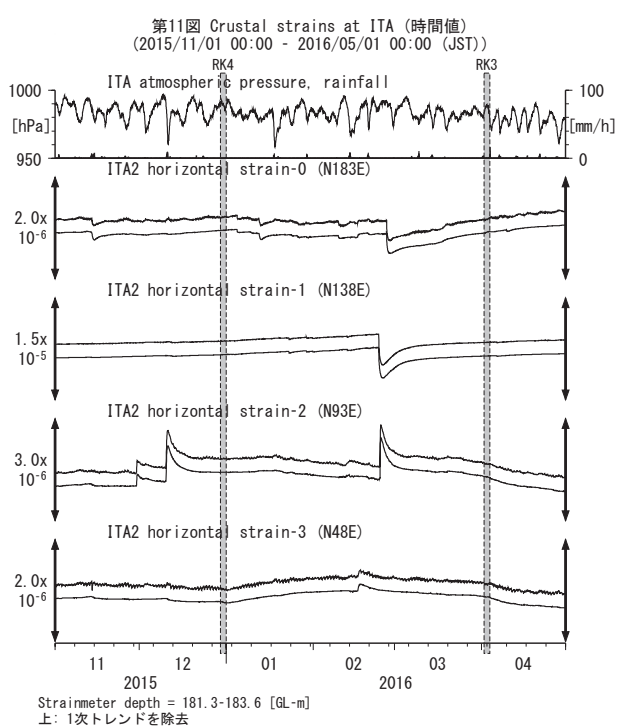
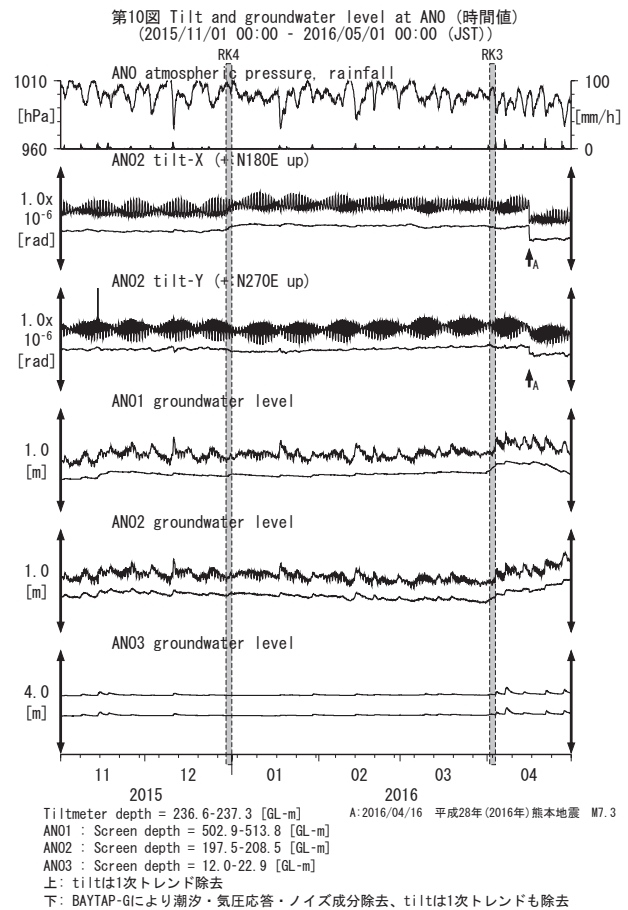
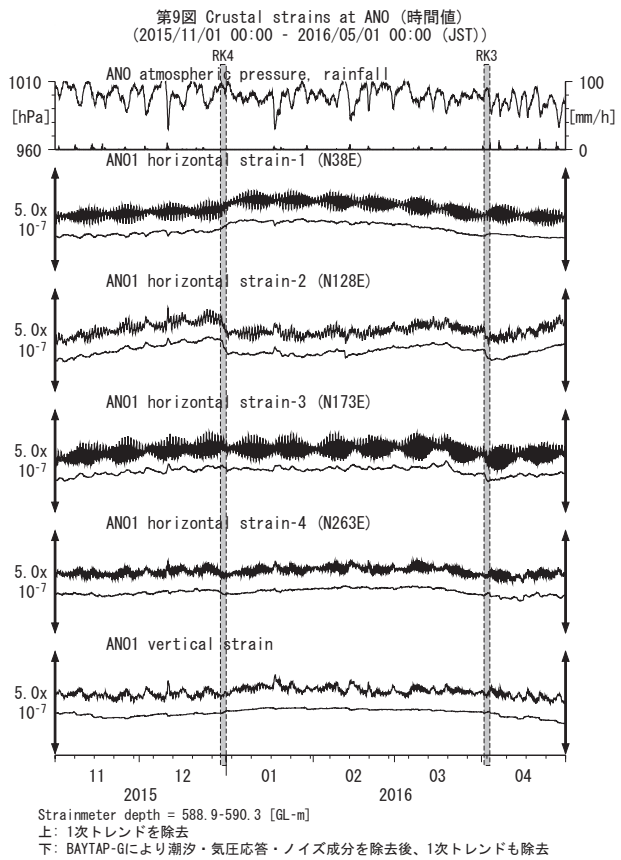


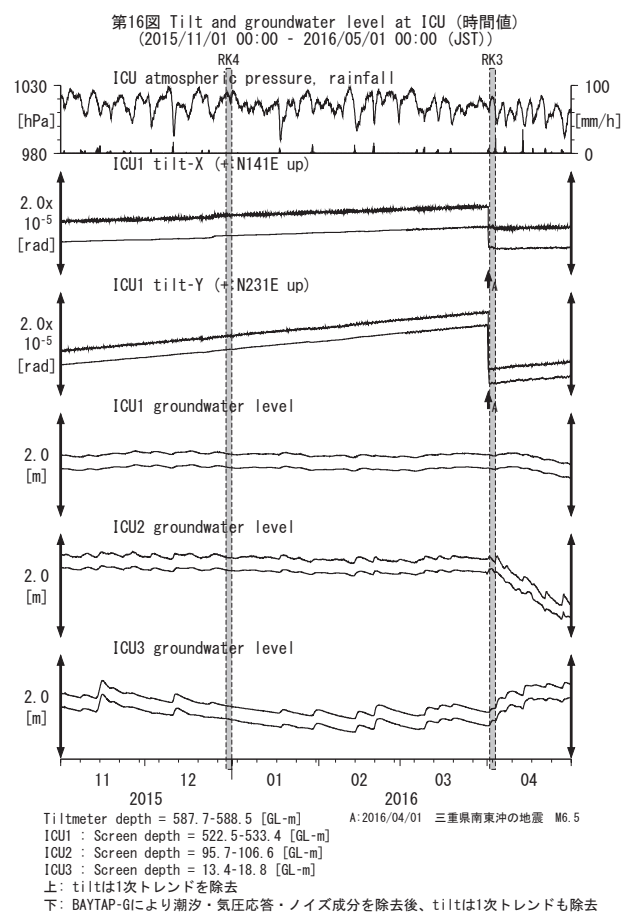
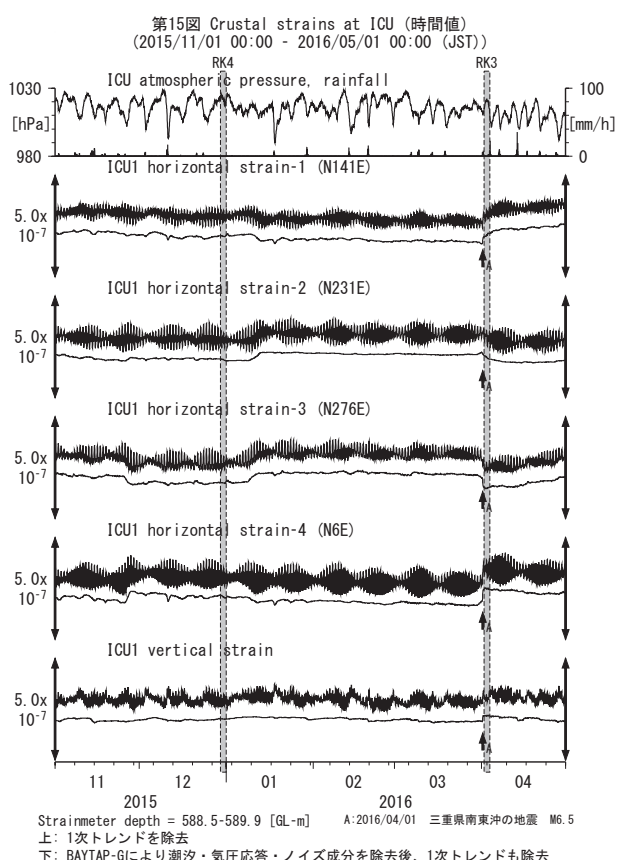
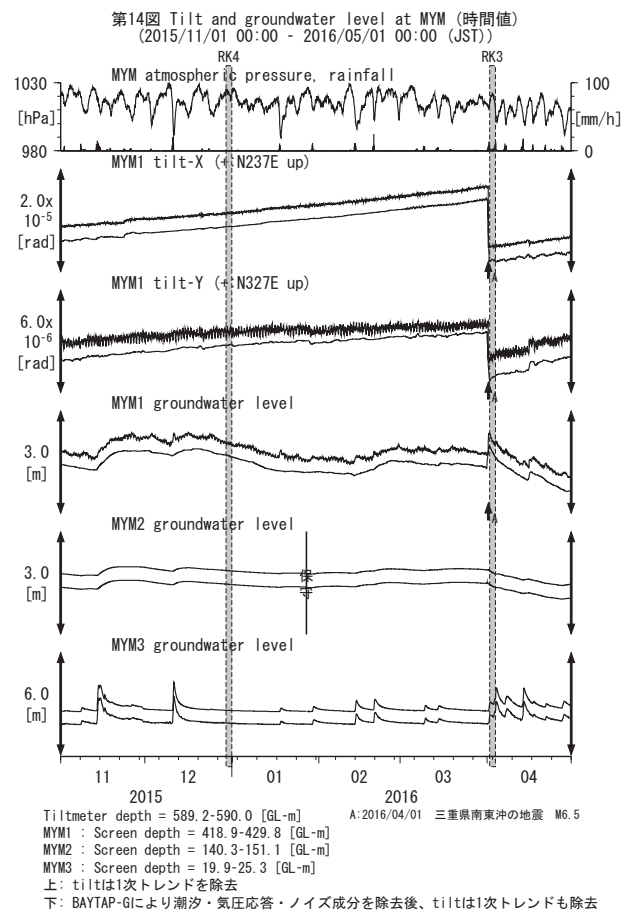
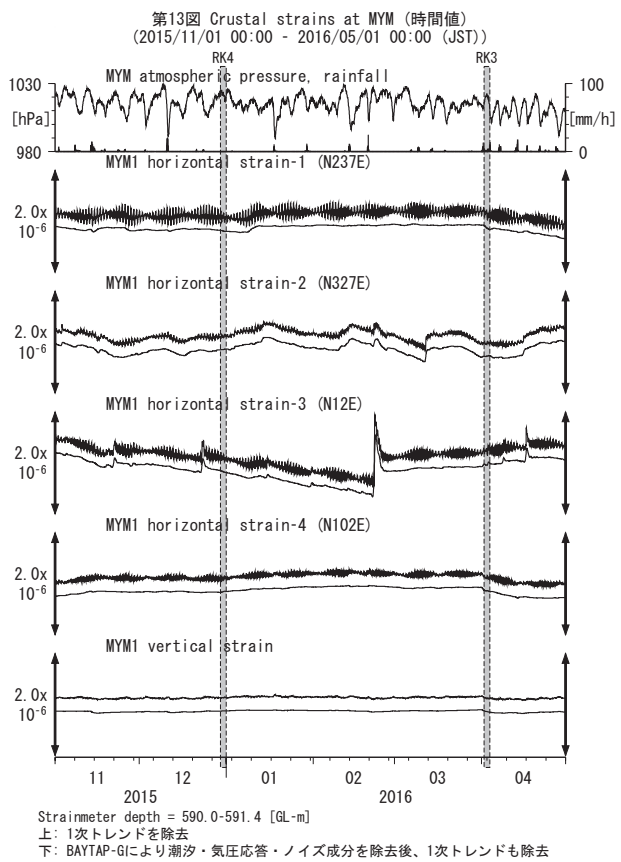
Tiltmeter depth = 585.9-586.7 [GL-m]  
TYS1 : Screen depth = 404.8-426.7 [GL-m]  
TYS2 : Screen depth = 148.8-154.3 [GL-m]  
TYS3 : Screen depth = 26.8-32.3 [GL-m]  
上: tiltは1次トレンド除去  
下: BAYTAP-Gにより潮汐・気圧応答・ノイズ成分除去、tiltは1次トレンドも除去

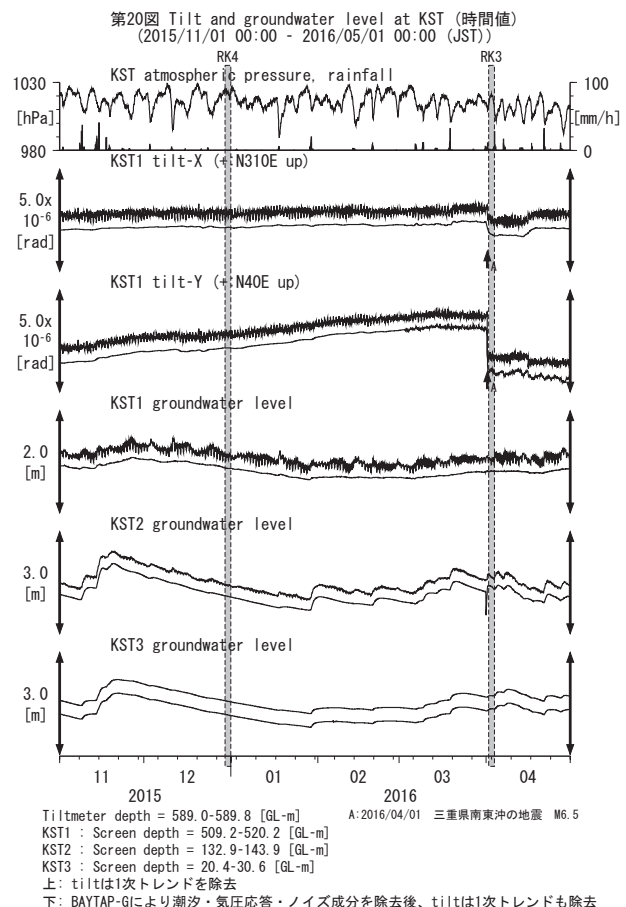
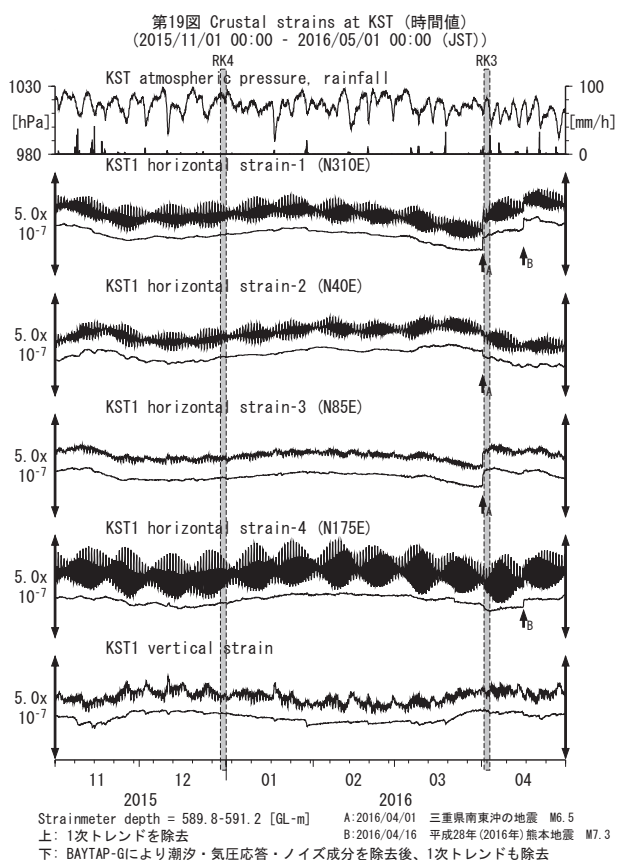
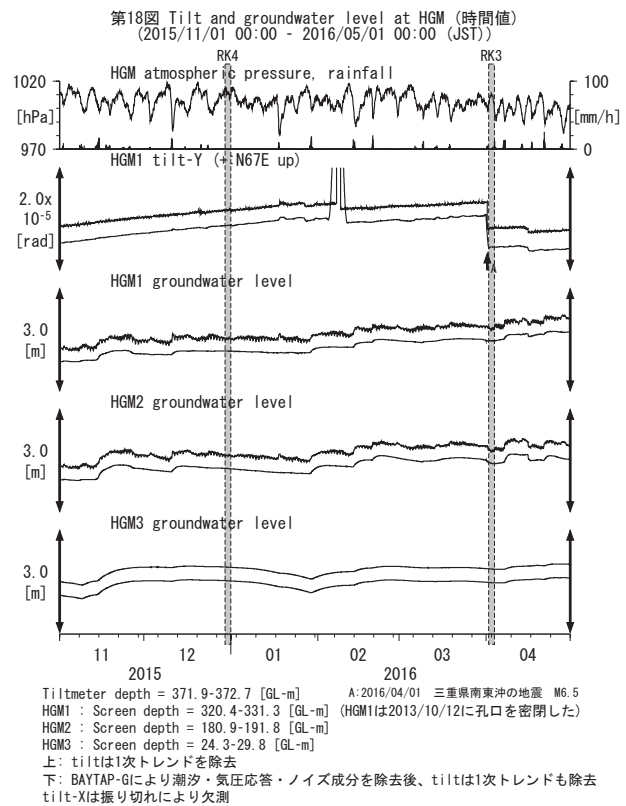
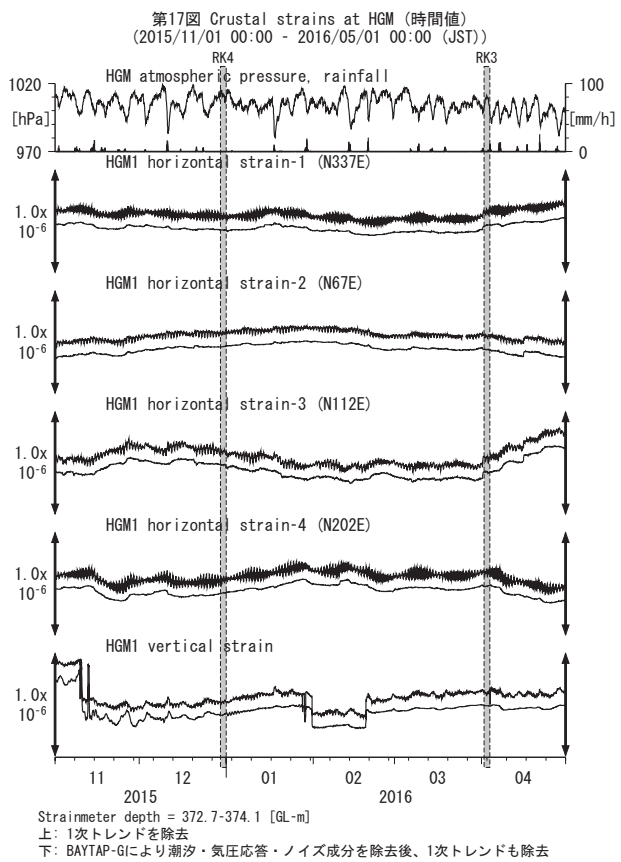


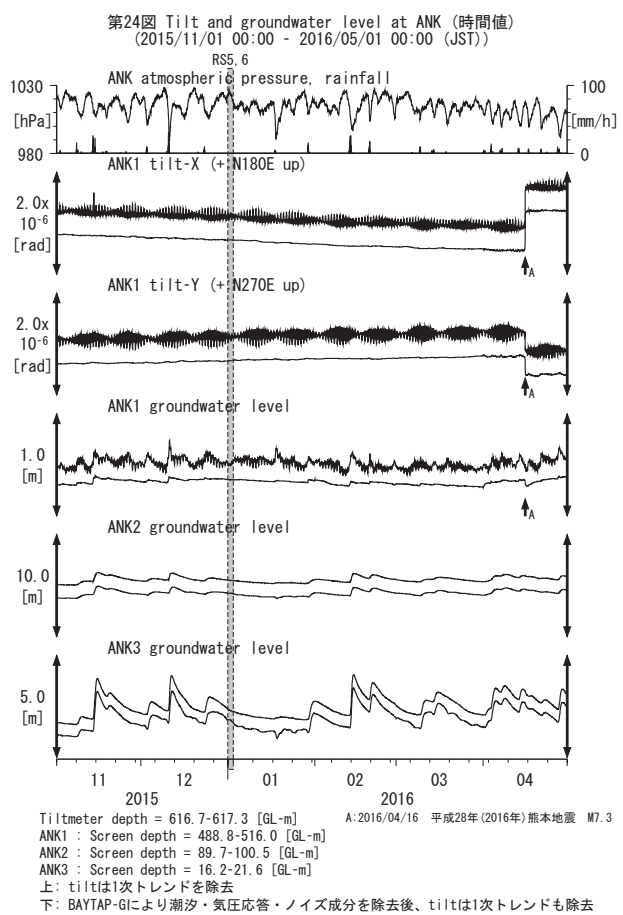
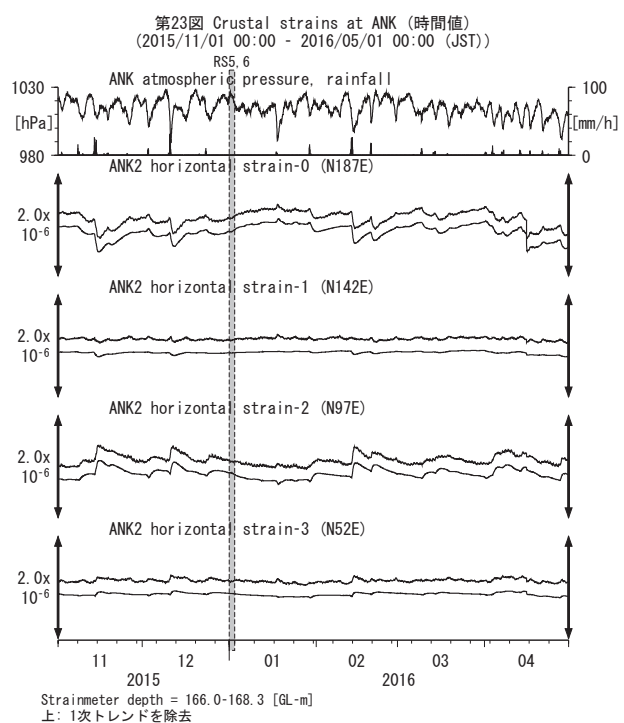
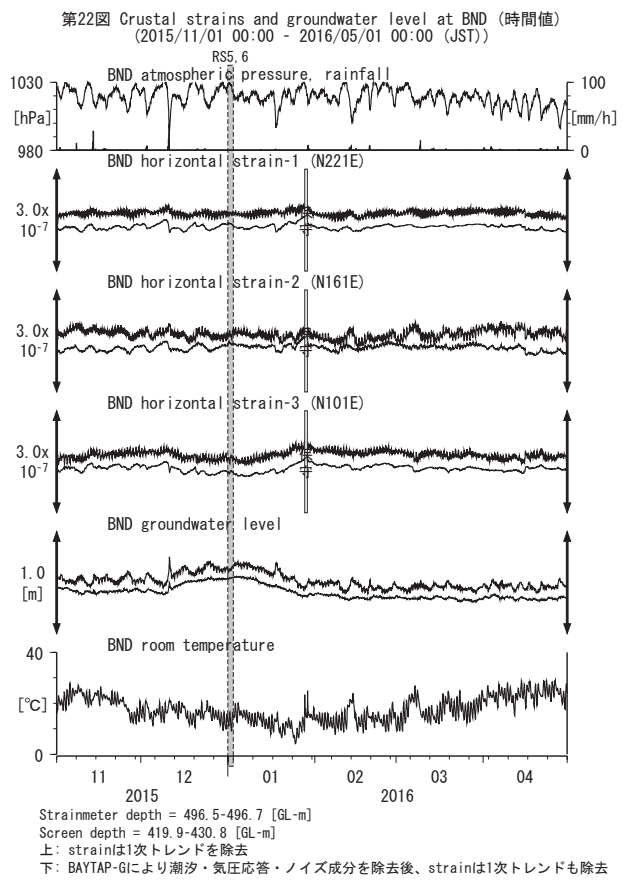
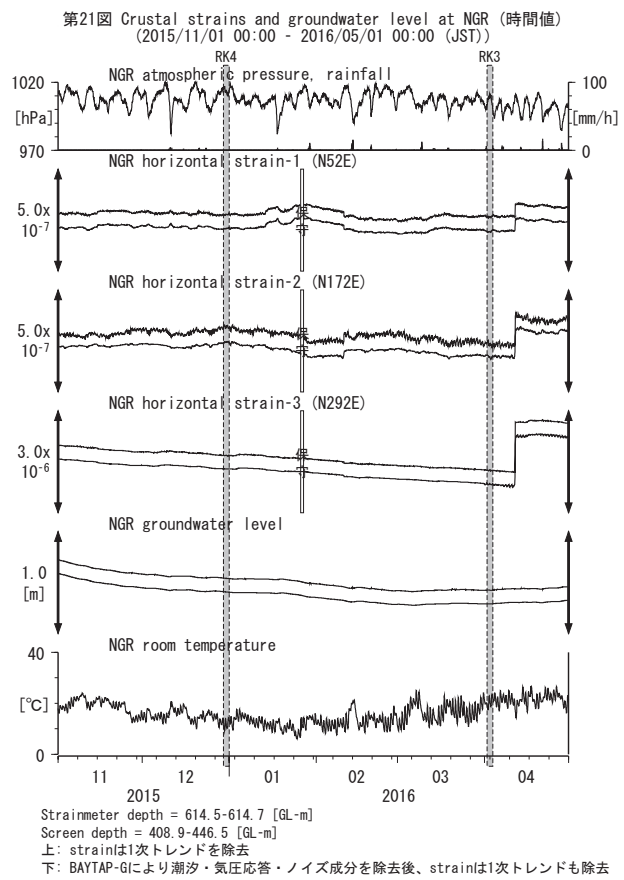
上: 1次トレンドを除去  
下: BAYTAP-Gにより潮汐・気圧応答・ノイズ成分を除去後、1次トレンドも除去

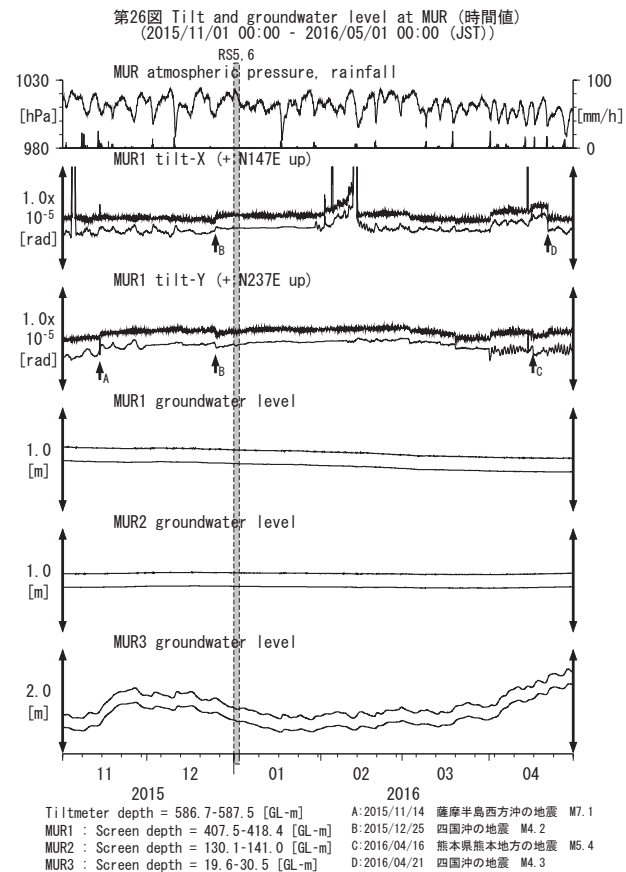
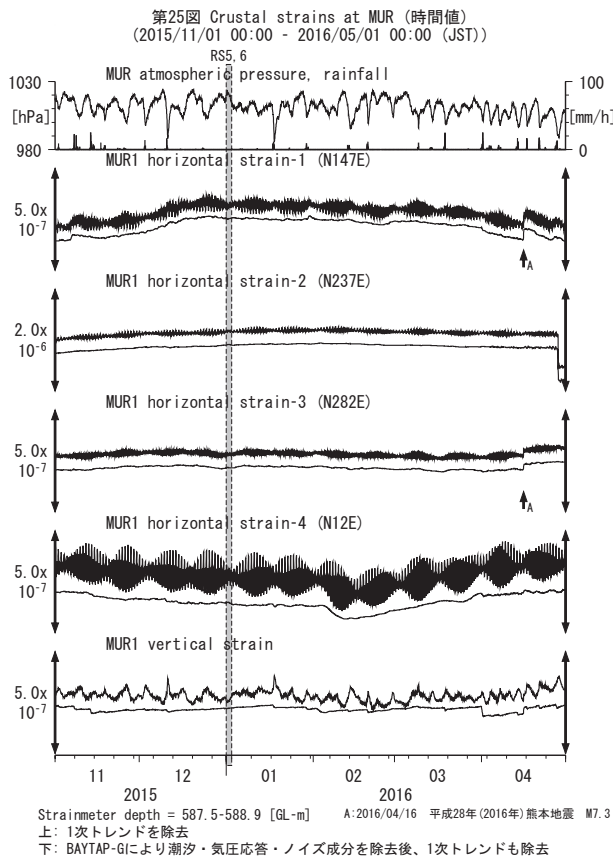




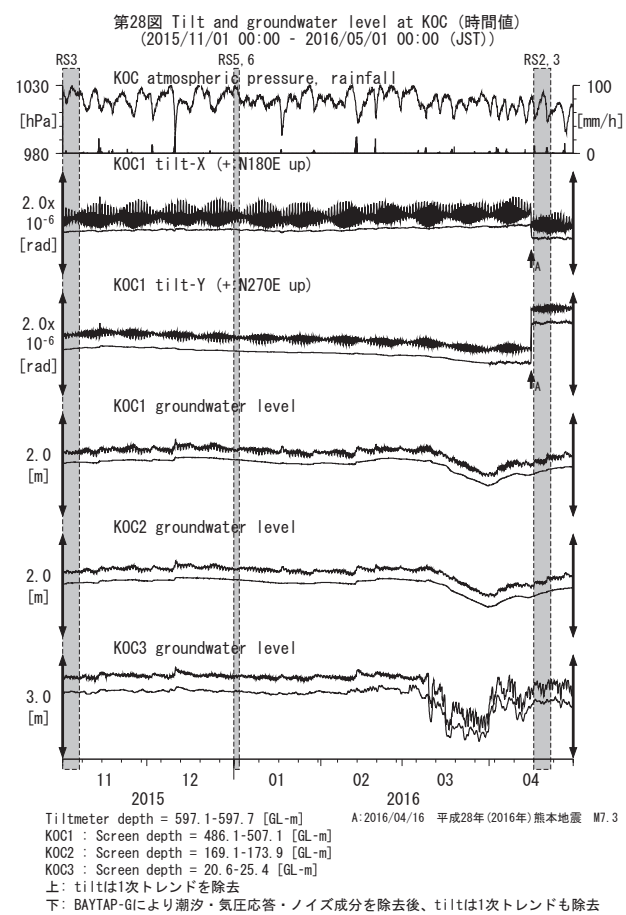
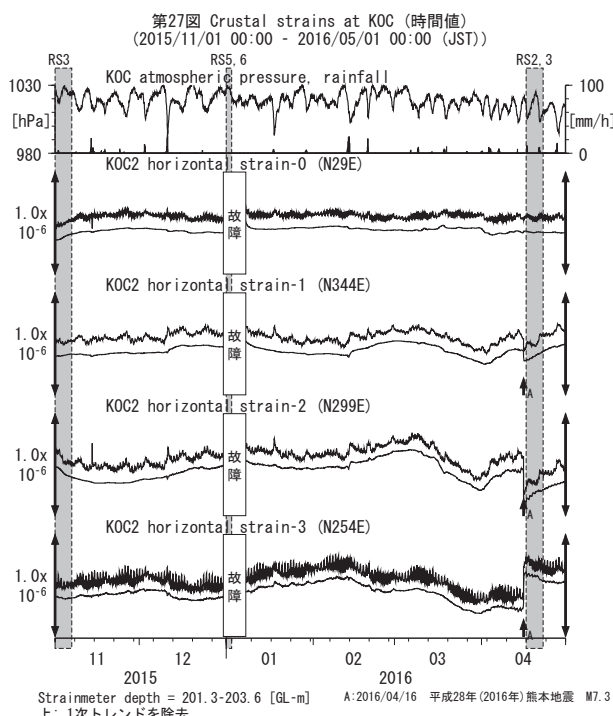




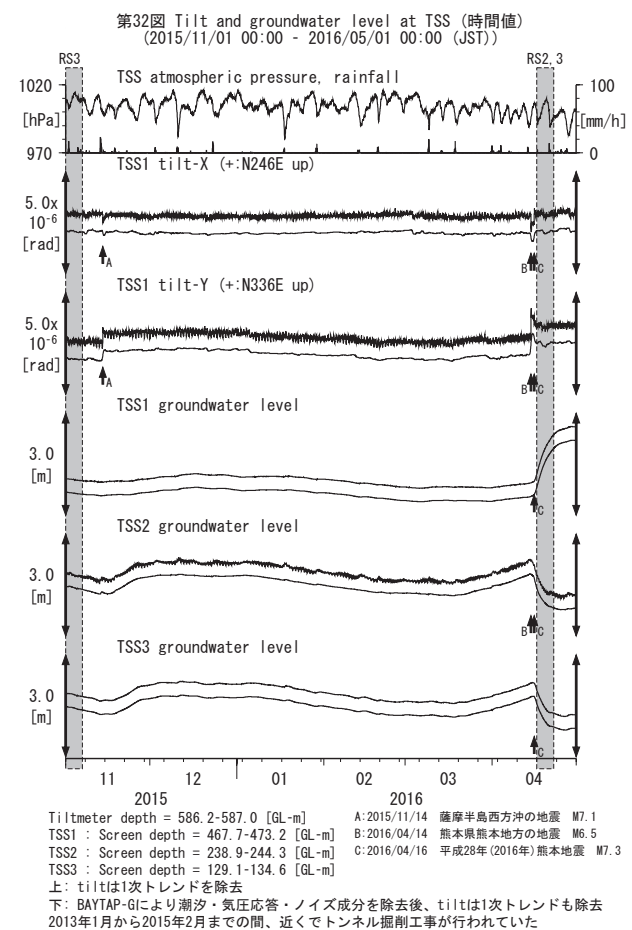
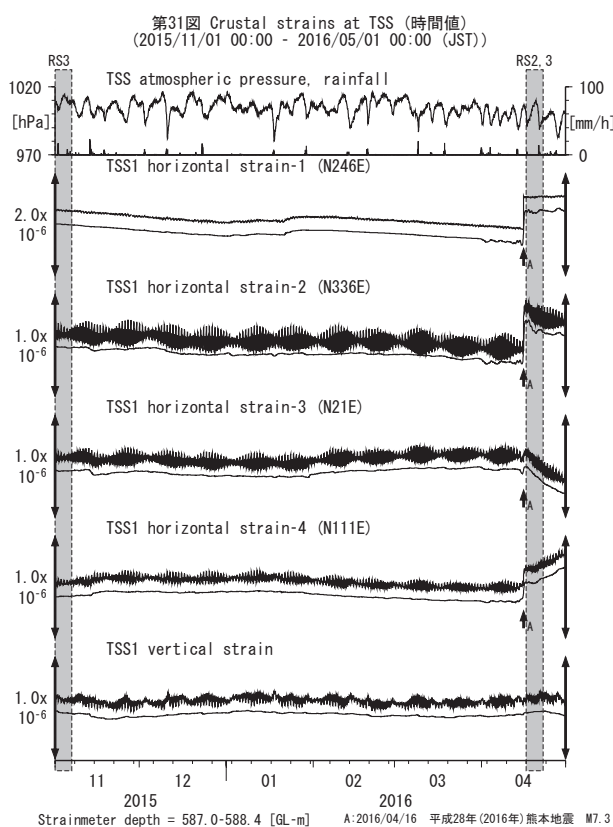
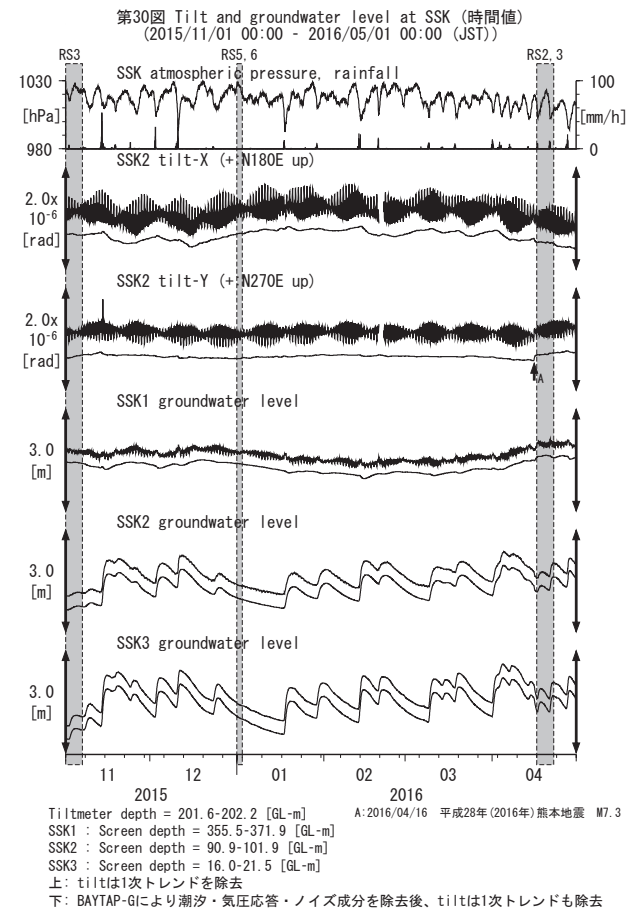
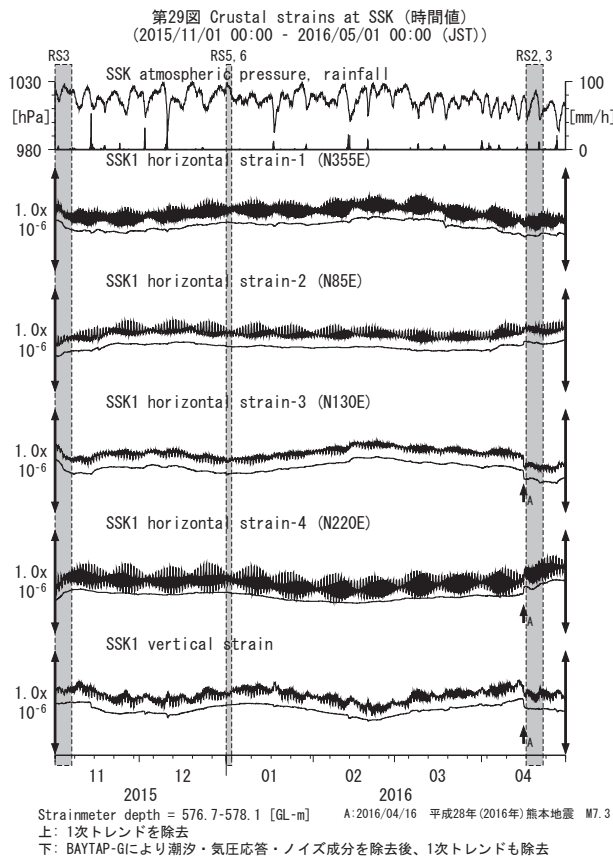


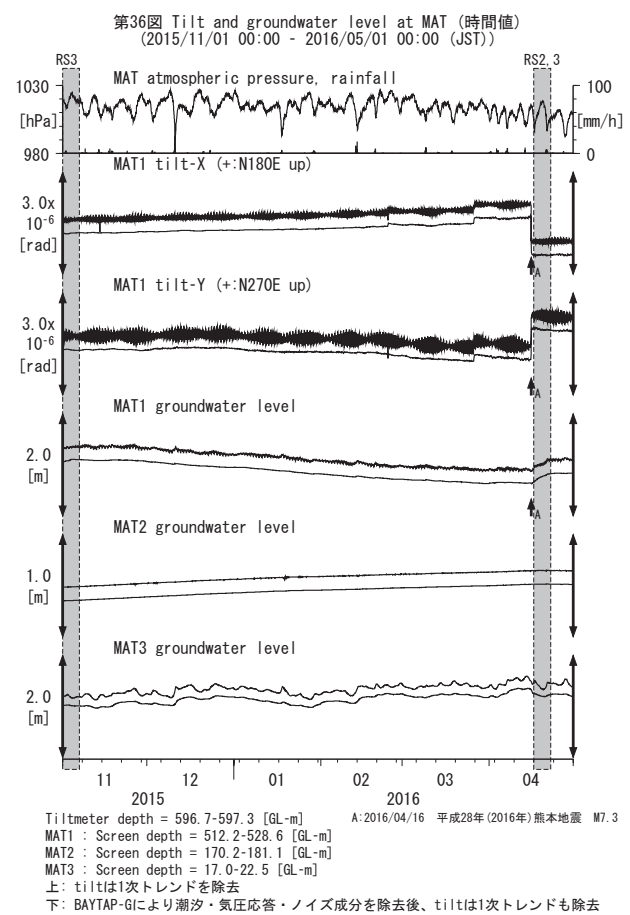
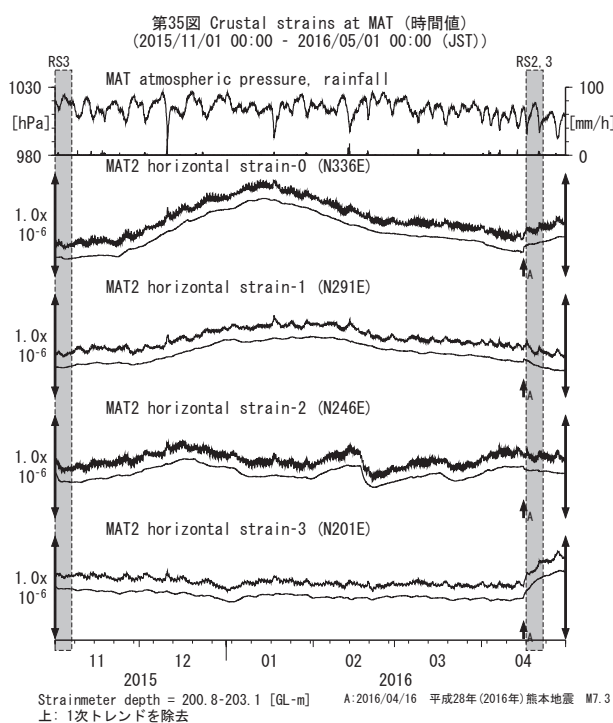
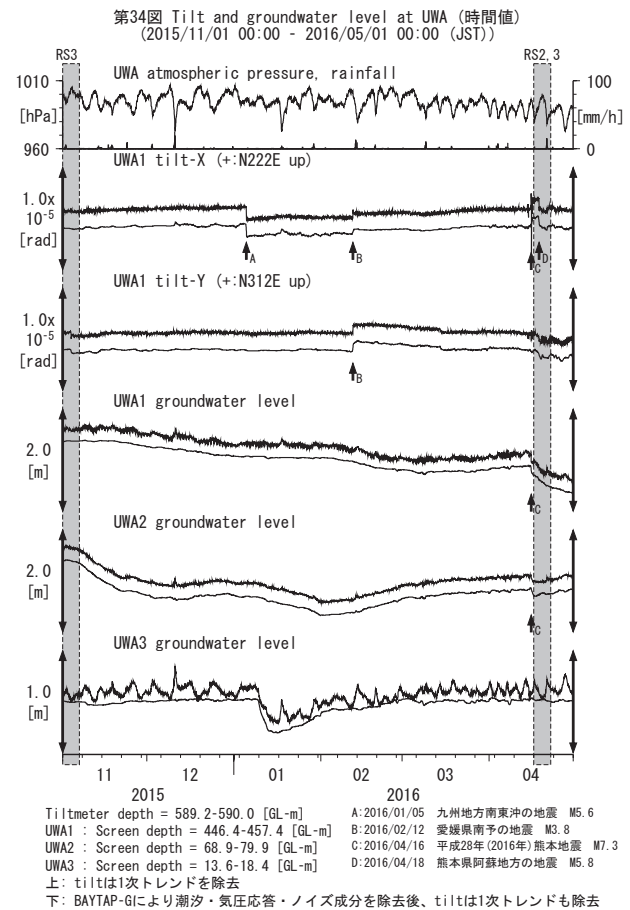
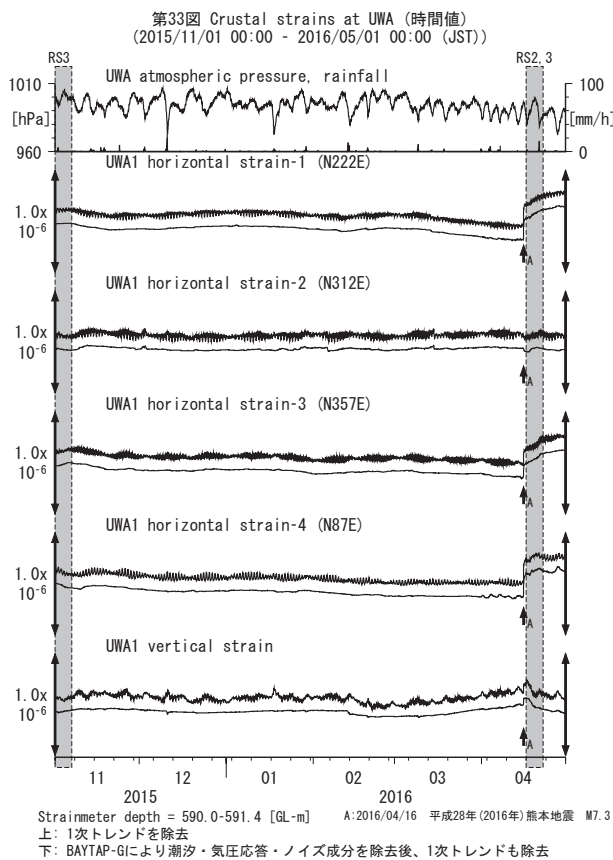


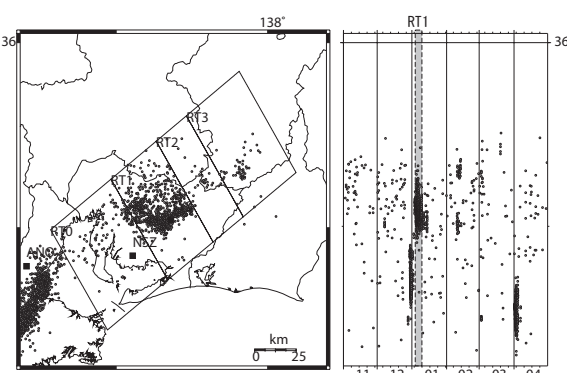
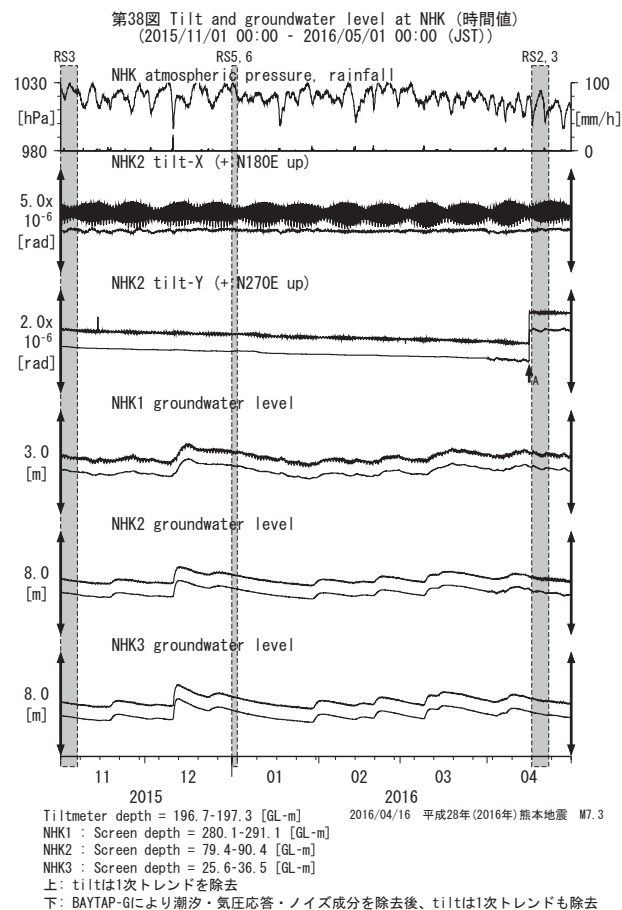
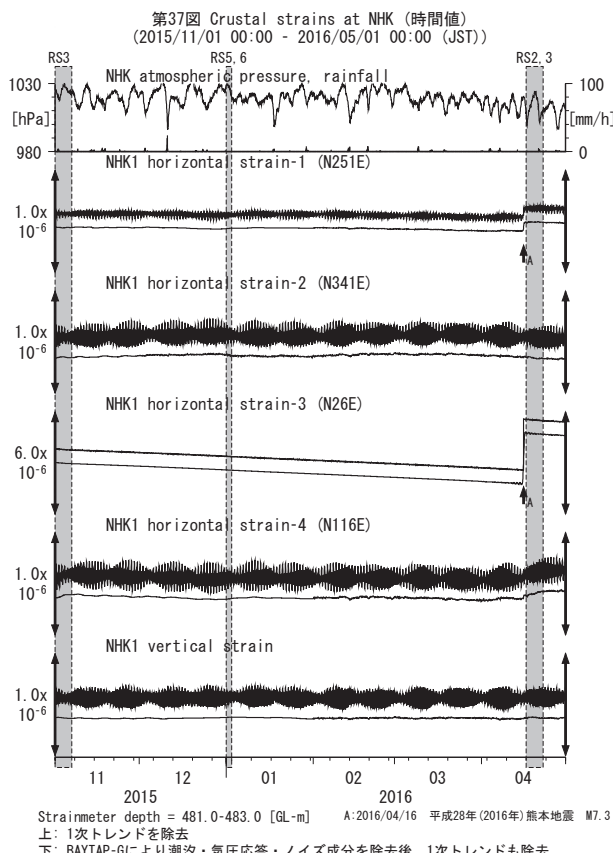
上: tiltは1次トレンドを除去  
下: BAYTAP-GIにより潮汐・気圧応答・ノイズ成分を除去後、tiltは1次トレンドも除去



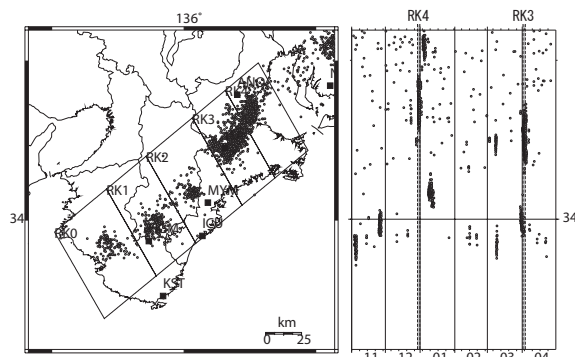
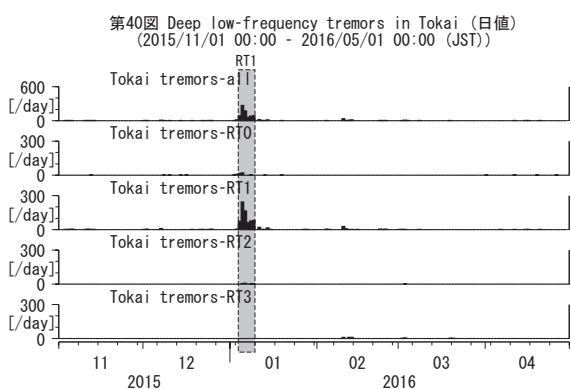
上: tiltは1次トレンドを除去  
下: BAYTAP-GIにより潮汐・気圧応答・ノイズ成分を除去後、tiltは1次トレンドも除去



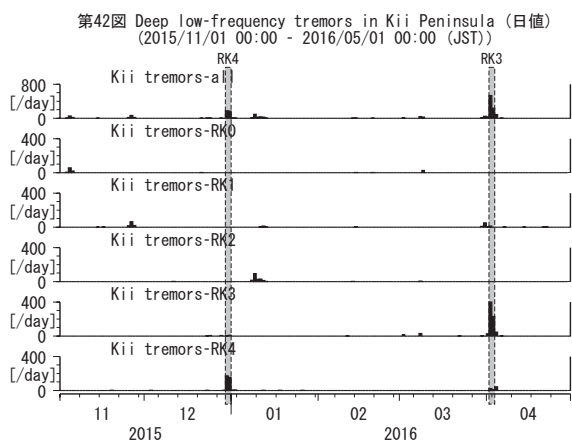


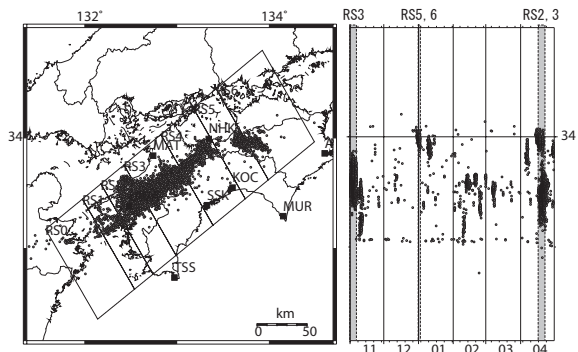


第39図 東海地方における深部低周波微動の時空間分布図(産総研による決定)

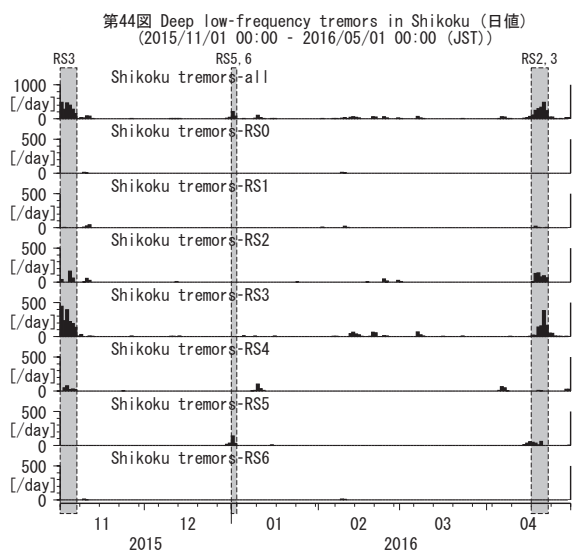


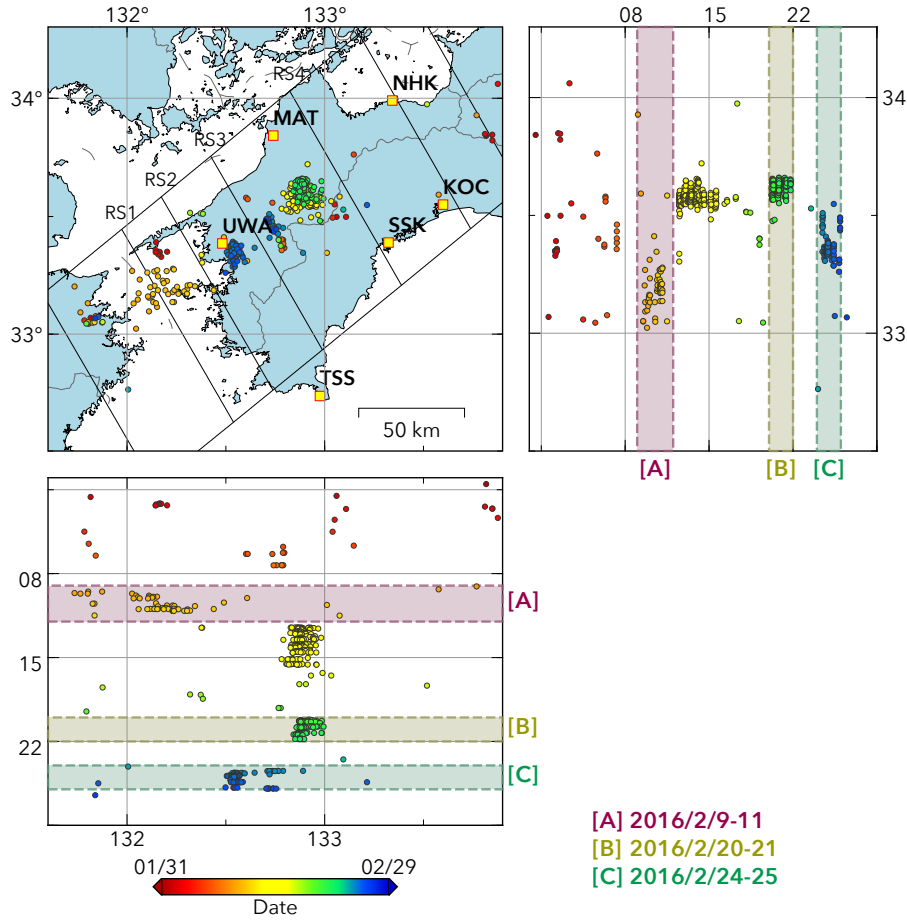
第41図 紀伊半島における深部低周波微動の時空間分布図(産総研による決定)





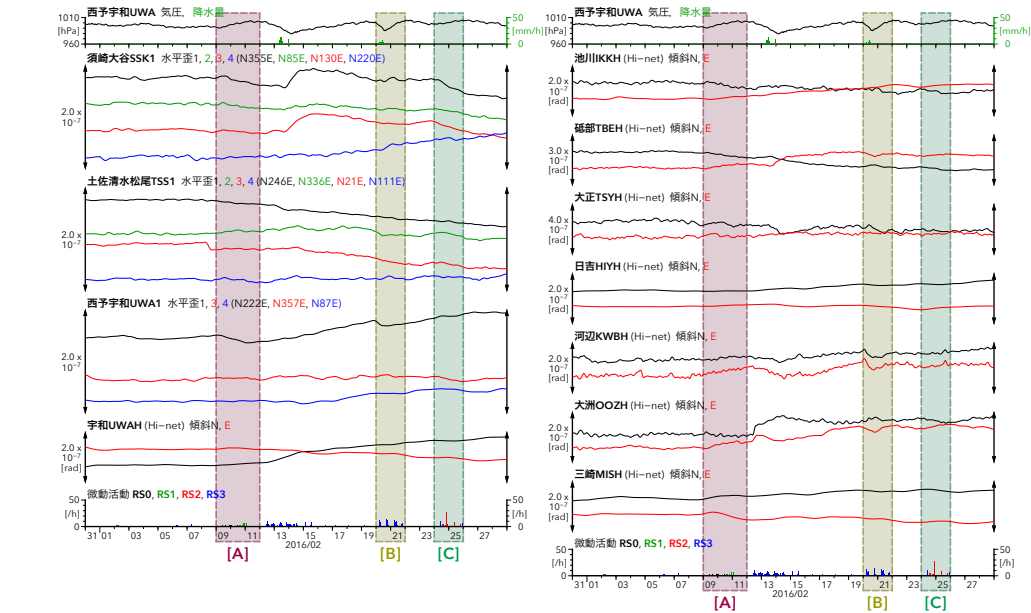
第43図 四国地方における深部低周波微動の時空間分布図(産総研による決定)





第45図 2016/1/31 0:00-2/29 0:00の四国地方における深部低周波微動の時空間分布図。  
 エンベロープ相関法により決定。

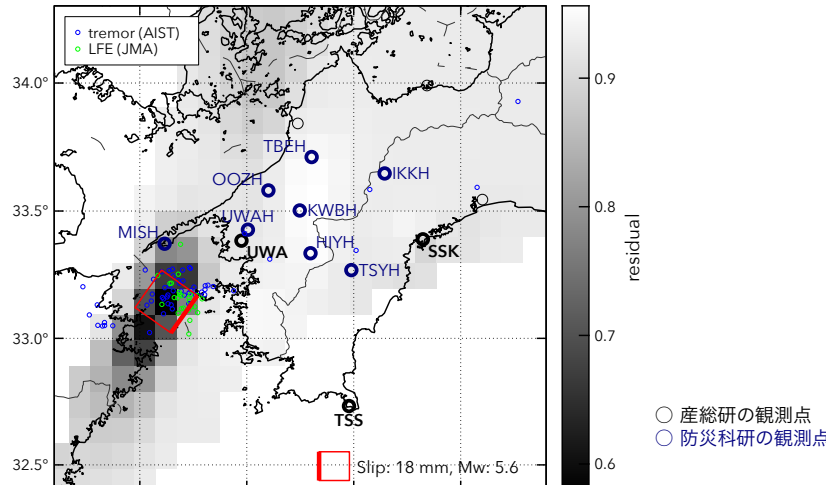
(観測点名) UWA: 西予宇和, MAT: 松山南江戸, TSS: 土佐清水松尾, SSK: 須崎大谷,  
 NHK: 新居浜黒島, KOC: 高知五台山



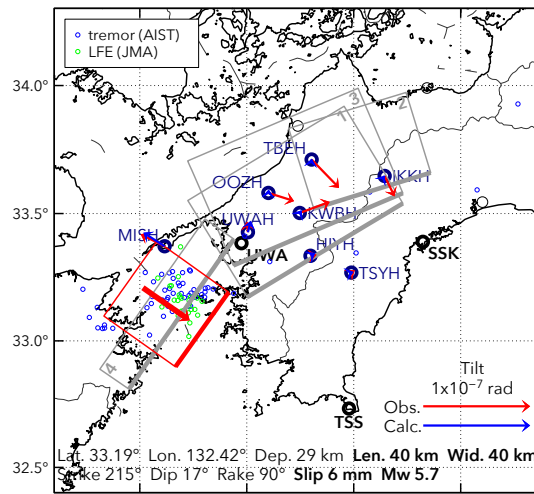
第46図 四国地方における歪・傾斜観測結果(2016/1/31 0:00 - 2/29 0:00 (JST))

[A] 2016/2/9-11

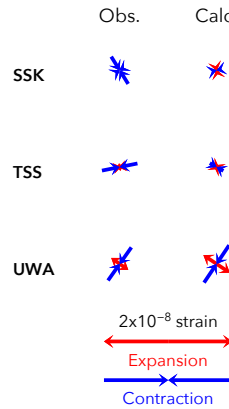
(a) 断層の大きさを固定した場合の断層モデルと残差分布



(b1) 推定された断層モデル

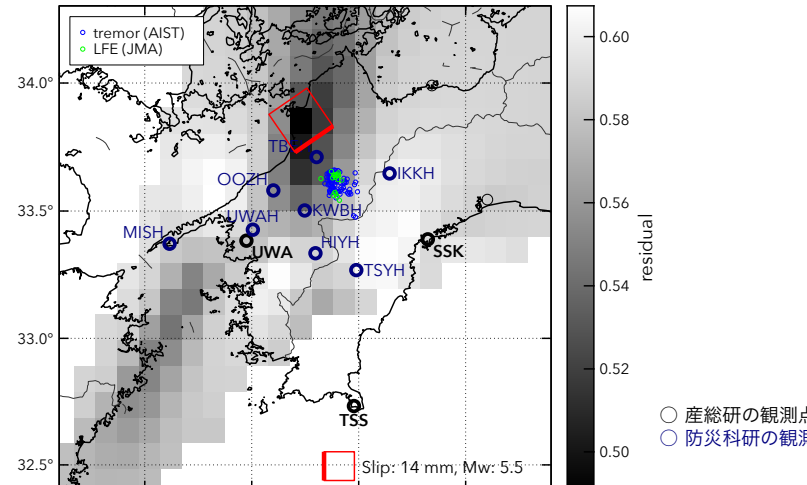


(b2) 主歪の比較

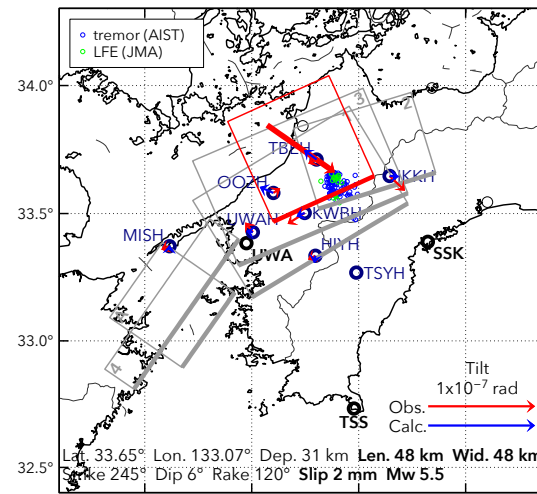


[B] 2016/2/20-21

(a) 断層の大きさを固定した場合の断層モデルと残差分布



(b1) 推定された断層モデル



第47図 2016/2/9-11の歪・傾斜変化（第46図[A]）を説明する断層モデル。

(a) プレート境界面に沿って分布させた 20x20 km (大きさ固定) の矩形断層面に対して、おののの断層面で最適なすべり量を選んだときの残差の総和をその断層面の位置に示した分布図。赤色矩形が残差の総和が最小となる断層面。

(b1)(a)の断層面付近をグリッドサーチして推定した断層面（赤色矩形）と断層パラメータ。矢印は傾斜の観測値と計算値の比較。灰色矩形は最近周辺で発生した短期的SSEの推定断層面。

1:2015/10/29-11 (Mw 5.8), 2:2015/11/2-3 (Mw 5.9), 3:2015/11/4-6 (Mw 5.9), 4:2015/11/9-11 (Mw 5.8)

(b2) 主歪の観測値と(b1)に示した断層モデルから求めた計算値との比較。

第48図 2016/2/20-21の歪・傾斜変化（第46図[B]）を説明する断層モデル。

(a) プレート境界面に沿って分布させた 20x20 km (大きさ固定) の矩形断層面に対して、おののの断層面で最適なすべり量を選んだときの残差の総和をその断層面の位置に示した分布図。赤色矩形が残差の総和が最小となる断層面。

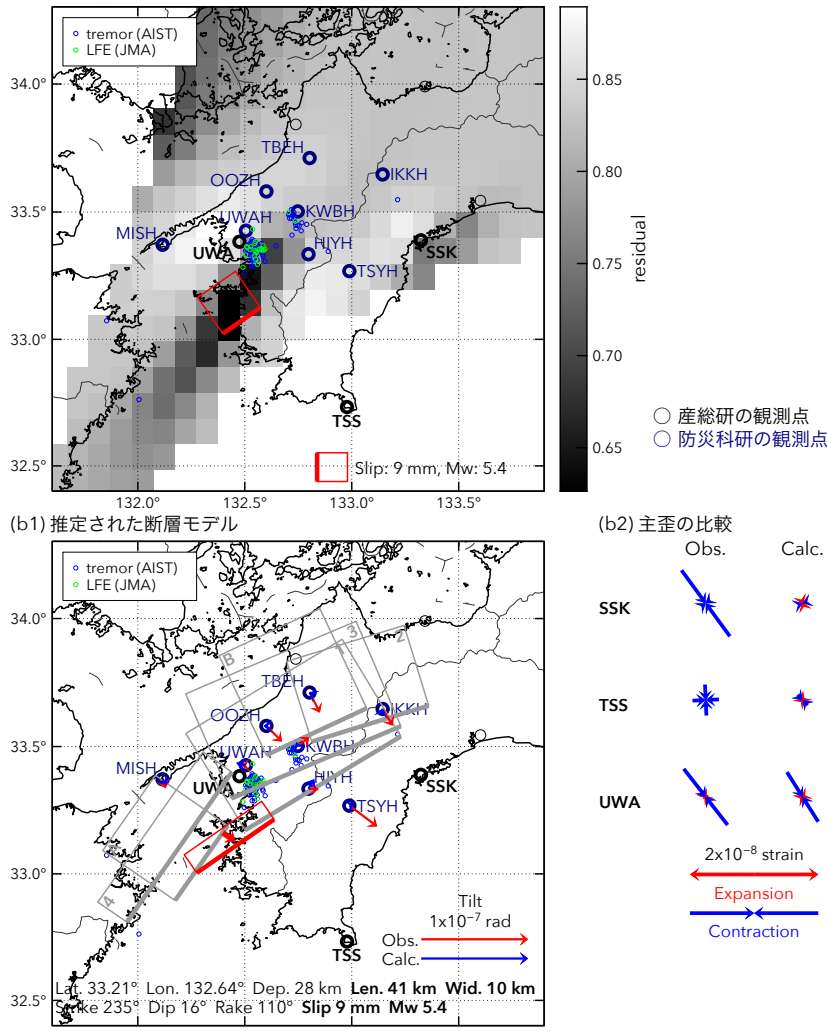
(b1)(a)の断層面付近をグリッドサーチして推定した断層面（赤色矩形）と断層パラメータ。矢印は傾斜の観測値と計算値の比較。灰色矩形は最近周辺で発生した短期的SSEの推定断層面。

1:2015/10/29-11 (Mw 5.8), 2:2015/11/2-3 (Mw 5.9), 3:2015/11/4-6 (Mw 5.9), 4:2015/11/9-11 (Mw 5.8),  
A: 2016/2/9-11 (Mw 5.7)

(b2) 主歪の観測値と(b1)に示した断層モデルから求めた計算値との比較。

[C] 2016/2/24-25

(a) 断層の大きさを固定した場合の断層モデルと残差分布



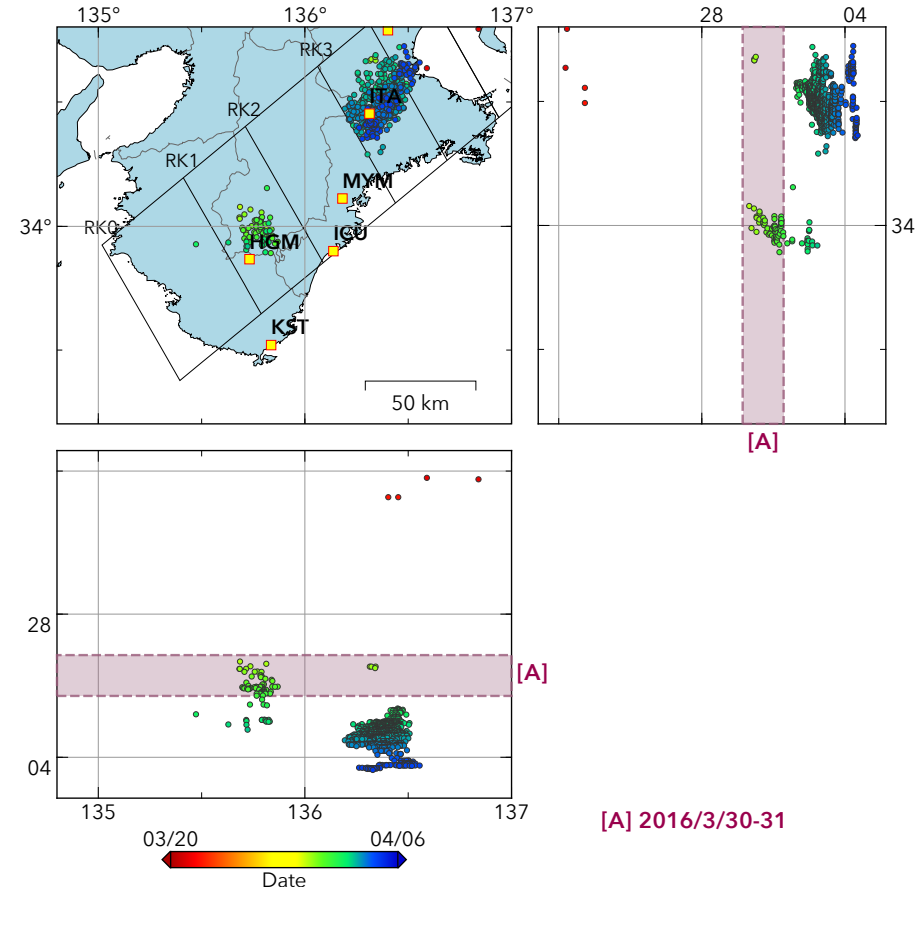
第49図 2016/2/24-25の歪・傾斜変化（第46図[C]）を説明する断層モデル。

(a) プレート境界面に沿って分布させた 20x20 km (大きさ固定) の矩形断層面に対して、おののの断層面で最適なすべり量を選んだときの残差の総和をその断層面の位置に示した分布図。赤色矩形が残差の総和が最小となる断層面。

(b1)(a)の断層面付近をグリッドサーチして推定した断層面（赤色矩形）と断層パラメータ。矢印は傾斜の観測値と計算値の比較。灰色矩形は最近周辺で発生した短期的SSEの推定断層面。

1:2015/10/29-11/1 (Mw 5.8), 2:2015/12/3 (Mw 5.9), 3:2015/11/4-6 (Mw 5.9), 4:2015/11/9-11 (Mw 5.8),  
A:2016/2/9-11 (Mw 5.7), B:2016/2/20-21 (Mw 5.5)

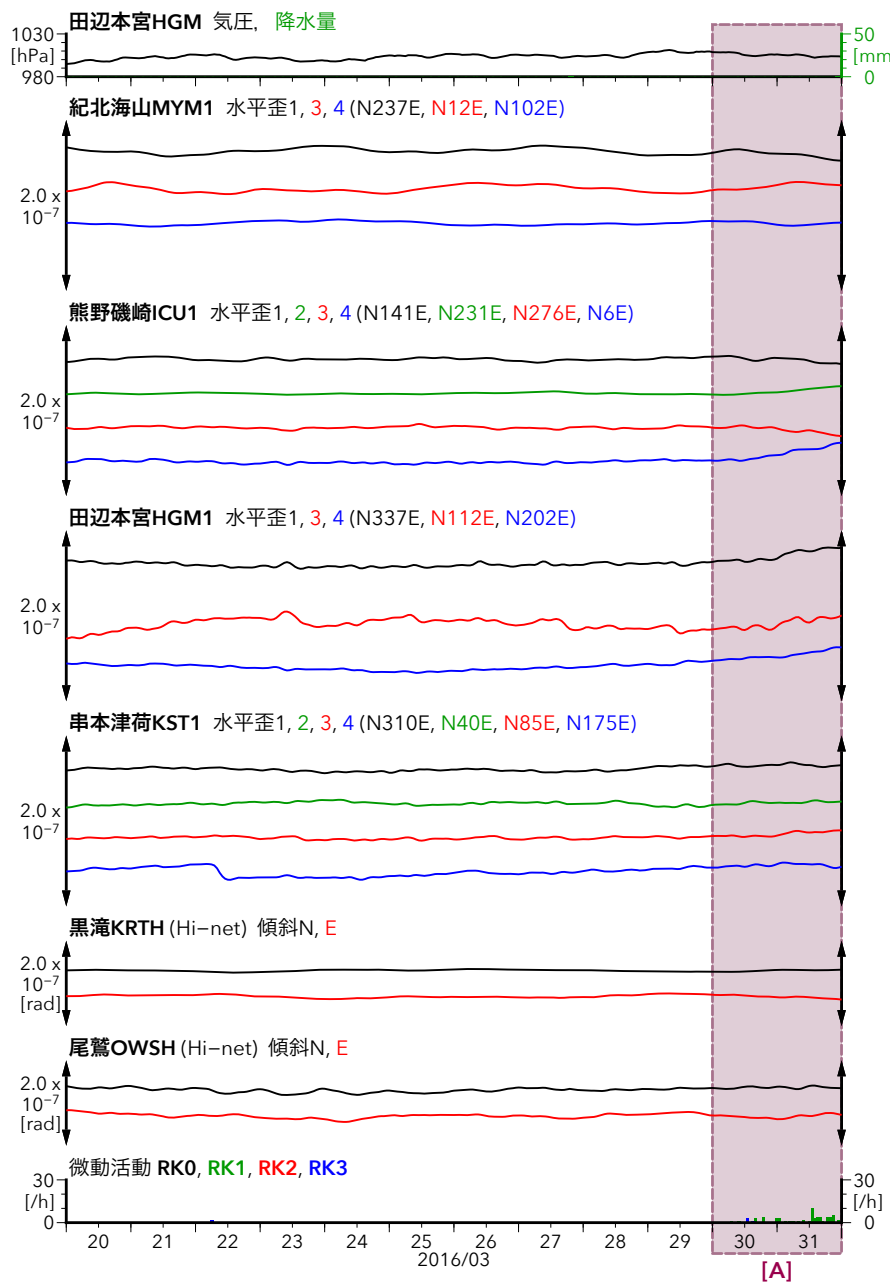
(b2) 主歪の観測値と(b1)に示した断層モデルから求めた計算値との比較。



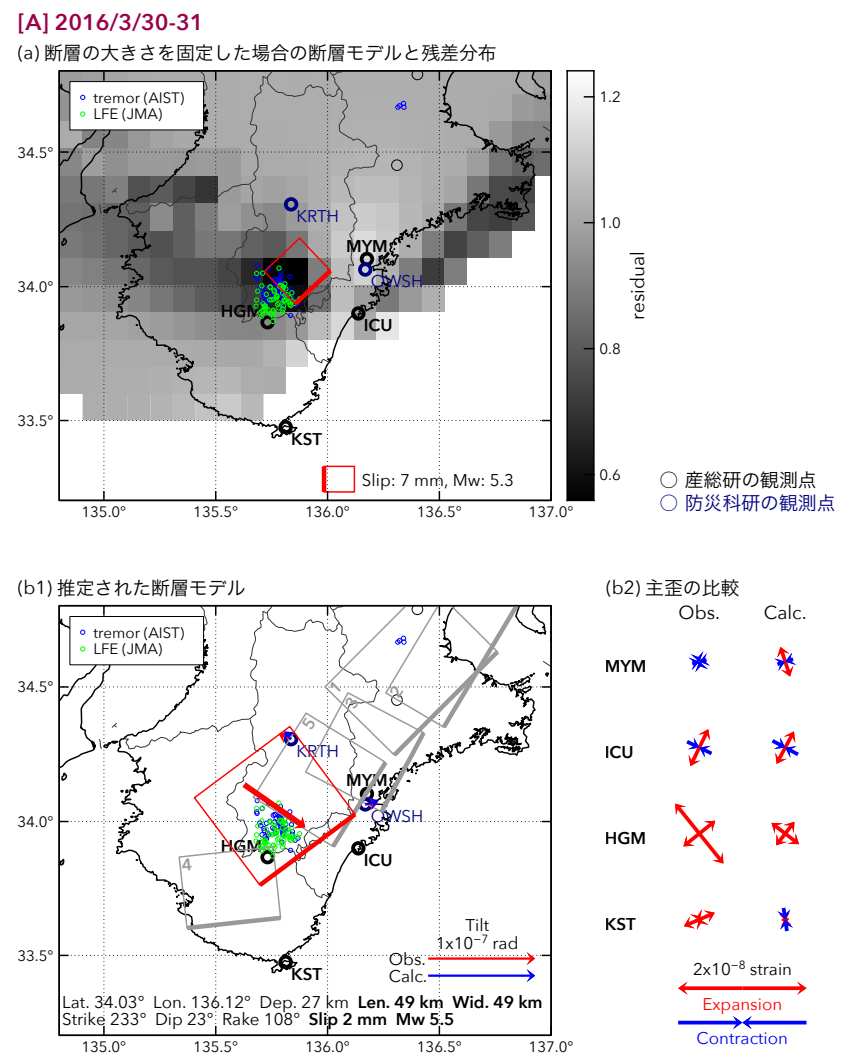
第50図 2016/3/20 0:00-4/6 0:00の紀伊半島における深部低周波微動の時空間分布図。

エンベロープ相関法により決定。

(観測点名) ITA: 松阪飯高, MYM: 紀北海山, ICU: 熊野磯崎, HGM: 田辺本宮, KST: 串本津荷

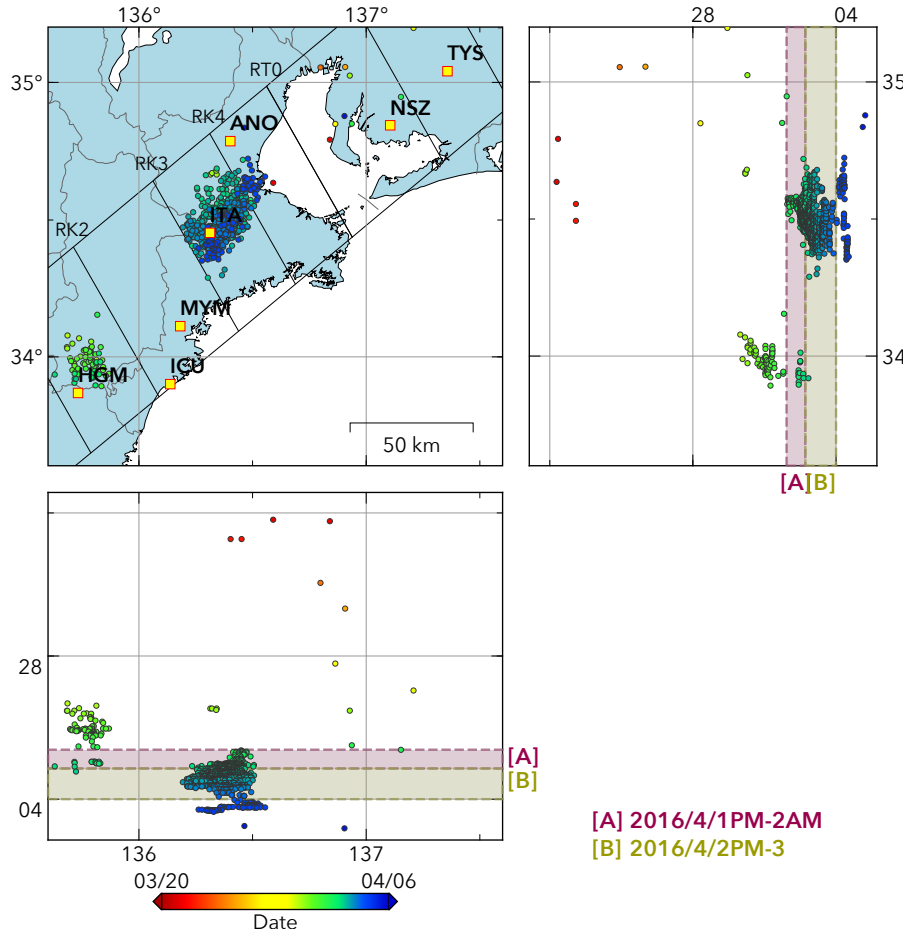


第51図 紀伊半島における歪・傾斜観測結果 (2016/3/20 0:00 - 2016/4/1 0:00 (JST))



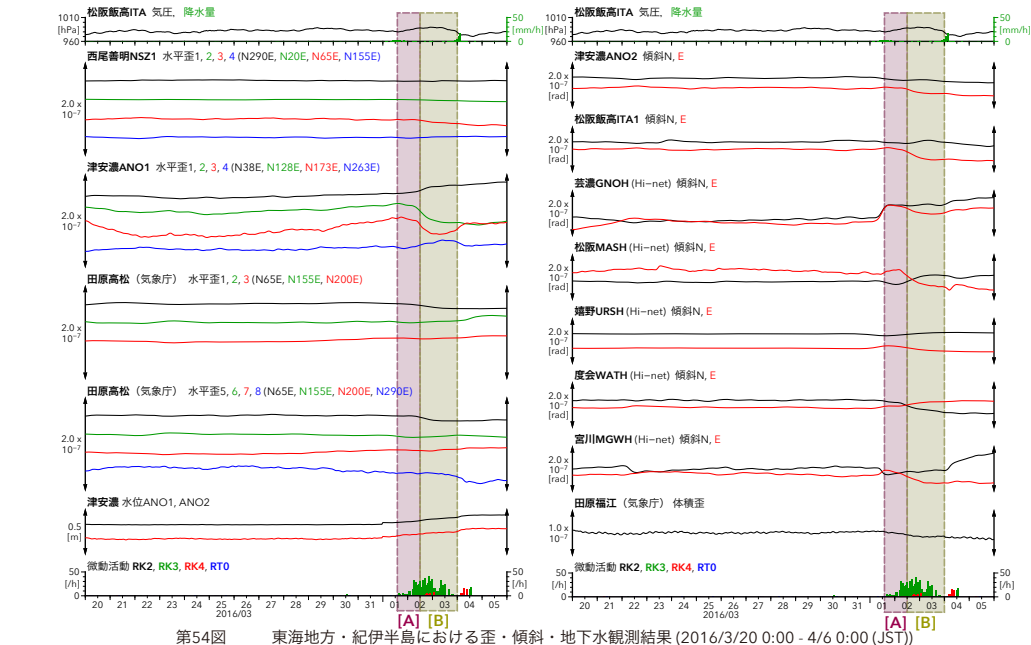
第52図 2016/3/30-31の歪・傾斜変化（第51図[A]）を説明する断層モデル。

- (a) プレート境界面に沿って分布させた 20x20 km (大きさ固定) の矩形断層面に対して、おのおのの断層面で最適なすべり量を選んだときの残差の総和をその断層面の位置に示した分布図。赤色矩形が残差の総和が最小となる断層面。
- (b1) (a)の断層面付近をグリッドサーチして推定した断層面（赤色矩形）と断層パラメータ。矢印は傾斜の観測値と計算値の比較。灰色矩形は最近周辺で発生した短期的SSEの推定断層面。  
 1:2015/7/18-19 (Mw 5.5), 2:2015/7/20-25 (Mw 5.6), 3:2015/10/25-27 (Mw 5.8), 4:2015/11/3-5 (Mw 5.4),  
 5:2016/1/9-12 (Mw 5.7)
- (b2) 主歪の観測値と(b1)に示した断層モデルから求めた計算値との比較。



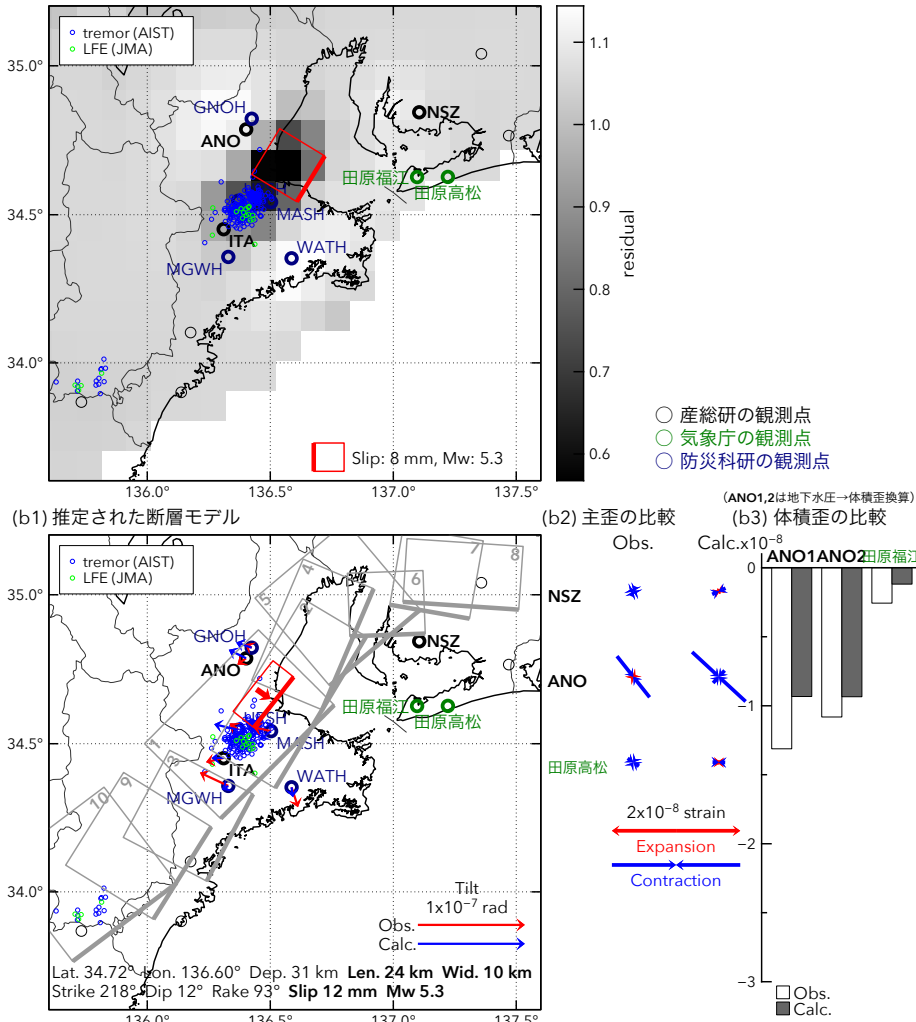
第53図 2016/3/20 0:00-4/6 0:00の東海地方・紀伊半島における深部低周波微動の時空間分布図。エンベロープ相関法により決定。

(観測点名) TYS: 豊田神殿, NSZ: 西尾善明, ANO: 津安濃, ITA: 松阪飯高,  
MYM: 紀北海山, ICU: 熊野磯崎, HGM: 田辺本宮



## [A] 2016/4/1PM-2AM

(a) 断層の大きさを固定した場合の断層モデルと残差分布



第55図 2016/4/1PM-2AMの歪・傾斜・地下水変化（第54図[A]）を説明する断層モデル。

(a) プレート境界面に沿って分布させた 20x20 km (大きさ固定) の矩形断層面に対して、おののの断層面で最適なずれ量を選んだときの残差の総和をその断層面の位置に示した分布図。赤色矩形が残差の総和が最小となる断層面。

(b1)(a)の断層面付近をグリッドサーチして推定した断層面（赤色矩形）と断層パラメータ。矢印は傾斜の観測値と計算値の比較。灰色矩形は最近周辺で発生した短期的SSEの推定断層面。

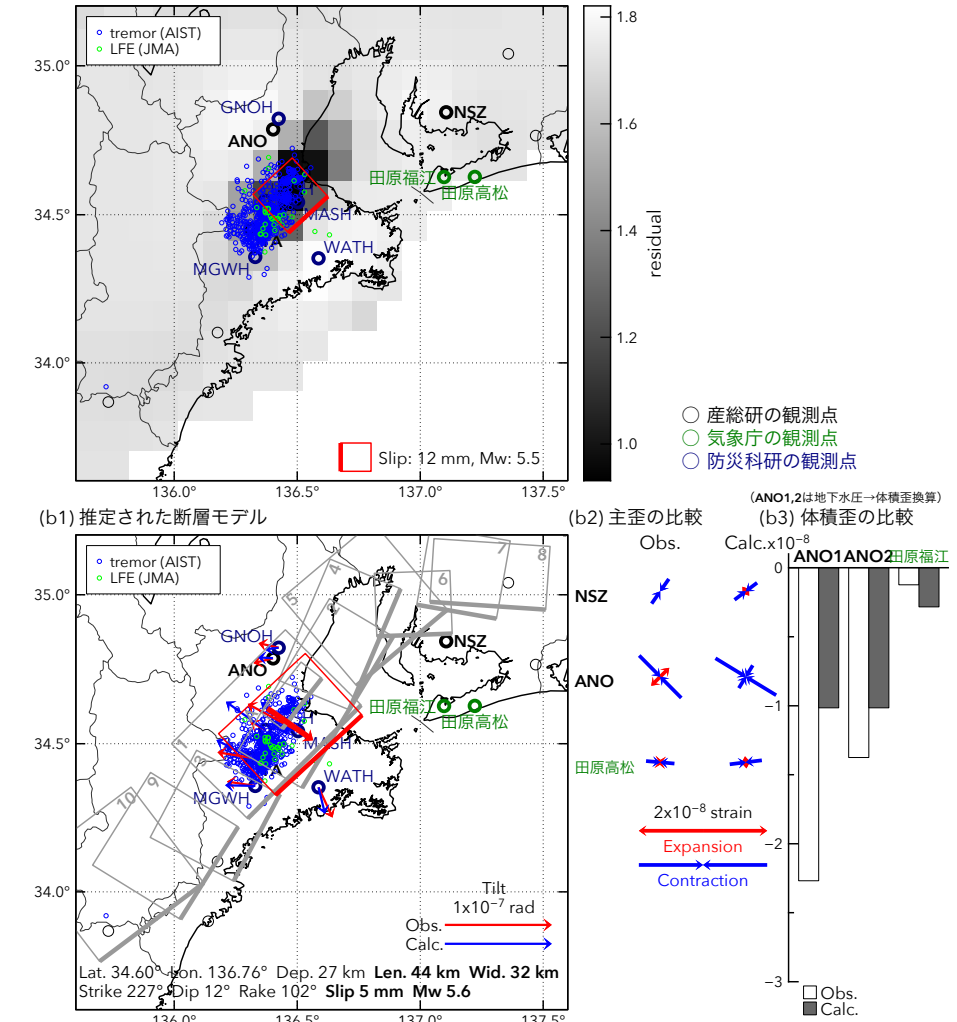
1: 2015/7/18-19 (Mw 5.5), 2: 2015/7/20-25 (Mw 5.6), 3: 2015/10/25-27 (Mw 5.8), 4: 2015/12/30-31 (Mw 5.7),  
5: 2016/1/1-2 (Mw 5.7), 6: 2016/1/3-4 (Mw 5.6), 7: 2016/1/5-6 (Mw 5.7), 8: 2016/1/7-9 (Mw 5.4),  
9: 2016/1/9-12 (Mw 5.7), 10: 2016/3/30-31 (Mw 5.5)

(b2) 主歪の観測値と(b1)に示した断層モデルから求めた計算値との比較。

(b3) 体積歪の観測値と(b1)に示した断層モデルから求めた計算値との比較。

## [B] 2016/4/2PM-3

(a) 断層の大きさを固定した場合の断層モデルと残差分布



第56図 2016/4/2PM-3の歪・傾斜・地下水変化（第54図[B]）を説明する断層モデル。

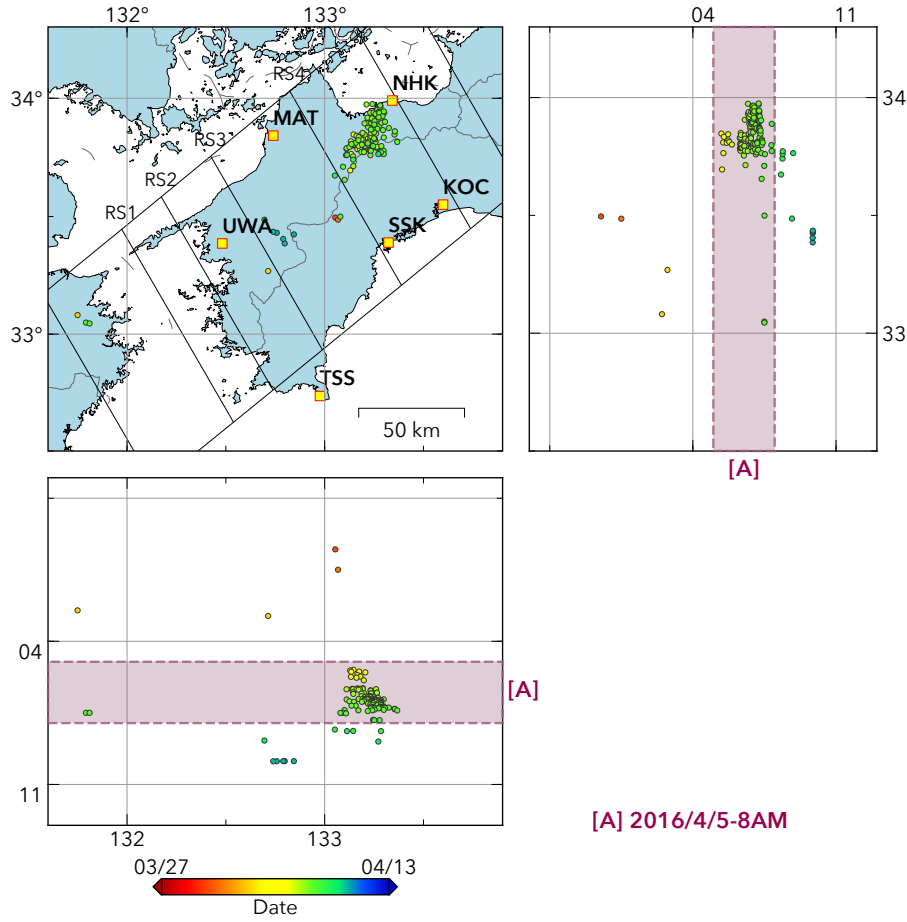
(a) プレート境界面に沿って分布させた 20x20 km (大きさ固定) の矩形断層面に対して、おののの断層面で最適なずれ量を選んだときの残差の総和をその断層面の位置に示した分布図。赤色矩形が残差の総和が最小となる断層面。

(b1)(a)の断層面付近をグリッドサーチして推定した断層面（赤色矩形）と断層パラメータ。矢印は傾斜の観測値と計算値の比較。灰色矩形は最近周辺で発生した短期的SSEの推定断層面。

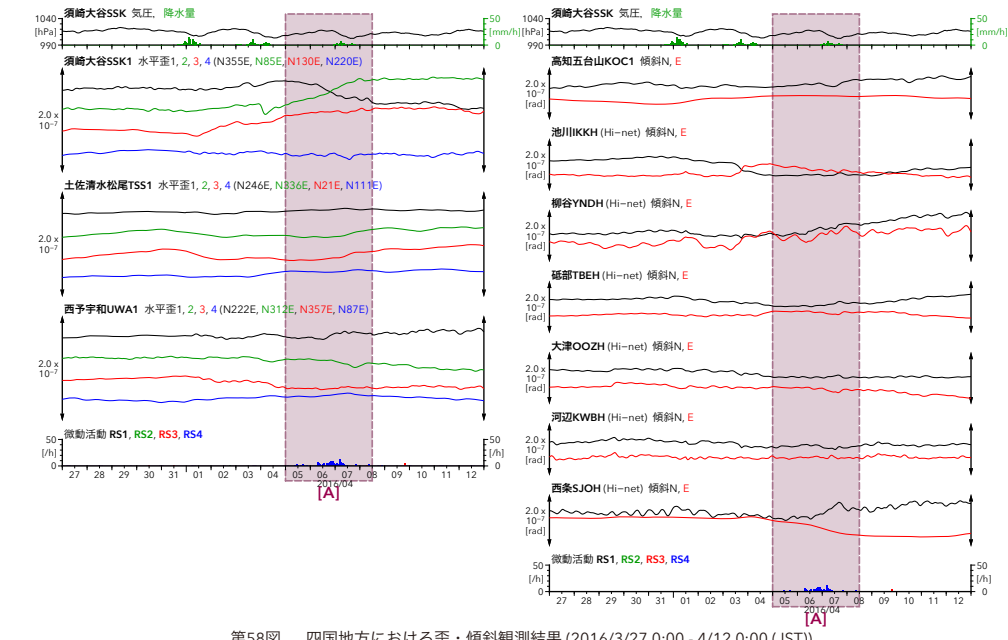
1: 2015/7/18-19 (Mw 5.5), 2: 2015/7/20-25 (Mw 5.6), 3: 2015/10/25-27 (Mw 5.8), 4: 2015/12/30-31 (Mw 5.7),  
5: 2016/1/1-2 (Mw 5.7), 6: 2016/1/3-4 (Mw 5.6), 7: 2016/1/5-6 (Mw 5.7), 8: 2016/1/7-9 (Mw 5.4),  
9: 2016/1/9-12 (Mw 5.7), 10: 2016/3/30-31 (Mw 5.5), A: 2016/4/1PM-2AM (Mw 5.3)

(b2) 主歪の観測値と(b1)に示した断層モデルから求めた計算値との比較。

(b3) 体積歪の観測値と(b1)に示した断層モデルから求めた計算値との比較。



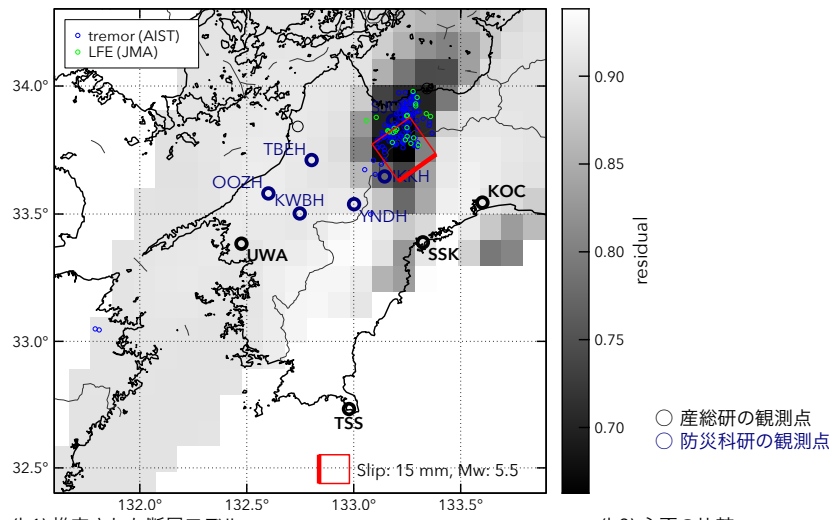
第57図 2016/3/27 0:00-4/13 0:00の四国地方における深部低周波微動の時空間分布  
図。エンベロープ相関法により決定。  
(観測点名) UWA: 西予宇和, MAT: 松山南江戸, TSS: 土佐清水松尾, SSK: 須崎大谷,  
NHK: 新居浜黒島, KOC: 高知五台山



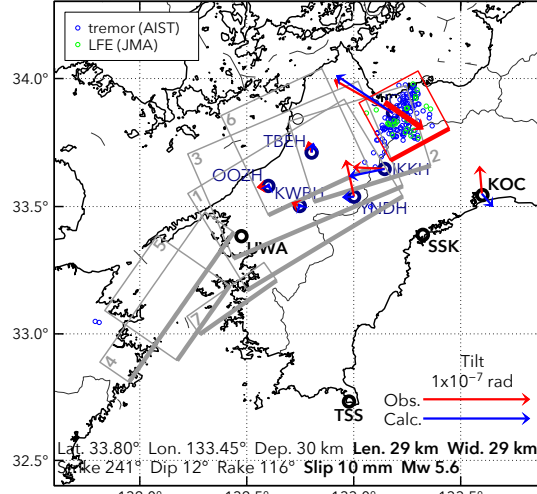
第58図 四国地方における歪・傾斜観測結果(2016/3/27 0:00 - 4/12 0:00 (JST))

## [A] 2016/4/5-8AM

(a) 断層の大きさを固定した場合の断層モデルと残差分布



(b1) 推定された断層モデル



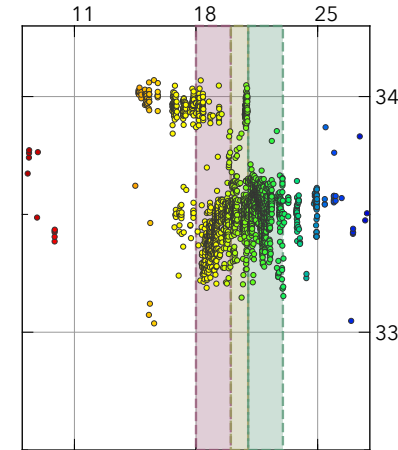
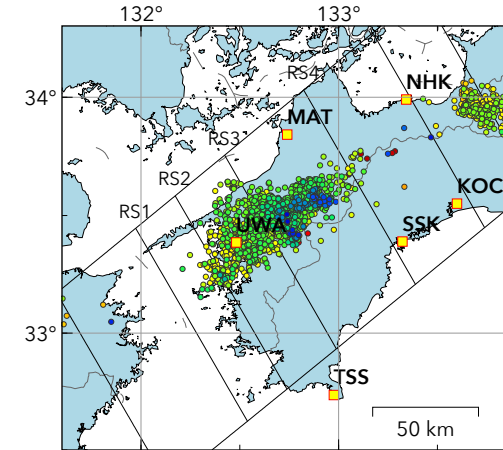
第59図 2016/4/5-8AMの歪・傾斜変化（第58図[A]）を説明する断層モデル。

(a) プレート境界面に沿って分布させた 20x20 km (大きさ固定) の矩形断層面に対して、おののの断層面で最適なすべり量を選んだときの残差の総和をその断層面の位置に示した分布図。赤色矩形が残差の総和が最小となる断層面。

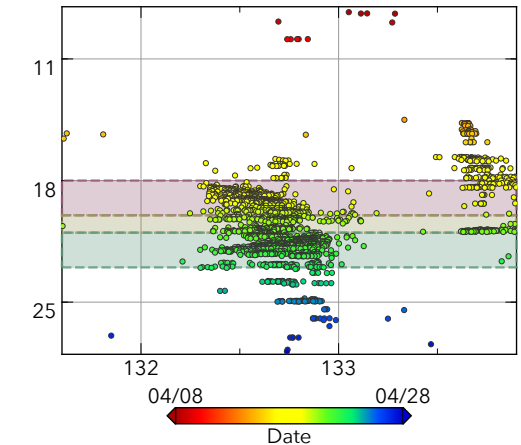
(b1)(a)の断層面付近をグリッドサーチして推定した断層面（赤色矩形）と断層パラメータ。矢印は傾斜の観測値と計算値の比較。灰色矩形は最近周辺で発生した短期的SSEの推定断層面。

1:2015/10/29-11/1 (Mw 5.8), 2:2015/11/2-3 (Mw 5.9), 3:2015/11/4-6 (Mw 5.9), 4:2015/11/9-11 (Mw 5.8),  
5:2016/2/9-11 (Mw 5.7), 6:2016/2/20-21 (Mw 5.5), 7:2016/2/24-25 (Mw 5.4)

(b2) 主歪の観測値と(b1)に示した断層モデルから求めた計算値との比較。



[A][B][C]



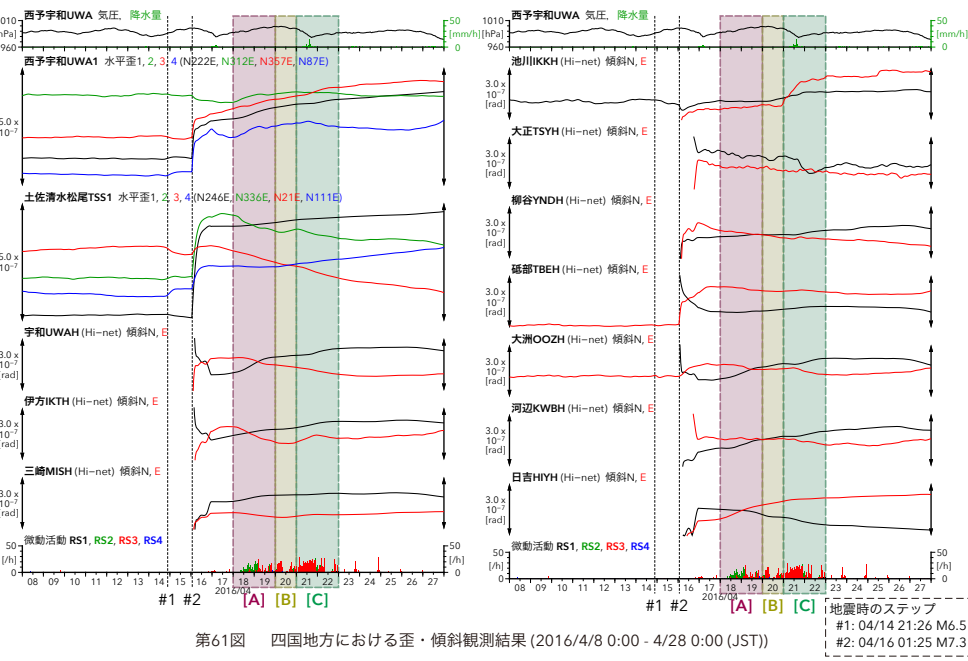
[A] 2016/4/18-19

[B] 2016/4/20

[C] 2016/4/21-22

第60図 2016/4/8 0:00-4/28 0:00の四国地方における深部低周波微動の時空間分布図。  
エンベロープ相関法により決定。

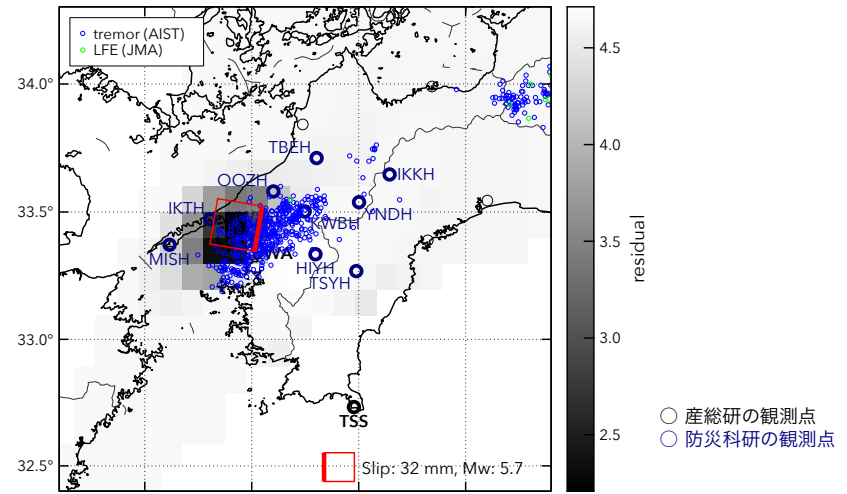
(観測点名) UWA: 西予宇和, MAT: 松山南江戸, TSS: 土佐清水松尾, SSK: 須崎大谷,  
NHK: 新居浜黒島, KOC: 高知五台山



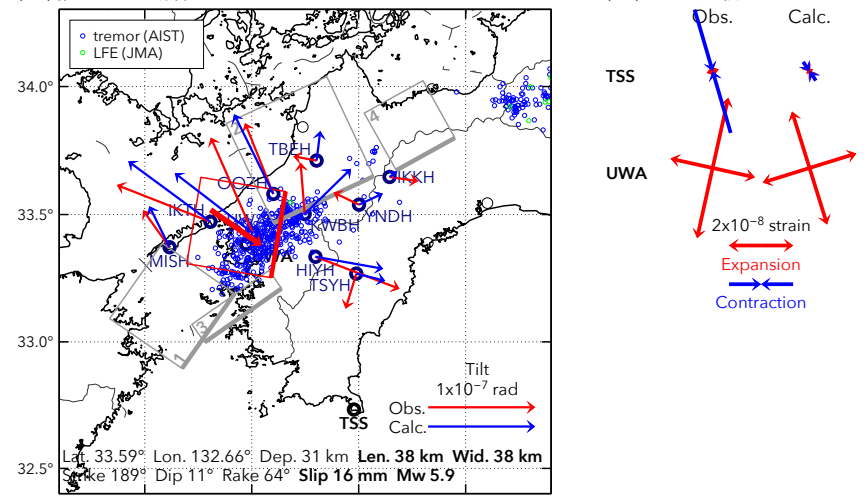
第61図 四国地方における歪・傾斜観測結果(2016/4/8 0:00 - 4/28 0:00 (JST))

[A] 2016/4/18-19

(a) 断層の大きさを固定した場合の断層モデルと残差分布



(b1) 推定された断層モデル



第62図 2016/4/18-19の歪・傾斜変化(第61図[A])を説明する断層モデル。

(a) プレート境界面に沿って分布させた  $20 \times 20$  km (大きさ固定) の矩形断層面に対して、おのおのの断層面で最適なすべり量を選んだときの残差の総和をその断層面の位置に示した分布図。赤色矩形が残差の総和が最小となる断層面。

(b1) (a)の断層面付近をグリッドサーチして推定した断層面(赤色矩形)と断層パラメータ。矢印は傾斜の観測値と計算値の比較。灰色矩形は最近周辺で発生した短期的SSEの推定断層面。

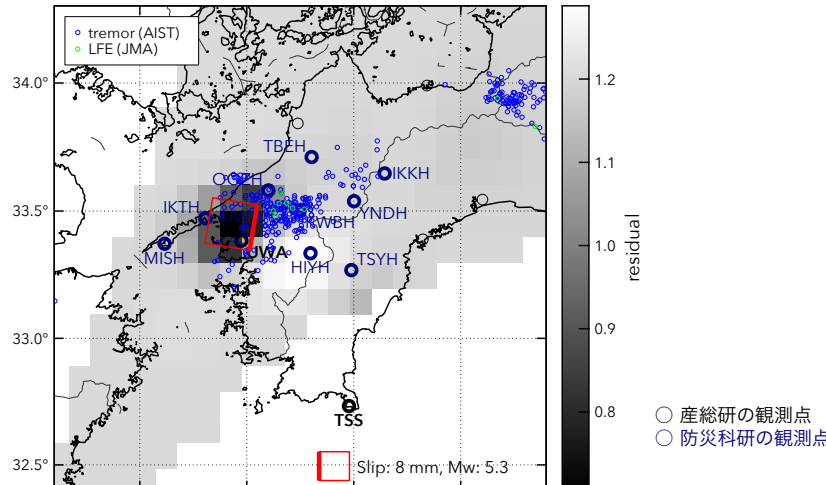
1: 2016/2/9-11 (Mw 5.7), 2: 2016/2/20-21 (Mw 5.5), 3: 2016/2/24-25 (Mw 5.4),

4: 2016/4/5-8AM (Mw 5.6)

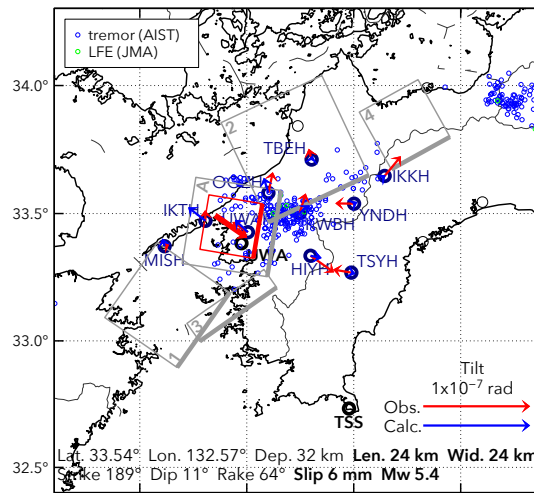
(b2) 主歪の観測値と(b1)に示した断層モデルから求めた計算値との比較。

[B] 2016/4/20

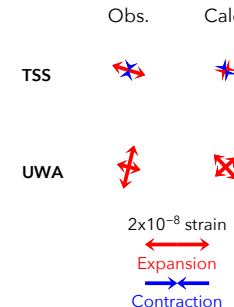
(a) 断層の大きさを固定した場合の断層モデルと残差分布



(b1) 推定された断層モデル



(b2) 主歪の比較



第63図 2016/4/20の歪・傾斜変化(第61図[B])を説明する断層モデル。

(a) プレート境界面に沿って分布させた 20x20 km (大きさ固定) の矩形断層面に対して、おののの断層面で最適なすべり量を選んだときの残差の総和をその断層面の位置に示した分布図。赤色矩形が残差の総和が最小となる断層面。

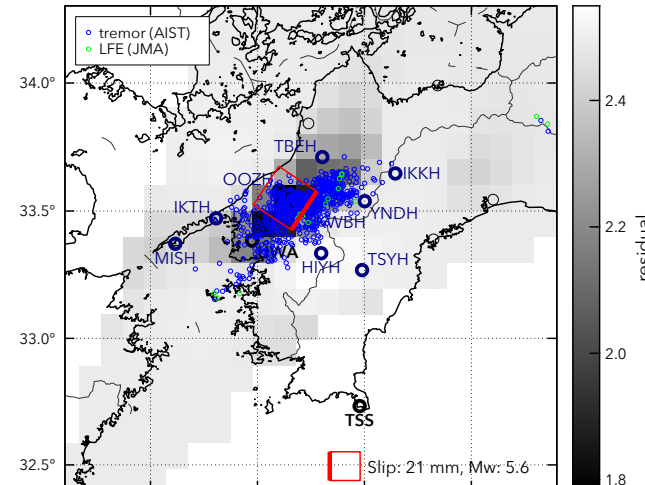
(b1)(a)の断層面付近をグリッドサーチして推定した断層面（赤色矩形）と断層パラメータ。矢印は傾斜の観測値と計算値の比較。灰色矩形は最近周辺で発生した短期的SSEの推定断層面。

1:2016/2/9-11 (Mw 5.7), 2:2016/2/20-21 (Mw 5.5), 3:2016/2/24-25 (Mw 5.4),  
4:2016/4/5-8AM (Mw 5.6), A:2016/4/18-19 (Mw 5.9)

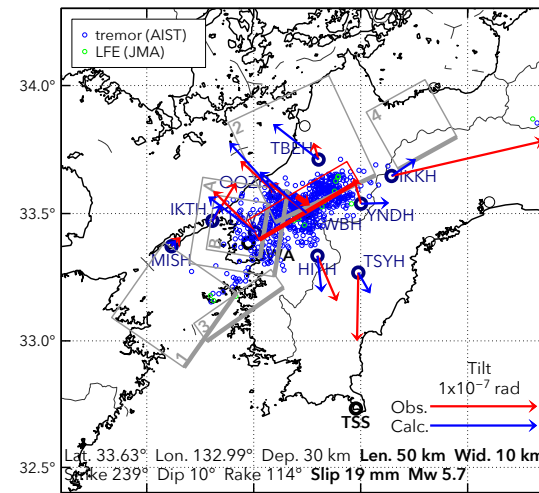
(b2) 主歪の観測値と(b1)に示した断層モデルから求めた計算値との比較。

[C] 2016/4/21-22

(a) 断層の大きさを固定した場合の断層モデルと残差分布



(b1) 推定された断層モデル



第64図 2016/4/21-23の歪・傾斜変化(第61図[C])を説明する断層モデル。

(a) プレート境界面に沿って分布させた 20x20 km (大きさ固定) の矩形断層面に対して、おののの断層面で最適なすべり量を選んだときの残差の総和をその断層面の位置に示した分布図。赤色矩形が残差の総和が最小となる断層面。

(b1)(a)の断層面付近をグリッドサーチして推定した断層面（赤色矩形）と断層パラメータ。矢印は傾斜の観測値と計算値の比較。灰色矩形は最近周辺で発生した短期的SSEの推定断層面。

1:2016/2/9-11 (Mw 5.7), 2:2016/2/20-21 (Mw 5.5), 3:2016/2/24-25 (Mw 5.4),  
4:2016/4/5-8AM (Mw 5.6), A:2016/4/18-19 (Mw 5.9), B:2016/4/20 (Mw 5.4)

(b2) 主歪の観測値と(b1)に示した断層モデルから求めた計算値との比較。

# 近畿地域の地下水位・歪観測結果（2016年2月～2016年4月）

## 産業技術総合研究所

2016年2月～2016年4月の近畿地域におけるテレメータによる地下水位およびボアホール型歪計による地殻歪（水平3成分）の観測結果を報告する。観測点は12点（観測井は14井戸）である（第1図）。同期間中に第1図で示す範囲内で、M4以上で深さ30kmより浅い地震は無かった。

第2～5図には、2015年11月～2016年4月における地下水位1時間値の生データ（上線）と補正值（下線）を示す。ボアホール型歪計が併設してある観測点については、同期間における歪3成分の観測値（生データ）も示す。歪の図において「N120」などと示してあるのは、歪の方向が北から120度東方向に回転していることを示す。水位補正值(corrected)は、潮汐解析プログラムBAYTAP-Gによって、気圧・潮汐・不規則ノイズの影響を除去した結果である。なお、hno・sed・tkz・ysk・yst1・yst2およびyst3は地上より上に水位が来るので、井戸口を密閉して水圧を測定し、それを水位に換算している。hksではケーシングを二重にして、外管で浅い方の地下水位（hks-o）を、内管で深い方の地下水位（hks-i）をそれぞれ測定していたが、今はhks-iのみ測定を行なっている。

yst2の地下水位の2016年3月5日以降の欠測は水位計の故障のため（第2図）。yskでは2016年2月13日に水位計を交換した（第2図）。hrbの地下水位の短期的な上下変化は口元から雨が流れ込んだためと思われる（第3図）。ikdの地下水位の2016年3月14日以降の欠測は観測井での調査（揚水試験）に伴い水位が低下したため（第3図）。

2016年4月16日に発生した平成28年（2016年）熊本地震（M7.3）に伴い、ysk1の地下水位と歪、tnnの歪、kryの地下水位、ohrの地下水位と歪、hnoの歪に変化が出ている。

これらのデータ（グラフ等）は、<https://www.gsj.jp/wellweb/>で公開されている。  
(北川有一・松本則夫・佐藤努・板場智史・落唯史・木口努)

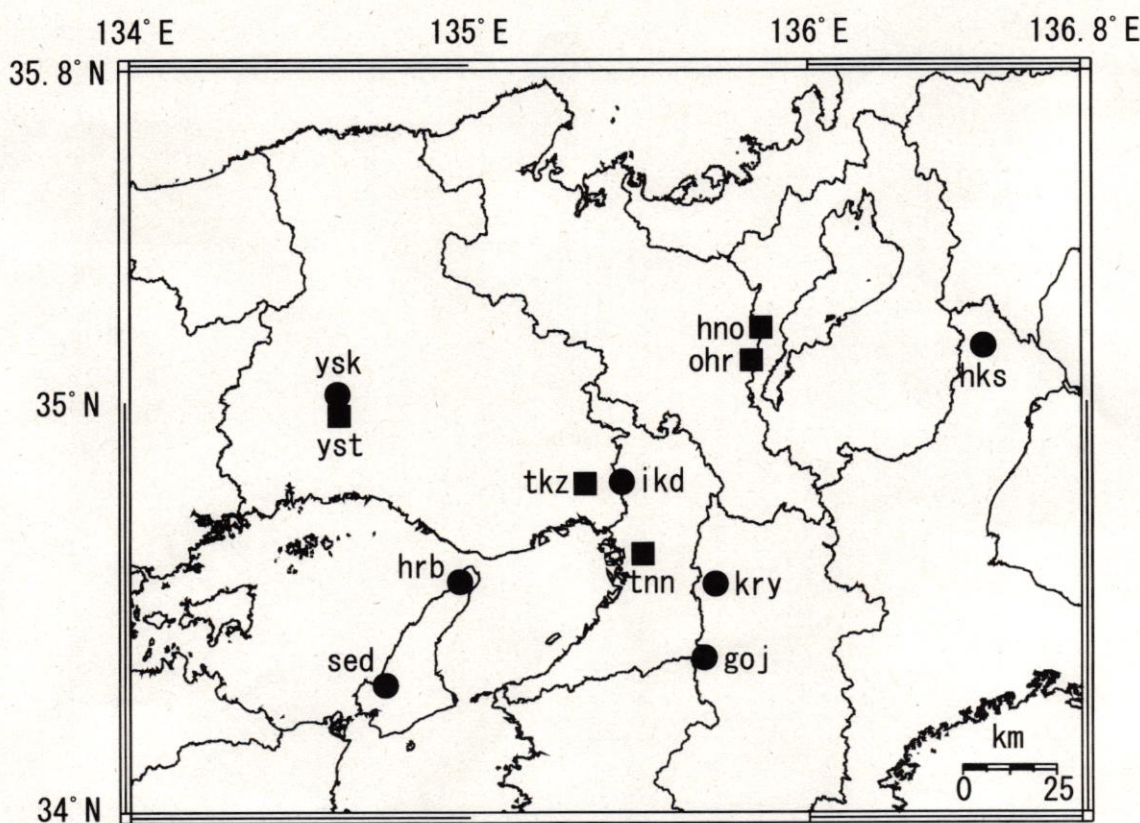


Fig. 1 観測点分布図（●・■）。●は地下水のみの観測点で、■はボアホール型歪計を併設している観測点。

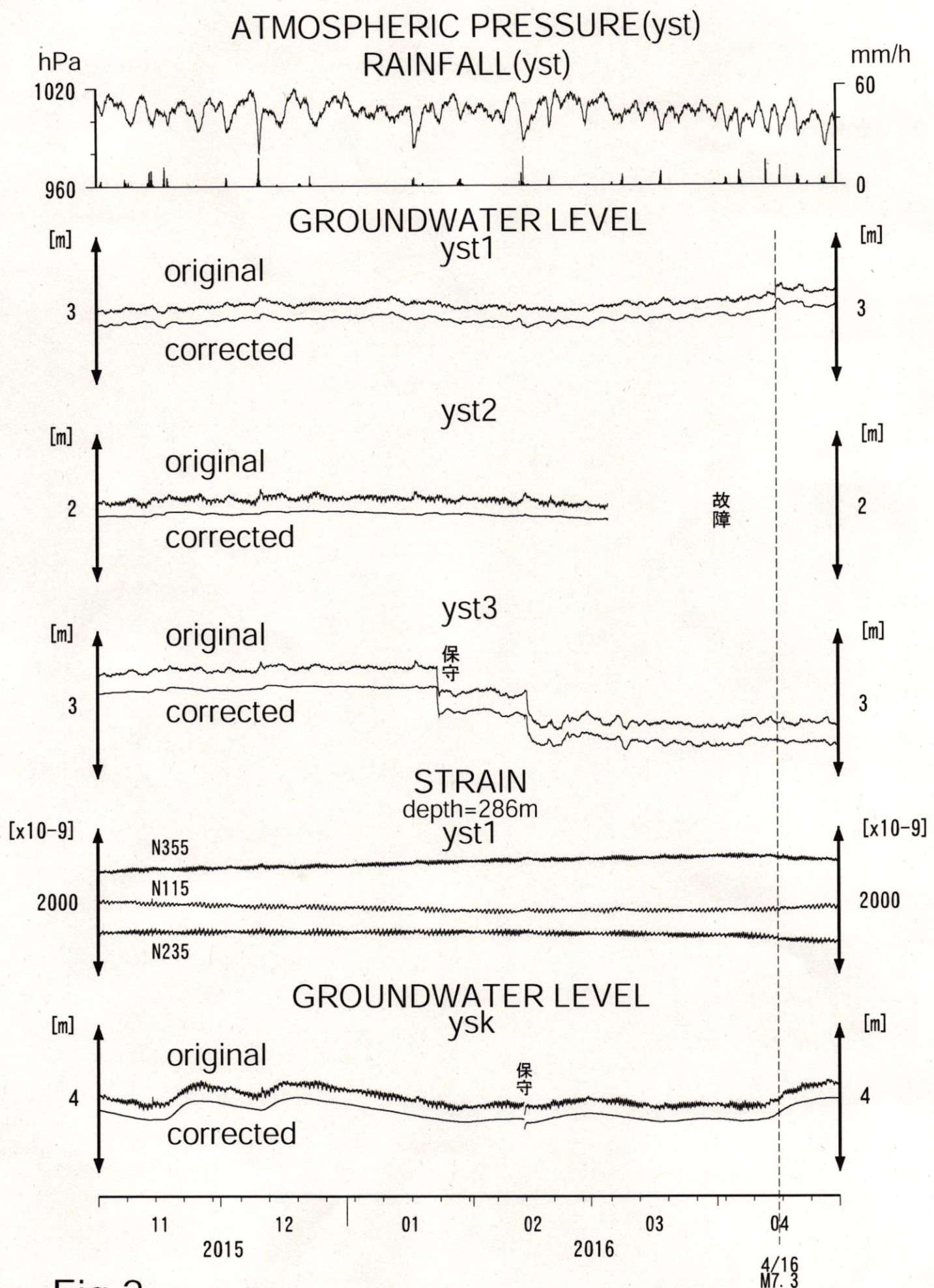


Fig.2

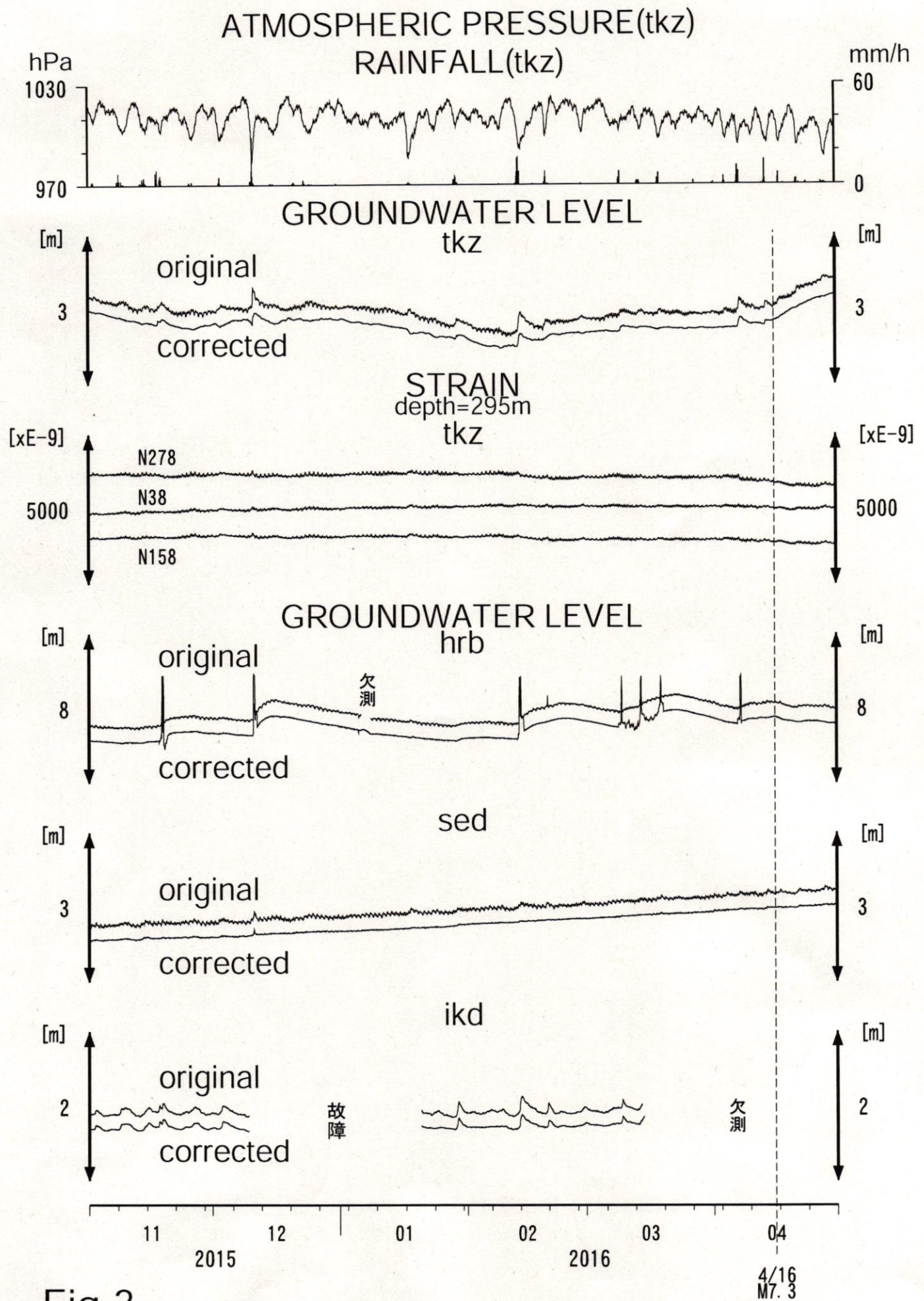


Fig.3

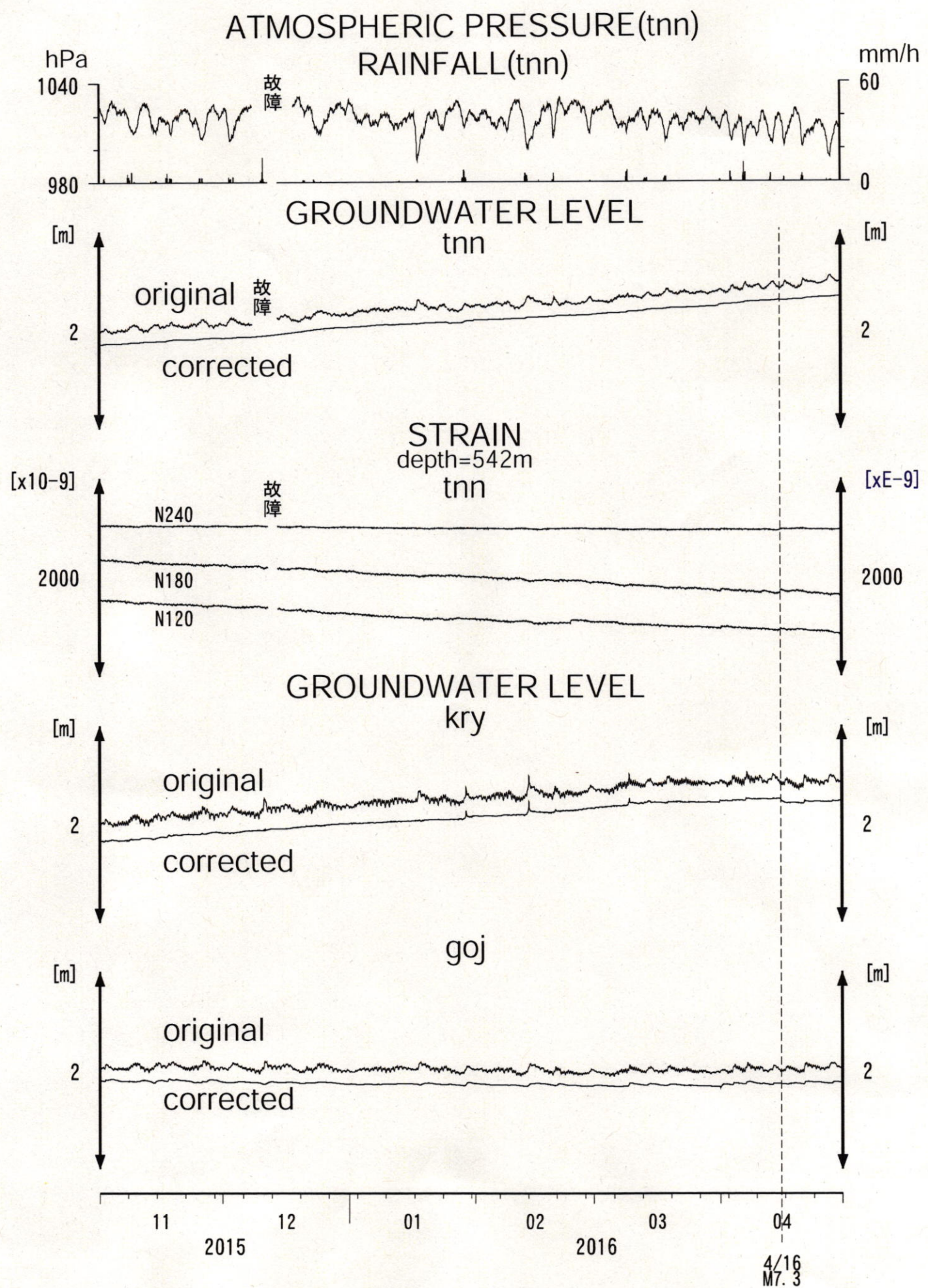


Fig.4

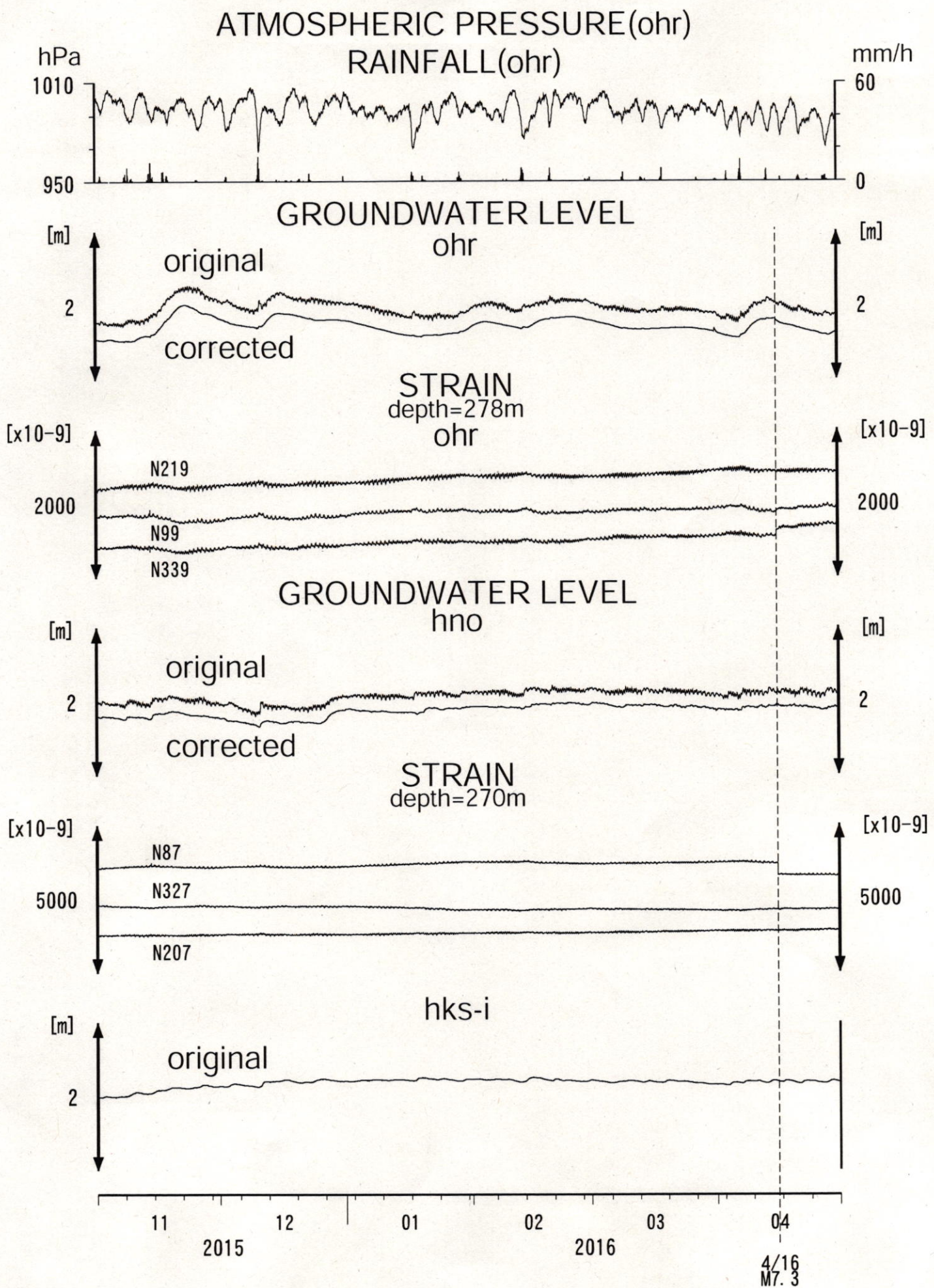


Fig.5

# 岐阜県東部の活断層周辺における地殻活動観測結果 (2016年2月～2016年4月)

## Observation of Tectonic Activities around the Active Faults in Eastern Gifu Region (February, 2016～April, 2016)

産業技術総合研究所  
Geological Survey of Japan, AIST

### 1. 観測概要

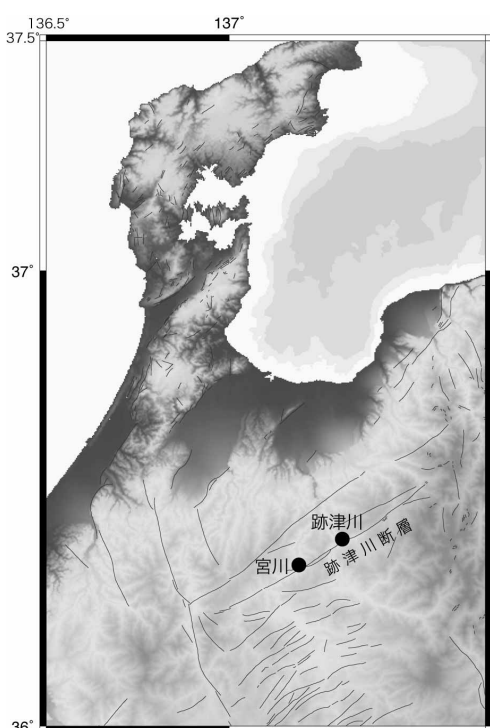
産業技術総合研究所は跡津川断層沿いの宮川・跡津川において地殻活動総合観測設備を設置している(第1図)。宮川は深度約300mの坑井を掘削し、坑底に3成分ひずみ計・高感度地震計(1 Hz, 3成分速度計)を設置。深度256.78～267.66mの滯水層での地下水位と体積温度計の計測も行なっている。跡津川は坑道内に深度約50mの坑井を掘削し、坑底に3成分ひずみ計を設置。地下水位と体積温度計の計測も行っている。

### 2. 観測結果概要

宮川(第2図)：水位、歪計は潮汐変化を書く。降雨の影響が大きい。2016年4月16日熊本地震Mw7.0時に1～2.5E-8程度の歪ステップが観測された。4月1日三重県南東沖の地震Mw5.8では歪計のステップ及び地下水位の変化は見られない。

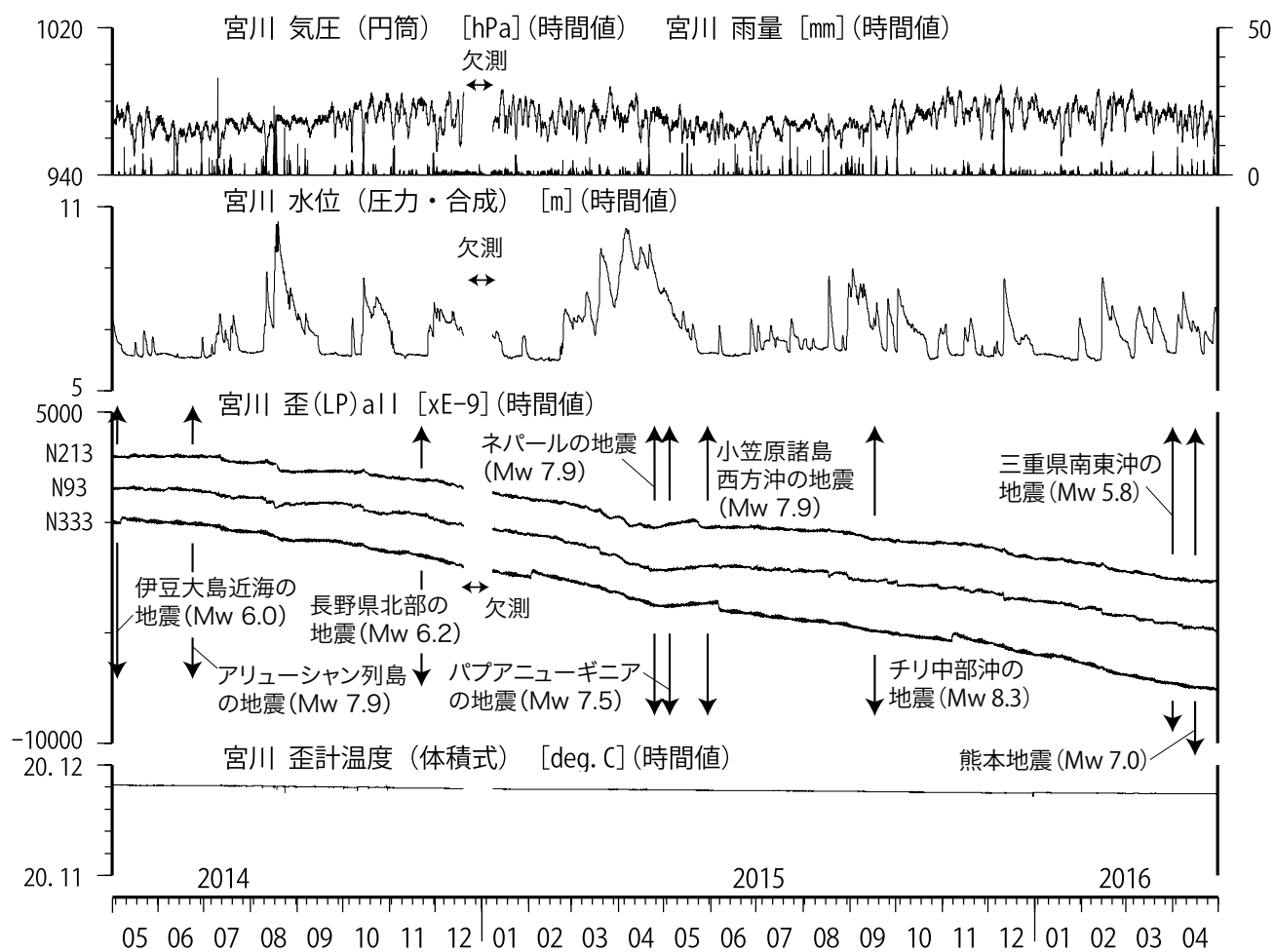
跡津川(第3図)：水位、歪計は潮汐変化を書く。降雨の影響が小さい。2002年4月初旬から数ヶ月周期の温度、歪の不安定な変動が続いている。熊本地震Mw7.0時に5E-9～1.5E-8程度の歪ステップと約4cmの水位上昇が観測された。三重県南東沖の地震Mw5.8では歪計のステップ及び地下水位の変化は見られない。

(木口努・今西和俊・松本則夫)



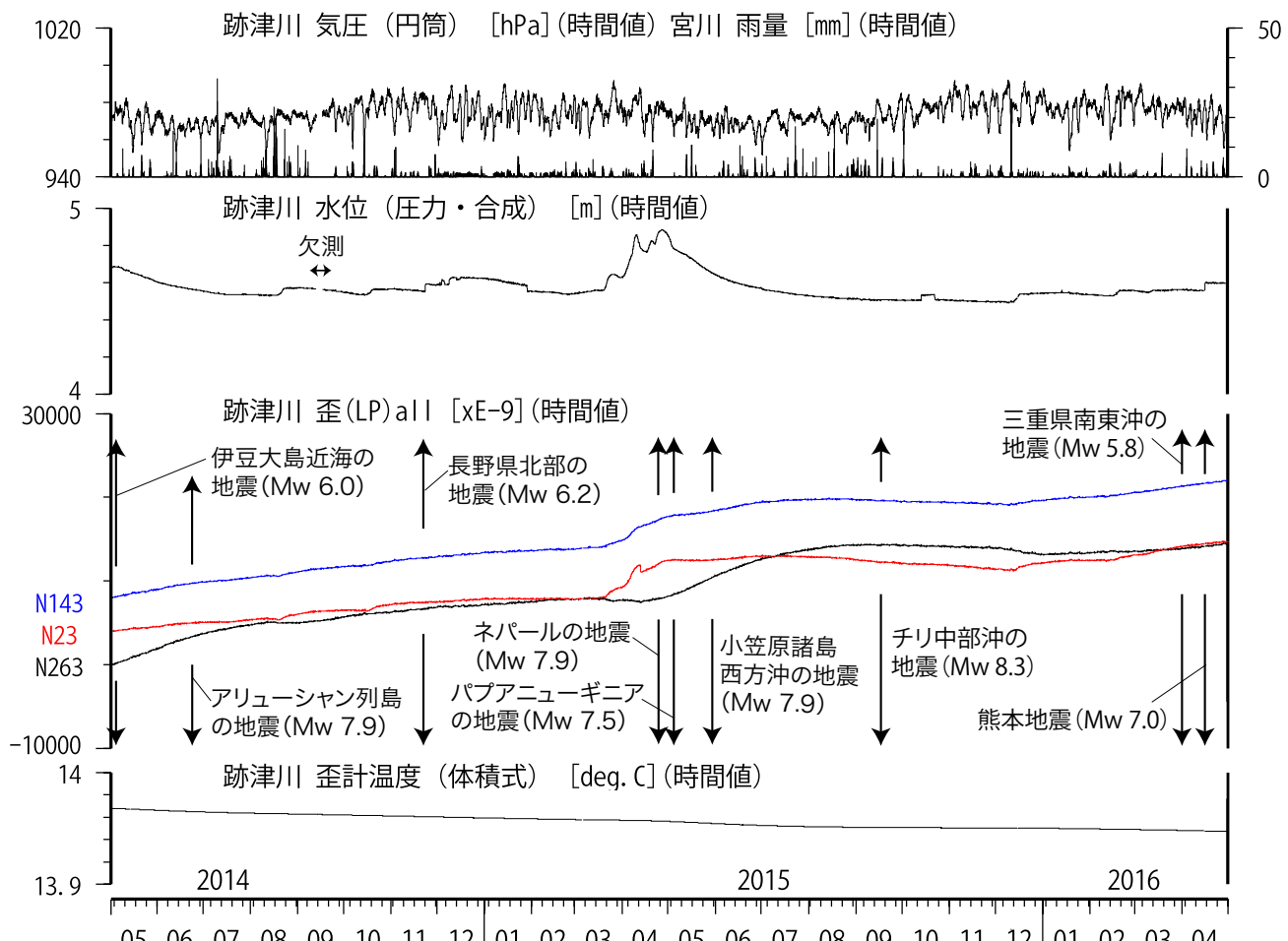
第1図 跡津川断層沿いの宮  
川・跡津川における地殻活動  
総合観測点位置

Fig.1 Location map of the  
observation boreholes at  
Miyagawa and Atotsugawa  
along the Atotsugawa fault.



第2図 宮川における歪観測結果(2年間)

Fig. 2 Results of strain meters at Miyagawa (for 2 years).



第3図 跡津川における歪観測結果(2年間)

Fig. 3 Results of strain meters at Atotsugawa (for 2 years).

# 鳥取県・岡山県・島根県における温泉水・地下水変化（2015年11月～2016年4月）

鳥取大学工学部・産業技術総合研究所

## 1. はじめに

鳥取県・島根県・岡山県は温泉が多く、その所在も地震活動と関連していると考えられる。この地方の特徴を生かし、国際ロータリー第2690地区、鳥取県西部地震義援金事業の一環として、温泉水の時間変化を観測網を山陰地方（鳥取県西部地震周辺及び鳥取県東部・岡山県北部地域）に整備し、地震活動との関連を調べている。

## 2. 観測

現在観測を行なっている地点は7点である（第1図）。観測方法としては、温泉井に水位計や温度計（分解能：1/100°C）を設置し、測定値をデータロガーにいったん収録した後、観測センター（鳥取大学工学部）へ電話回線を利用して転送する。観測センターには、データの回収・記録・解析システムを設置し、温泉データを地震データ等と比較して関係を調べる。解析の結果は、速報として観測センターのホームページで公開している([http://www.geosd.jp/onsen\\_k/](http://www.geosd.jp/onsen_k/))。

水位・水温の測定インターバルは10秒で1分間の平均値を記録している。温度センサーは、事前の温度検層により、湯谷温泉等を除いて、最も温度変化の大きい位置（深さ）に設置している（鳥取温泉175m、岩井温泉150m、三朝温泉25m、奥津温泉130m等）。なお、湯谷（第1図の6）では、2012年度からデータを現地集録に切り替えている。

## 3. 結果（第2～4図）

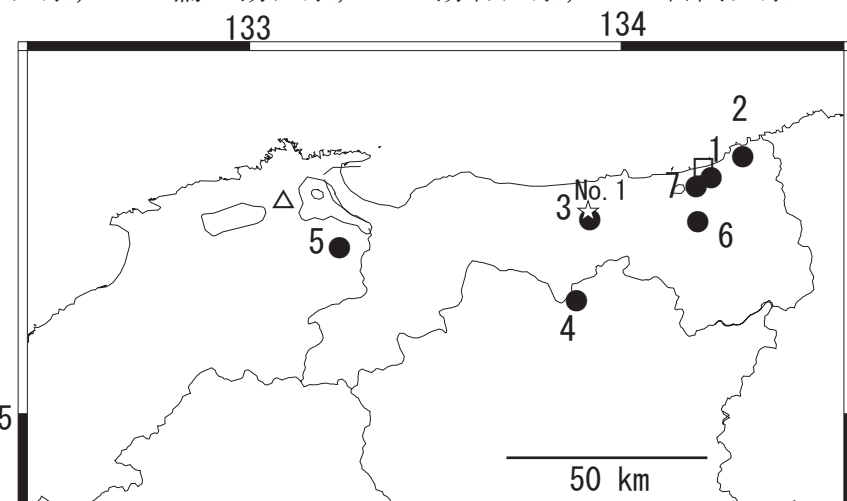
結果（原則として1時間値）を第2～4図に示す。気圧や気温の記録は、鳥取や松江の気象台の測定値を用いている。吉岡温泉の水温は47～49°Cと41～43°Cを行き来する変化を以前から繰り返しているが、2015年12月上旬から2016年4月下旬までは38-40°C程度で安定していた（第3図）。岩井温泉や鷺の湯温泉の水位は、降雨によって上昇することがある。鳥取温泉では、水温は11/20まで、水位は1/3から2/23まで、計器故障のため測定できていない。4/17以降の水位は振り切れている。

2015年11月～2016年4月の間に、第1図の範囲内（北緯34.8～35.8度、東経132.4～134.6度）で深さ30km以浅でM4以上の地震を以下に記す。2015年12月には、14日15時1分頃に鳥取県中部の地震（M4.2、深さ8km）が発生し、観測点周辺の最大震度は4だった。観測点周辺に震度2以上の揺れをもたらした地震は計5回発生した。2016年1月には、1日0時47分頃に岡山県北部の地震（M4.0、深さ15km）が発生し、観測点周辺の最大震度は2だった。それ以外で観測点周辺に震度2以上の揺れをもたらした地震は、21日7時14分頃に発生した島根県東部の地震（M3.9、深さ12km、観測点周辺の最大震度は3）の地震があった。2016年2月と3月には、観測点周辺に震度2以上の揺れをもたらした地震は各1回発生した。以上の地震に関連した明瞭な変化は見られなかった。第1図の範囲外では、2015年11月14日5時51分頃に薩摩半島西方沖の地震（M7.1、深さ17km、観測点周辺の最大震度は1）が発生した。この地震発生後から、岩井温泉の水温と湯谷温泉の水温が上昇した。2016年4月16日1時25分頃に平成28年（2016年）熊本地震（M7.3、深さ12km、観測点周辺の最大震度は4）が発生した。この地震発生後から、鳥取温泉の水位、岩井温泉の水位・水温、湯谷温泉の水温、奥津温泉の水温、鷺の湯温泉の水位・水温に変化が見られた。（野口竜也・香川敬生・西田良平・北川有一・小泉尚嗣）

## 第1図

鳥取気象台（□）と松江気象台（△）および温泉水・地下水観測点（●）の分布。☆は2015年12月14日の鳥取県中部の地震の震央（第1表参照）。

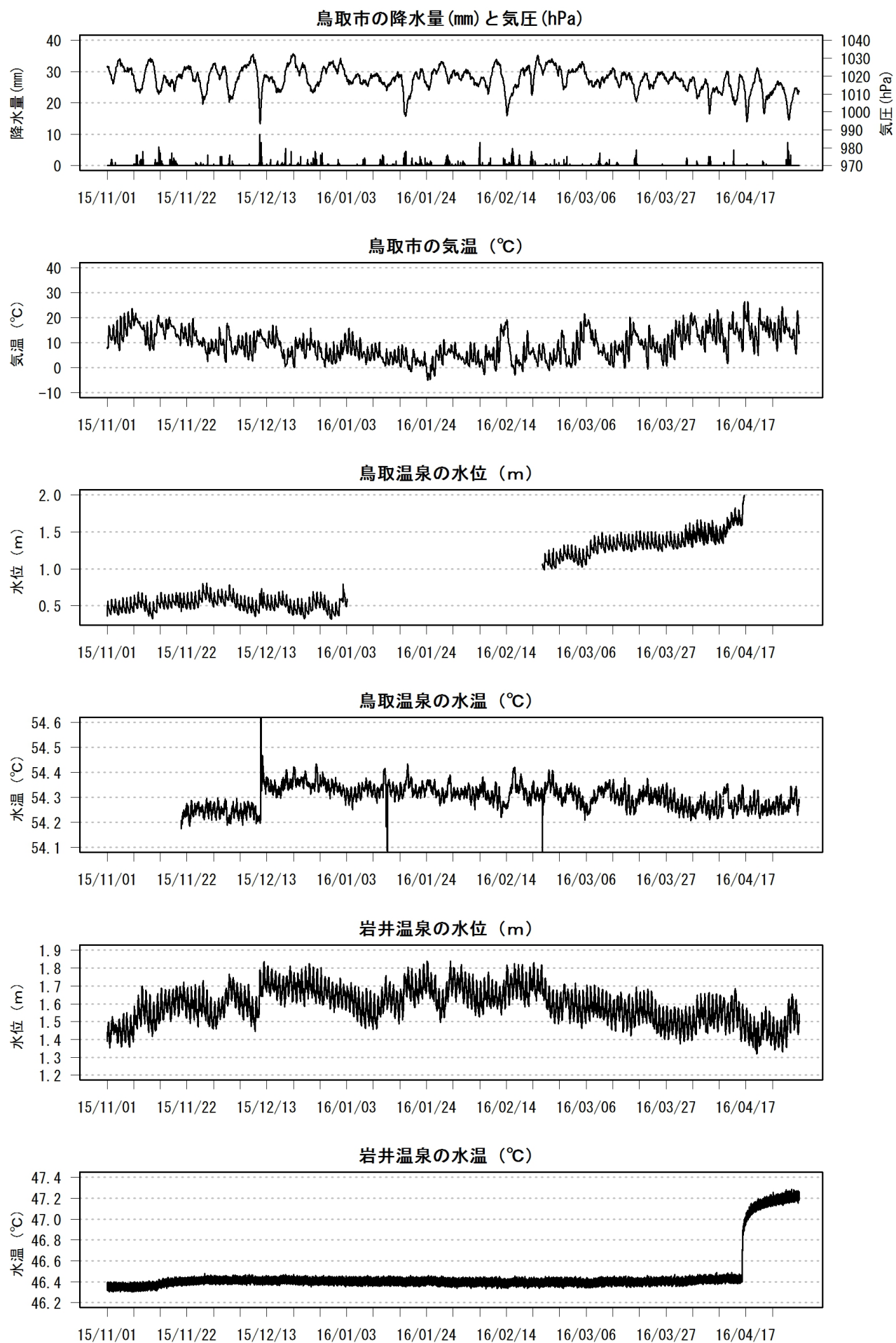
1：鳥取温泉、2：岩井温泉、3：三朝温泉、4：奥津温泉、5：鷺の湯温泉、6：湯谷温泉、7：吉岡温泉

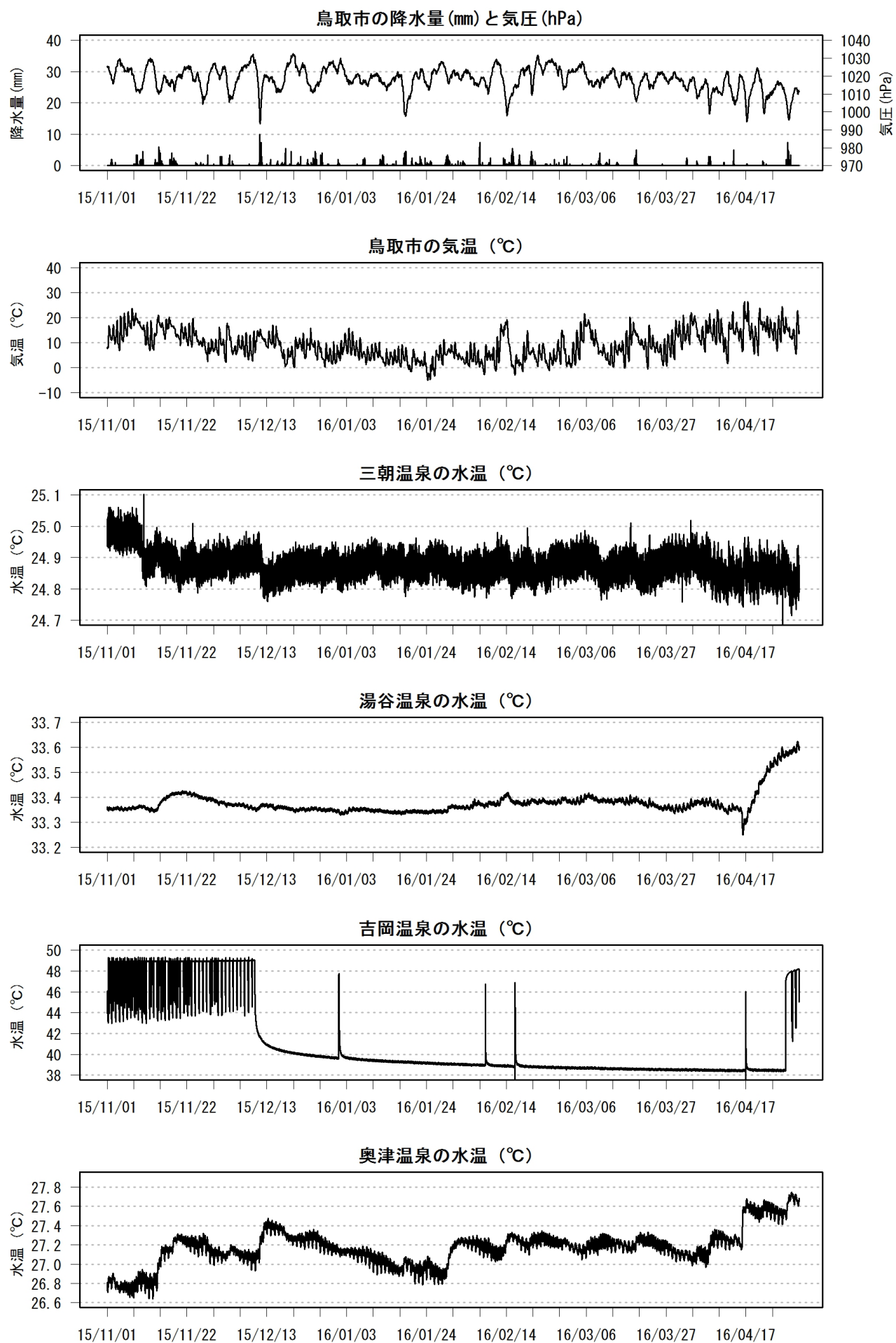


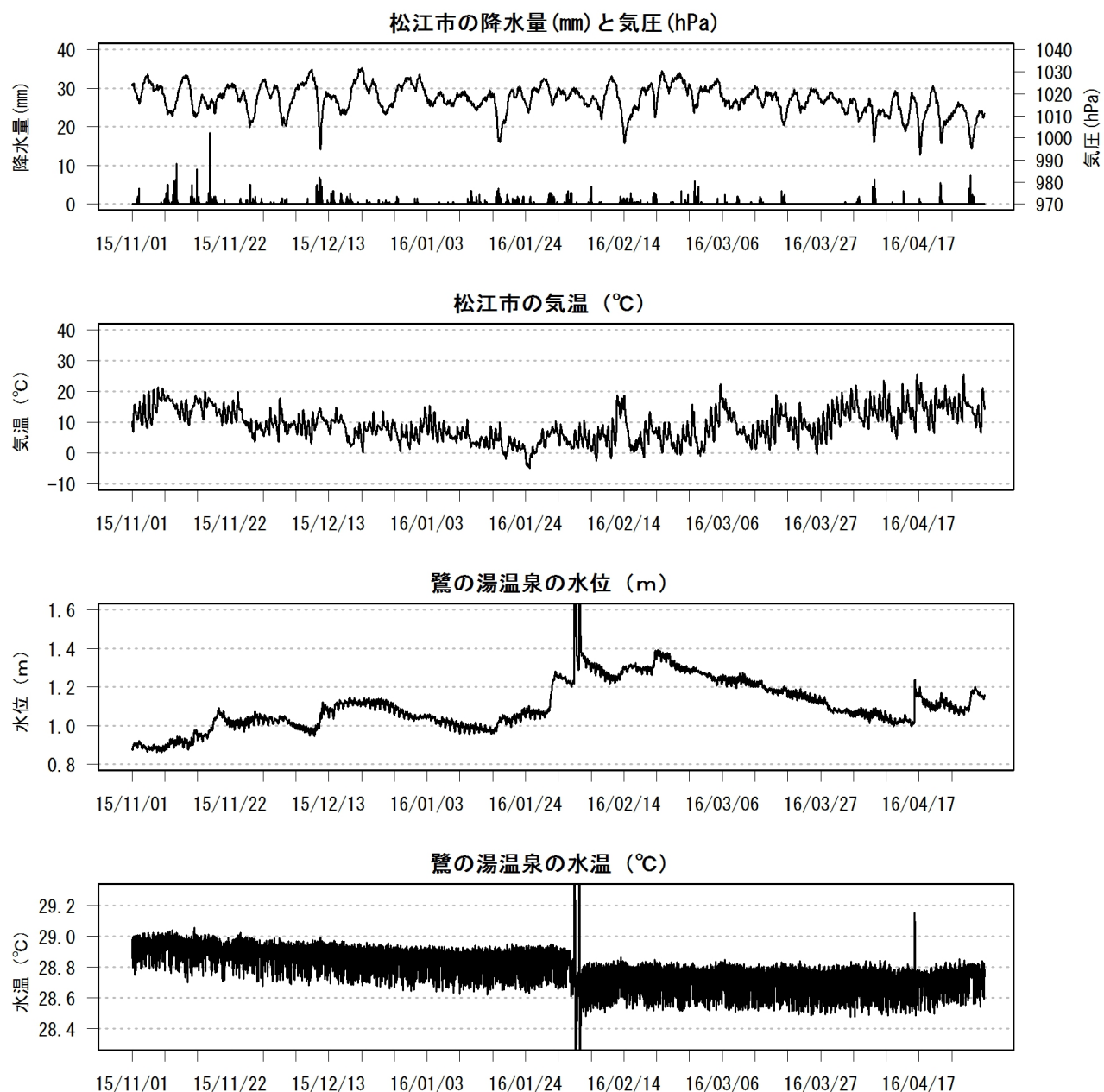
## 第1表

第1図の観測点で最大震度4の揺れをもたらした地震

No	地震発生日時	震央の位置	規模	深度	震度
		(M)	(km)		
1	2015/12/14 15:01	鳥取県中部	4.2	8	4
2	2016/04/16 01:25	熊本県 熊本地方	7.3	12	4







# 神奈川県西部地域の地下水位観測（2016年2月～2016年4月）

神奈川県温泉地学研究所・産業技術総合研究所

## 1. はじめに

神奈川県温泉地学研究所では、神奈川県西部地震の予知研究の一環として、第1図・第1表に示した6ヶ所に地下水位観測施設を整備し地下水位の連続観測を行っている。2016年2月～4月の期間に重点を置いた観測結果を報告する。

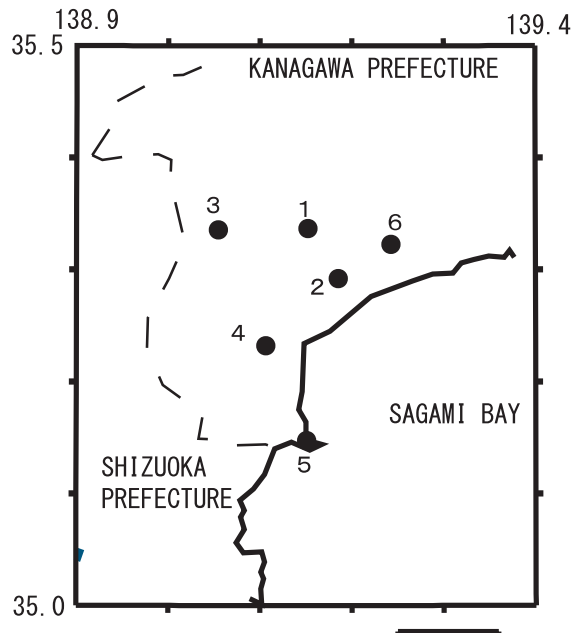
## 2. 観測

第1図の6ヶ所の観測点では、地下水位の他、気圧・降水量も1分サンプリングで観測を行っている。得られたデータは1日1回温泉地学研究所に送信される。

## 3. 結果

結果を第2図(原則1時間値、真鶴・二宮のみ24時間平均値)と第3図(原則0時の瞬時値)にしめす。第1図の範囲内(北緯35°35'～35°55'、東経138°9'～139°4')では、2016年2月～4月に深さ30km以浅でM4以上の地震はない。同期間で、観測点周辺で震度2以上の揺れをものは表2に示す。この期間に2月5日の神奈川県東部の地震(M4.6)、4月1日の三重県南東沖の地震(M6.5)、4月16日の熊本地方の地震(M7.3)の際に、大井観測井において、それぞれ5cm程度のコサイスマックと見られる水位の変化(上昇)が観測された。

(板寺一洋・原田昌武・松本則夫)



第1図 地下水観測点の分布 (●) 10km

- 1：大井, ●2：小田原, ●3：南足柄, ●4：湯本,
- 5：真鶴, ●6：二宮.

### 参考論文

横山尚秀・他, 1995, 神奈川県西部地震予知のための地下水位観測施設と地下水位解析, 温泉地学研究所報告, 26, 21-36.

表1 観測点の情報

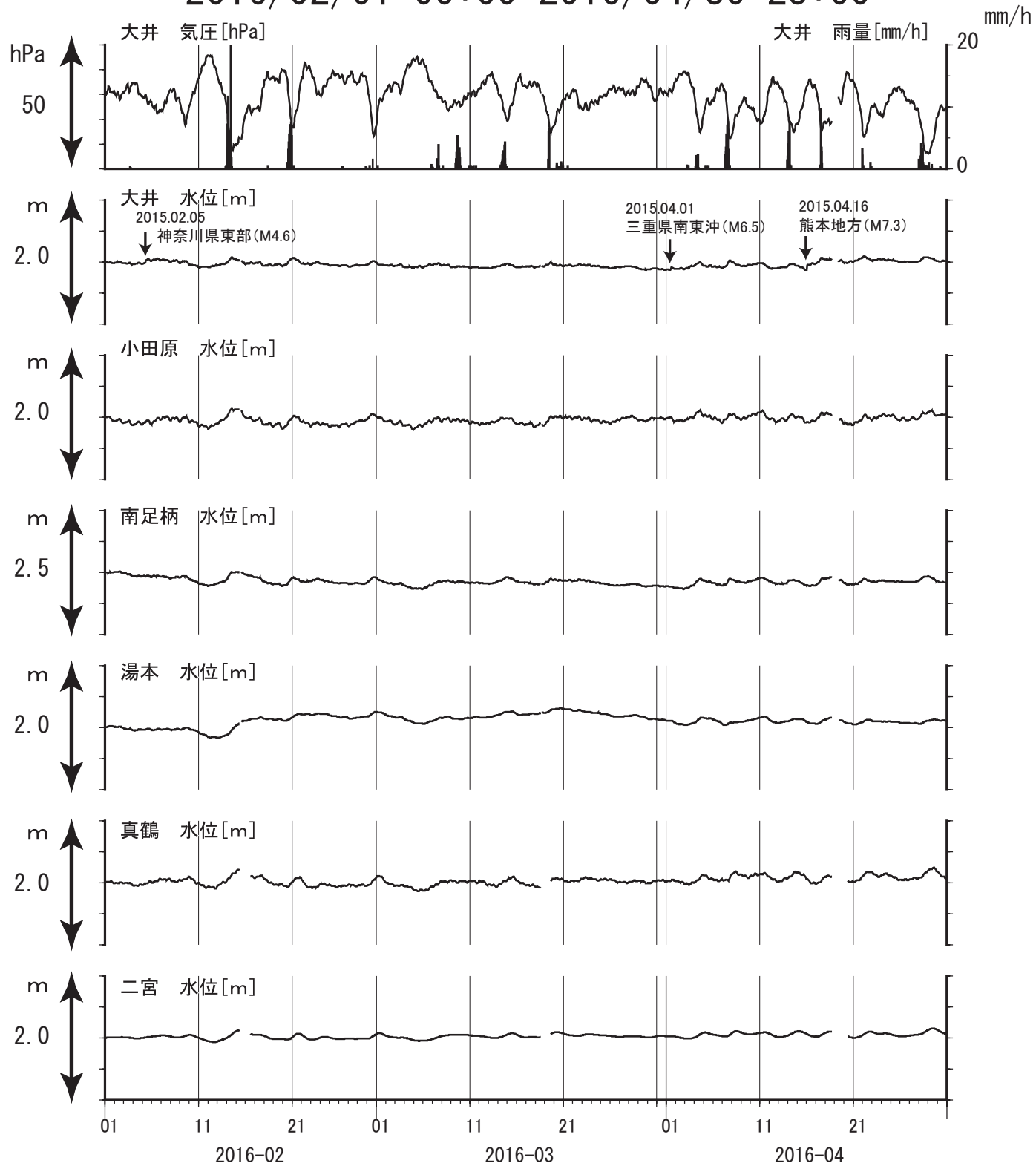
観測点	標高 (m)	井戸深さ (m)	スクリーン 深さ (m)	センサー 深度 (m)
大井	47	300	270-300	15
小田原	22	300	270-300	15
南足柄	143	150	120-150	32
湯本	67	300	250-300	20
真鶴	40	300	250-300	43
二宮	51	500	450-500	13

表2 観測点に震度2以上の揺れを与えたと推定される地震

No.	地震発生日時	震央地名	M	深さ	観測点最大震度
1	2016/2/5 7:41	神奈川県東部	M4.6	26km	2
2	2016/2/20 10:33	神奈川県西部	M2.9	9km	3

# 神奈川県西部地域の地下水位観測 中期(時間値)

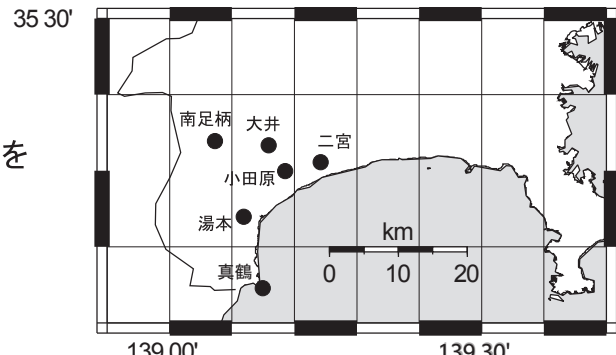
2016/02/01 00:00-2016/04/30 23:00



コメント：特記事項なし

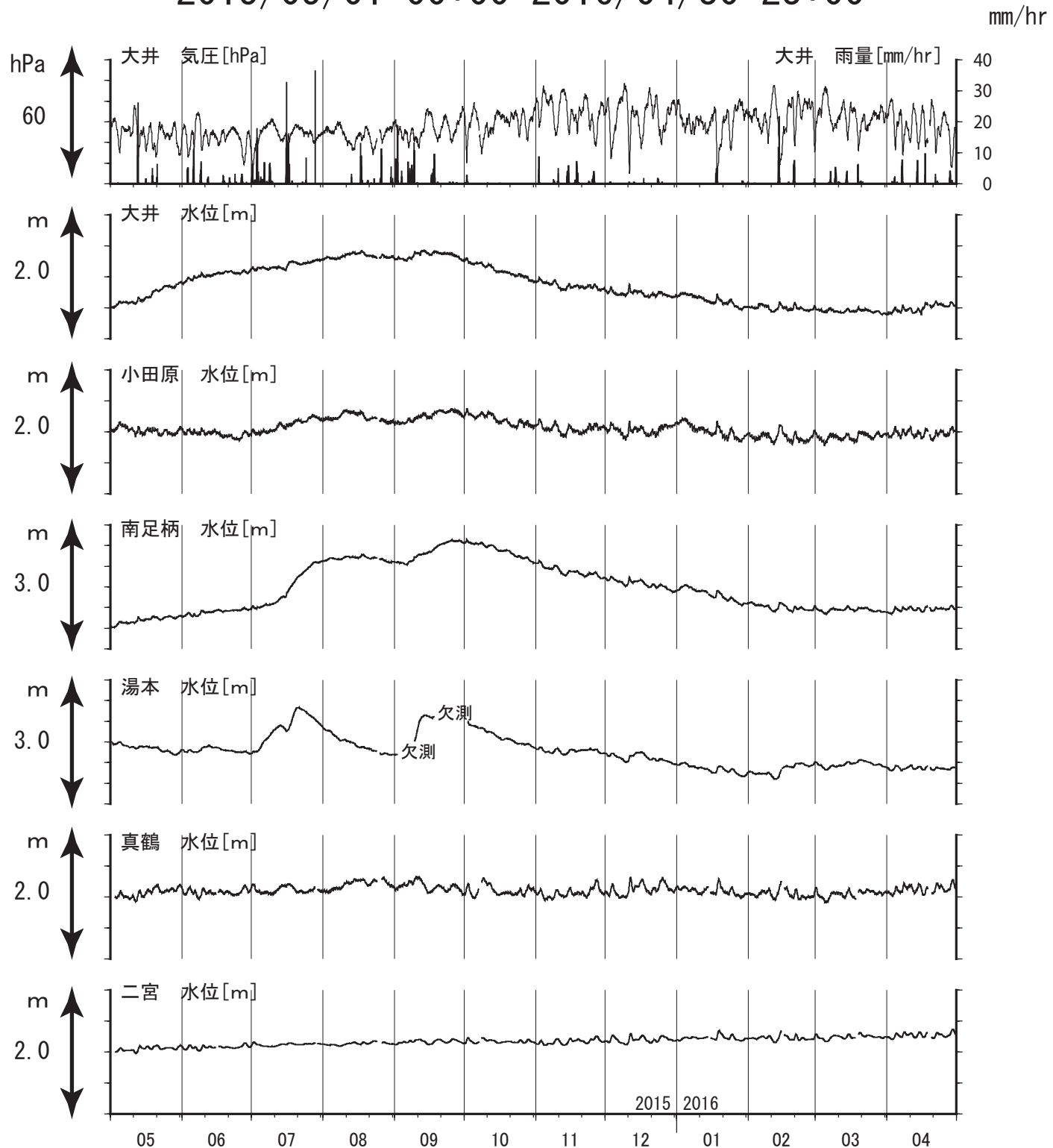
※真鶴・二宮は潮汐の影響が大きいので日平均値を示している。他は一時間値(生データ)

第2図



# 神奈川県西部地域の地下水位観測 長期

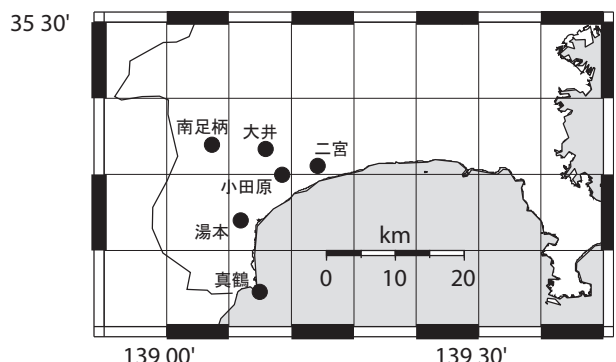
2015/05/01 00:00-2016/04/30 23:00



コメント：特記事項なし

真鶴・二宮以外は毎正時の瞬時値を示している。

第3図



# 三重県南東沖の地震（M6.5）前後の産総研の歪計データの変化

産業技術総合研究所

2016年4月1日11:39頃、三重県南東沖の地震M6.5が発生した。この地震の近傍にある産総研の多成分歪観測点：熊野磯崎ICU、田辺本宮HGM、串本津荷KST（図1参照）の地震前後のデータを図2に示す。これらの結果はBAYTAP-Gにより気圧応答成分、潮汐成分およびホワイトノイズ成分を取り除き、2016年3月20日0:00～4月1日11:00のデータを用いて1次トレンドを除去したものである。これらの観測点の歪データに、この地震のポストサイスミックと思われる変化が見られた。

図3は図2の4月1日15:00～4月6日23:00までの歪変化を説明するスロースリップの推定結果（Mw 6.0）である。図4は解析の範囲を4月2日7:00～4月6日23:00に変更した場合の歪変化を説明するスロースリップ（Mw6.0）である。

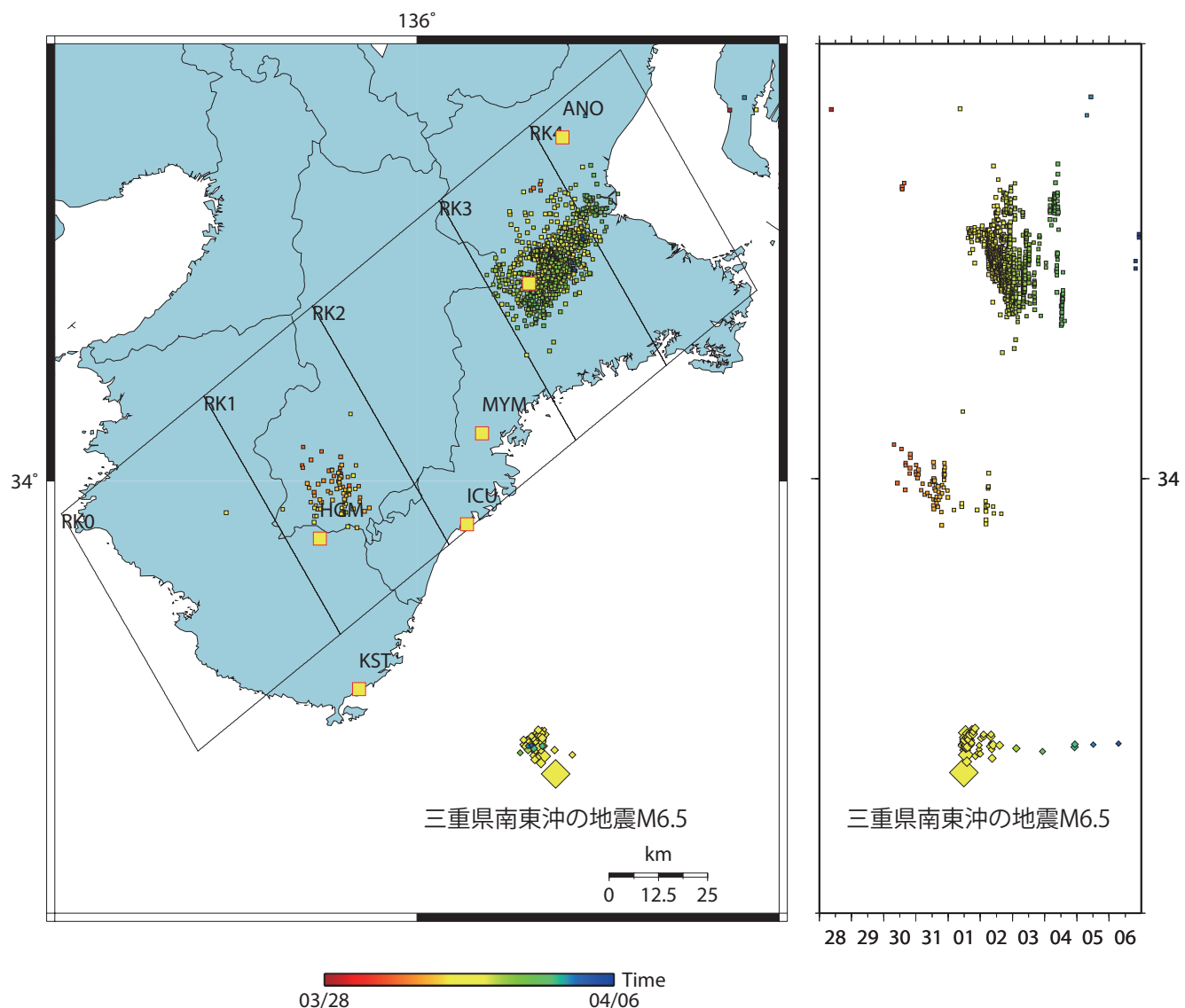
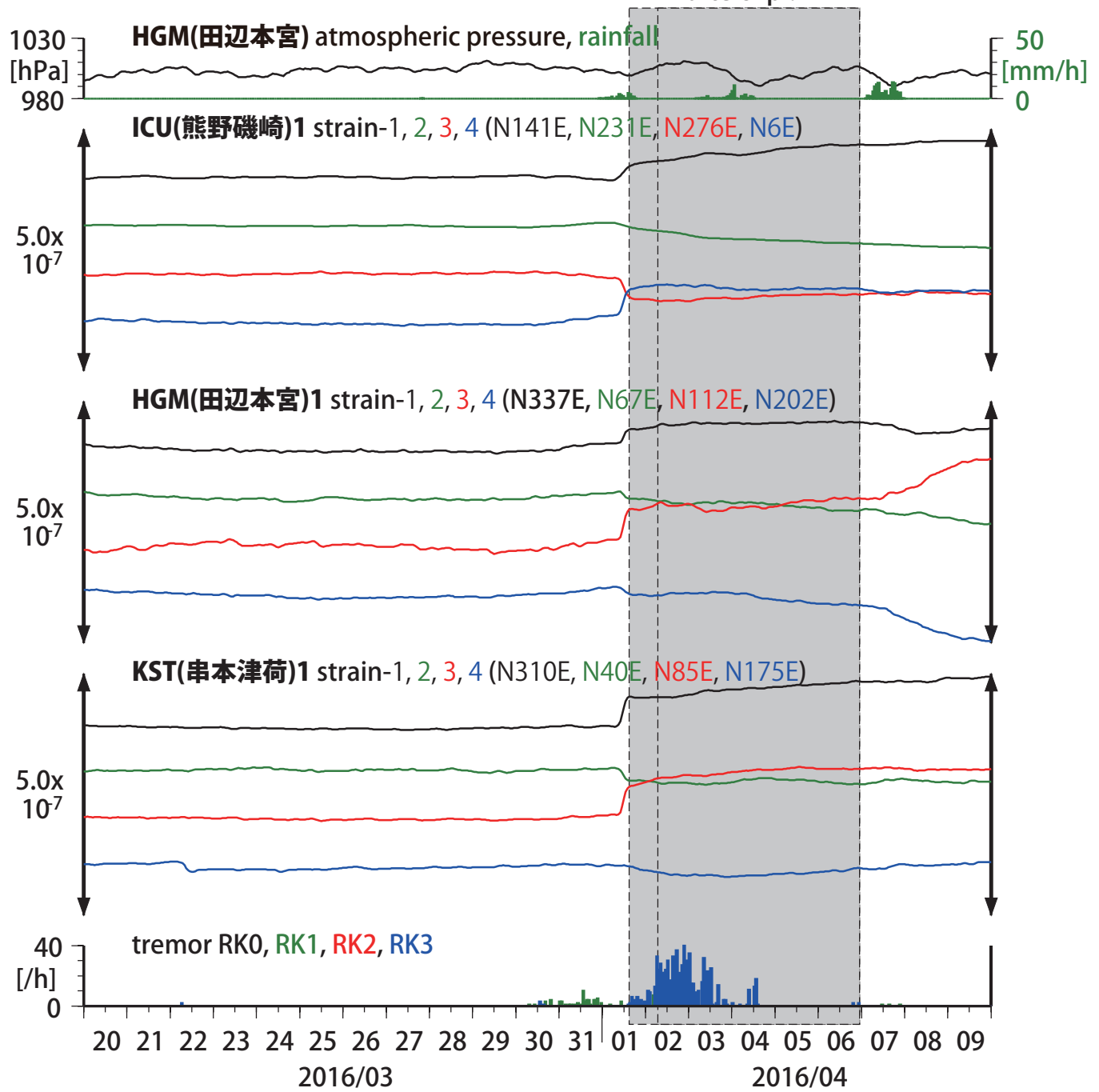


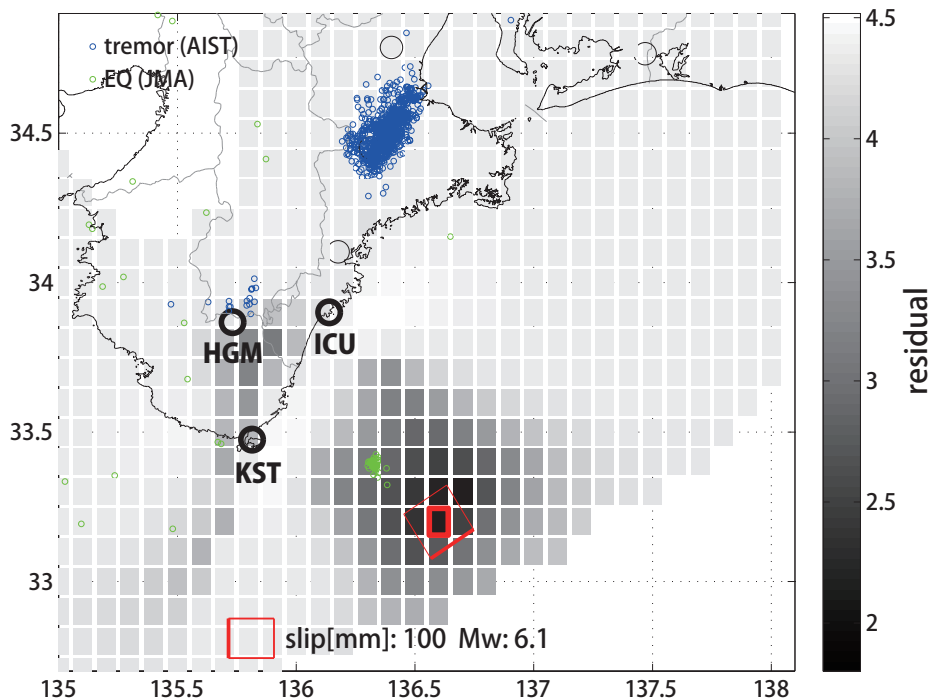
図1：産総研の観測点、3/30-31の奈良県南部の微動、4/1-4の三重県中部の微動、4/1三重県南東沖の地震M6.5の震源と4/6までの余震の震源（微動は産総研カタログ、地震の震源は気象庁一元化震源による）。

図2：紀伊半島における歪観測結果  
 (2016/03/20 00:00 - 2016/04/10 00:00 (JST))  
 afterslip ?



## 本震直後(4/1 15時)～4/6 23時

断層サイズを固定した場合の断層モデル、残差分布



推定断層モデル、傾斜比較

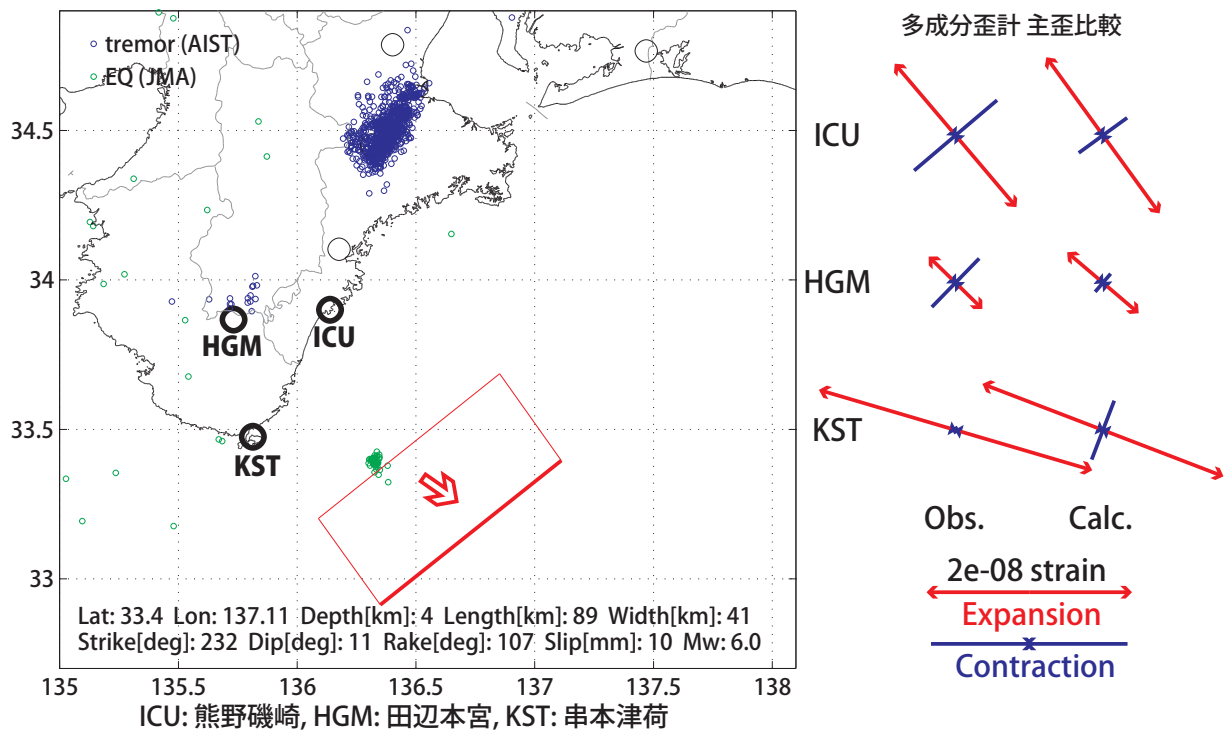


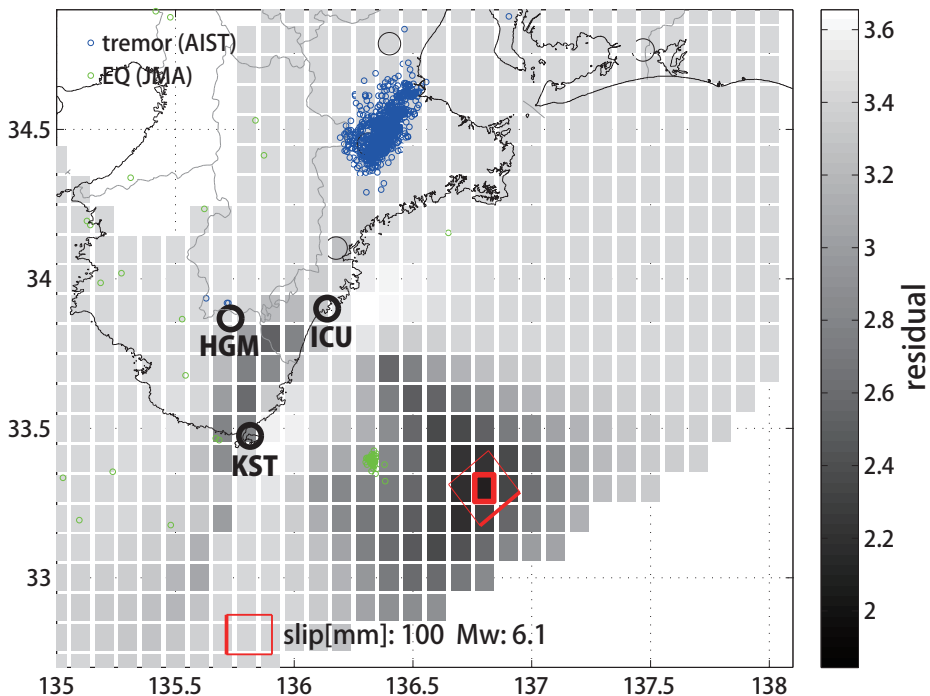
図3:(上段)プレート境界面上のパッチ(断層面)をすべらせた際の、歪・傾斜の観測値と計算値の残差分布図。断層面サイズは固定(20x20km)。すべり量は1～100mm。赤色矩形は最小残差の断層面を表す。このパッチのすべり量、Mwを下部に示している。

(下段) 断層面推定結果(赤色矩形)。主歪の観測値・モデルからの計算値との比較を右側に示す。

(共通) 小さい青色丸印は産総研による深部低周波微動、緑色丸印は気象庁一元化カタログによる地震の震源(4/1 11:30～4/10 0:00, M1.5以上)。

4/2 7時～4/6 23時

断層サイズを固定した場合の断層モデル、残差分布



推定断層モデル、傾斜比較

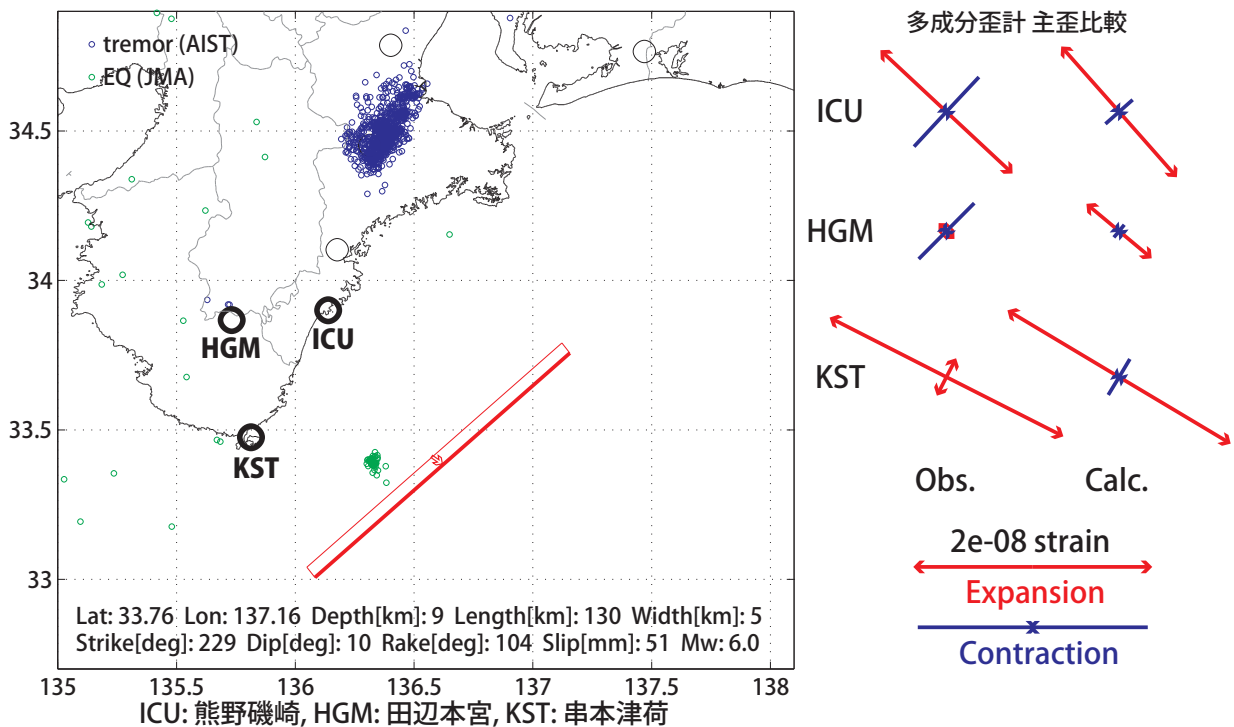


図4: (上段)プレート境界面上のパッチ(断層面)をすべらせた際の、歪・傾斜の観測値と計算値の残差分布図。断層面サイズは固定(20x20km)。すべり量は1~100mm。赤色矩形は最小残差の断層面を表す。このパッチのすべり量、Mwを下部に示している。

(下段) 断層面推定結果(赤色矩形)。主歪の観測値・モデルからの計算値との比較を右側に示す。

(共通) 小さい青色丸印は産総研による深部低周波微動、緑色丸印は気象庁一元化カタログによる地震の震源(4/1 11:30～4/10 0:00, M1.5以上)。